

UNIVERSIDAD NACIONAL 97
TORIBIO RODRÍGUEZ DE MENDOZA DE AMAZONAS



13 DIC 2012

FACULTAD DE INGENIERÍA Y CIENCIAS AGRARIAS

ESCUELA ACADÉMICO PROFESIONAL
DE INGENIERÍA AGROINDUSTRIAL

“EFECTO DE DIFERENTES COMBINACIONES DE PARÁMETROS DE
TAMAÑO Y FORMA EN EL PORCENTAJE DE ERROS DE LA
CLASIFICACIÓN DE ELEMENTOS ESTRUCTURALES EN TEJIDOS
VEGETALES, UTILIZANDO REDES NEURONALES PROBABILÍSTICAS”

Tesis para obtener el título profesional de:
INGENIERO AGROINDUSTRIAL

Presentada por:
Bach. JOSÉ MARCELO VÁSQUEZ RUBIO

Asesor:
Ing. WILSON MANUEL CASTRO SILUPU

Co-Asesor:
Msc. Lic. ELÍAS ALBERTO TORRES ARMAS

Amazonas - Perú
2012

**UNIVERSIDAD NACIONAL
TORIBIO RODRÍGUEZ DE MENDOZA DE AMAZONAS**



18 DIC 2012

FACULTAD DE INGENIERÍA Y CIENCIAS AGRARIAS

**ESCUELA ACADÉMICO PROFESIONAL
DE INGENIERÍA AGROINDUSTRIAL**

**“EFECTO DE DIFERENTES COMBINACIONES DE PARÁMETROS DE
TAMAÑO Y FORMA EN EL PORCENTAJE DE ERROR DE LA
CLASIFICACIÓN DE ELEMENTOS ESTRUCTURALES EN TEJIDOS
VEGETALES, UTILIZANDO REDES NEURONALES PROBABILÍSTICAS”**

Tesis para obtener el título profesional de:
INGENIERO AGROINDUSTRIAL

Presentada por:
Bach. JOSÉ MARCELO VÁSQUEZ RUBIO

Asesor
Ing. WILSON MANUEL CASTRO SILUPU

Co-Asesor
Msc. Lic. ELÍAS ALBERTO TORRES ARMAS

Amazonas – Perú
2012

DEDICATORIA

A Dios en primer lugar que me brindó la oportunidad de vivir, por ser mi guía espiritual, con un inmenso respeto y amor a mis padres, a mis hermanos por estar conmigo y apoyarme siempre, y a todas aquellas personas que me apoyaron en cada paso en mi carrera profesional por su dedicación y apoyo incondicional hicieron que culmine este gran sueño.

AGRADECIMIENTOS

En primer lugar a Dios.

A mis asesores Ing. Wilson Manuel Castro Silupu y Msc. Lic. Elías Alberto Torres Armas mi más sincero agradecimiento y reconocimiento por guiarme y asesorarme en el desarrollo de la presente tesis; quien además han impartido en mí, conocimientos científicos y tecnológicos para mi formación profesional.

A todo el personal docente y técnicos de los diferentes laboratorios de la UNTRM-A, por su apoyo y paciencia, durante la parte experimental y análisis realizados en la presente investigación.

AUTORIDADES UNIVERSITARIAS

Ph. D. Dr. Hab. VICENTE MARINO CASTAÑEDA CHAVEZ
RECTOR

MsC. LIC. ROBERTO JOSÉ NERVI CHACÓN
VICERRECTOR (E) ACADÉMICO

MsC.EVER SALOMÉ LAZARO BAZÁN
VICERRECTOR (E) ADMINISTRATIVO

DR. MIGUEL ÁNGEL BARRENA GURBILLON
DECANO FACULTAD DE INGENIERÍA Y CIENCIAS AGRARIAS

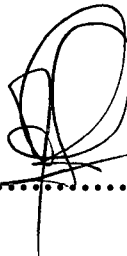
JURADO EVALUADOR



.....
**ING.MANUELITO EFRAIN CASTRO ALAYO
PRESIDENTE**



.....
**ING.HELÍ HUMBERTO AGUIRRE ZAQUINAULA
SECRETARIO**

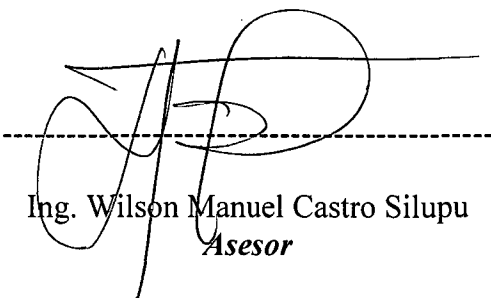


.....
**ING.ERICK ALDO AUQUIÑIVIN SILVA
VOCAL**

VISTO BUENO DEL ASESOR

Yo, Ing. Wilson Manuel CASTRO SILUPU, identificado con DNI N° 40322327 Docente Asociado a Dedicación Exclusiva de la Escuela Académico Profesional de Ingeniería Agroindustrial, asesor de la tesis titulada "**EFFECTO DE DIFERENTES COMBINACIONES DE PARÁMETROS DE TAMAÑO Y FORMA EN EL PORCENTAJE DE ERROR DE LA CLASIFICACIÓN DE ELEMENTOS ESTRUCTURALES EN TEJIDOS VEGETALES, UTILIZANDO REDES NEURONALES PROBABILÍSTICAS**" presentado por el Bach. **JOSÉ MARCELO VÁSQUEZ RUBIO**, egresado de la Escuela Académico Profesional de Ingeniería Agroindustrial.

Por lo indicado doy testimonio y visto bueno, que el Bach. **JOSÉ MARCELO VÁSQUEZ RUBIO**, ha ejecutado la tesis mencionada, por lo que en fé a la verdad firmo la presente.



Ing. Wilson Manuel Castro Silupu
Asesor

ÍNDICE GENERAL

RESUMEN	8
ABSTRACT.....	9
I. INTRODUCCIÓN	10
1.1. MARCO TEÓRICO.....	11
1.1.1. Relaciones estructura – propiedad – proceso	12
1.1.2. Análisis de la estructura en tejidos vegetales.....	13
1.1.3. Desarrollo y aplicación de sistemas inteligentes	16
II. MATERIALES Y MÉTODOS	21
2.1 MATERIALES	21
2.2 MÉTODOS	22
A. Aplicación de diferentes combinaciones de parámetros de tamaño y forma a la clasificación de elementos estructurales.	23
B. Evaluación del porcentaje de error en la clasificación de elementos estructurales. 32	32
C. Determinación de la combinación de parámetros de tamaño y forma que genera la optima clasificación.	33
III.-RESULTADOS	34
3.1 Aplicación de diferentes combinaciones de parámetros de tamaño y forma.....	34
3.2 Evaluación del porcentaje de error	38
3.3 Determinación de la combinación optima	39
IV.- DISCUSIÓN	40
IV.- CONCLUSIONES Y RECOMENDACIONES.....	42
V.- REFERENCIAS BIBLIOGRÁFICAS	43
ANEXOS	46
Anexo A. Análisis de micrografías para obtención de la base de datos de entrenamiento. A continuación se muestran las micrografías utilizadas para generar la base de datos para entrenamiento de la red neuronal.....	47
Anexo B. Consolidado del análisis de características de tamaño y forma de micrografías de entrenamiento	103
Anexo C. Determinación de constantes de normalización	112
Anexo D. Combinaciones de los parámetros de tamaño y forma.....	114
Anexo E. Determinación del porcentaje de error	117
Anexo F. Código fuente del guide desarrollado para esta investigación.....	123

RESUMEN

En esta tesis se procedió a determinar la combinación óptima de parámetros de tamaño y forma a fin de obtener la clasificación de elementos estructurales con el menor porcentaje de error. Para este efecto se procedió a utilizar las secuencias lógicas provistas por Castro y col. (2011) y una serie de micrografías de tejido de calabaza (*Cucurbita pepo L.*) a partir de las cuales se determinaron y clasificaron manualmente los elementos estructurales en tres diferentes clases (células, espacios intercelulares y elementos no reconocibles). De cada elemento se determinaron ocho parámetros de tamaño y forma (Área, Diámetro equivalente, Longitud eje mayor, Longitud eje menor, Perímetro, Redondez, Elongación, Compactación), se elaboró una secuencia lógica para determinar la combinación de parámetros que generaba el menor error en la clasificación de los elementos micro estructurales, mediante comparación con la clasificación manual y se determinó mediante este proceso que el mínimo porcentaje de error fue 12.7 %, mediante el uso de los parámetros de eje mayor, eje menor, perímetro, redondez

ABSTRACT

In this thesis we proceeded to determine the optimal combination of size and shape parameters to obtain the classification of structural elements with the lowest percentage of error. To this effect was used, the logical sequences provided by Castro et al. (2011) and a series of micrographs of tissue squash (*Cucurbitapepo L.*) from which are determined manually and classified in three different structural classes (cells, intercellular spaces and elements not recognizable). Of each element identified eight parameters of size and shape (area, diameter equivalent length major axis, minor axis length, perimeter, roundness, elongation, compaction), was developed in a logical sequence to determine the combination of parameters that generated the least error in the classification of microstructural elements, by comparison with the manual sorting and this process was determined by the minimum error rate was 12.7%, using the parameters of the major axis, minor axis, perimeter, roundness

INTRODUCCIÓN

1.1. MARCO TEÓRICO

1.1.1. Relaciones estructura – propiedad – proceso

En la actualidad la apertura del mercado y las cada vez mayores facilidades en los métodos de comercialización hacen más exigentes las demandas de los consumidores con respecto a las características de calidad y las propiedades que de estos se desean. Esto requiere de la ciencia de los alimentos la capacidad de desarrollar alimentos a medida, partiendo de los ladrillos básicos que los conforman, su organización y los efectos que esta genera sobre sus propiedades. Por tanto las relaciones entre la estructura de un alimento, sus propiedades y funcionalidad son de fundamental interés en la Ingeniería de Alimentos; debido a que, además de los componentes presentes en un alimento, los niveles de organización, determinan las propiedades y atributos que demandan los consumidores (Fennema, Damodaran, y Parkin 2008; Acevedo et al. 2008; Fito et al. 2007; J Aguilera y Stanley 1999)

Dicha organización responde a varios niveles de complejidad y crecientes niveles de funcionalidad; siendo frecuentemente resultado de la reorganización de estructuras previas menos complejas durante los procesos de transformación. Esto debido a que durante estos procesos tienen lugar, de forma simultánea, fenómenos de transferencia de calor y materia en sistemas multifarios, así como cambios físicos, químicos, micro estructurales y macro estructurales(Fito 2011; Seguí, Fito, y Fito 2009; Fito et al. 2007; José Aguilera 2006; Nieto et al. 2004). Es así que las propiedades finales de los alimentos son el resultado de los cambios sucesivos en la materia prima

(composicionales y estructurales), producido como resultado de los fenómenos físicos y químicos acontecidos a lo largo del proceso de transformación (deformaciones y relajaciones de estructura, reacciones enzimáticas, transiciones de fase, etc.).

En concordancia con lo antes comentado, para un adecuado diseño de productos y procesos alimentarios, es necesario conocer y estar en la capacidad de predecir (modelar) los cambios en la estructura de un alimento a lo largo del proceso de transformación y sus relación con las propiedades del mismo. Sin embargo, los existentes modelos de alimentos son poco realistas, prestándole poca importancia a la estructura y los cambios estructurales (P. Fito et al. 2007); debido, principalmente, a la alta complejidad y heterogeneidad de su organización en sus diferentes niveles (nano, micro, meso y macro) (Seguí, Fito, y Fito 2009; Castro Silupu 2010).

Aun a pesar de estas dificultades, como mencionara para realizar el modelado de las relaciones estructura- propiedad-proceso es necesario clarificar que componentes e interacciones son importantes en estos sistemas de estructuras complejas, a fin de extrapolar resultados en otras condiciones de procesamiento (José Aguilera 2006); pues a la fecha, estas relaciones no son bien entendidas y hace que los modelos basados en dichas relaciones tengan un limitado rango de aplicación (Mebatsion et al. 2008).

En el estudio de los diferentes niveles de complejidad uno de los niveles de mayor influencia y tal vez uno de los menos entendidos es el microestructura. A nivel microestructural se debería considerar a la estructura y química de las paredes celulares, presión de turgencia y naturaleza de adhesión; en cuanto a niveles más altos, la

estructura del tejido (orientación celular, cantidad de poros y espacios intercelulares) y tipos de tejidos u órganos (Mayor, Cunha, y Sereno 2007).

Diversos investigadores como Barat, Fito, y Chiralt (2001); Mavroudis, Dejmek, y Sjöholm (2004); Mayor, Cunha, y Sereno (2007); Mayor, Pissarra, y Sereno (2008); Castello et al. (2009) han estudiado las relaciones entre estructura-propiedad-proceso en materiales sometidos a deshidratación osmótica y deshidratación por convección. Dichos autores, estudiando los cambios generados en las propiedades mecánicas debidas a los cambios de densidad y alteración del tejido (ruptura celular, formación de cavidades de aire), demostraron que la estructura (antes, durante y después del proceso) afecta la transferencia de materia, las propiedades mecánicas y sus propiedades texturales.

Todo lo anterior lleva a que uno de los principales retos que existe actualmente en Ciencia e Ingeniería de los Alimentos sea la caracterización y predicción de los cambios estructurales que sufre un alimento durante su procesado y el efecto de estos cambios en las propiedades del alimento, es decir, las relaciones entre estructura-propiedad-proceso (Fito 2011; Fito et al. 2007). Por tanto es necesario desarrollar y/o aplicar metodologías de análisis de la estructura a diferentes niveles y enlazar estas al desarrollo de modelos de mayor realismo.

1.1.2. Análisis de la estructura en tejidos vegetales

A fin de realizar el estudio de la estructura, forma en que se organiza la materia y la energía, como párrafos arriba fue descrita se hace uso de análisis microestructurales, generalmente, a partir de micrografías. En dichas micrografías, obtenidas mediante técnicas de microscopía óptica y/o electrónica, se identifican las entidades microestructurales presentes y se analizan estas de forma cualitativa (p.ej., roturas celulares) y/o cuantitativa (p.ej. mediante la obtención de parámetros de tamaño y forma).

análisis de las estructuras en tejidos vegetales, pasa por la caracterización de los elementos estructurales del El tejido (células y espacios intercelulares). En este punto se encuentra que los alimentos naturales y procesados pueden parecer uniformes cuando se escala macroscópica examinan a o con el ojo desnudo, así, las medidas de propiedades físicas se asume que son intrínsecamente correspondientes a un material “homogéneo”. Sin embargo, la mayoría de las propiedades macroscópicas dependen de las características microscópicas y a esta escala los alimentos pueden lucir algo heterogéneos y anisotrópicos(José Aguilera 2006; Mebatsion et al. 2009), lo cual complica el proceso de análisis y su aplicabilidad en la tecnología de alimentos.

Recientes investigaciones han tratado acerca de la caracterización de los tejidos vegetales ya frescos como procesados Seguí, Fito, y Fito 2009; Mayor, Pissarra, y Sereno 2008; Mayor, Cunha, y Sereno 2007; Nieto et al. 2004; Ramos, Branda, y Silva 2003; Albors 2002; Barat, Fito, y Chiralt 2001. Los trabajos antes mencionados han basado sus análisis en la caracterización de la microestructura mediante reconocimiento visual de las estructuras y determinación de los parámetros de tamaño y forma.

Así es obvio que el uso de microscopios, acoplados a software para análisis de imágenes, deben ser usados para obtener imágenes de la estructura celular (José Aguilera 2005; Zdunek et al. 2007), los cuales a posterior permitan a los ingenieros trabajar con modelos físicos y relaciones matemáticas usando información cuantitativa y datos numéricos procedentes de las imágenes (micrografías).

En contraposición a la transcendencia de la tecnología de microestructura en alimentos, su total adopción en la academia ha sido lenta. Las razones para esta gradual adopción pueden ser el alto costo de la instrumentación, la necesidad de aproximaciones multidisciplinarias y la idea que las imágenes solo proveen información subjetiva (José Aguilera 2005). Es así que imágenes de la microestructura (micrografías) son usualmente usadas solo como soporte para una descripción cualitativa de la microestructura y complementa la data generada por rigurosos protocolos de muestreo y preparación (Ramírez, Germain, y Aguilera 2009).

Ante esto hacen su aparición las técnicas de visión por computadora, las cuales incluyen captura, procesamiento y análisis de imágenes, cuyo potencial en la industria alimentaria, especialmente para aplicaciones de inspección de la calidad, encontrando estándares de calidad e incrementando el valor de mercado, ha sido ampliamente reconocido y le ha llevado a listar a esta industria entre las 10 top que usan esta tecnología (Omid, Khojastehnazhand, y Tabatabaeefar 2010; Acevedo et al. 2008; Brosnan y Sun 2004). En efecto estas técnicas han mostrado gran efectividad como herramienta para medir características externas tales como intensidad de color, homogeneidad de color, tamaño, forma y demás atributos físicos de frutas y objetos de forma irregular (Omid, Khojastehnazhand, y Tabatabaeefar 2010).

Estas operaciones de análisis de imágenes demandan una gran cantidad de recursos, al requerir un operador entrenado capaz de discriminar entre los elementos que componen la imagen y de los cuales se extrae su información morfológica (características de tamaño y forma) y su dificultad se incrementa a medida que aumenta la complejidad de las estructuras a analizar; siendo claro que para aquellos elementos aislados, sin contacto, es fácilmente realizado. Sin embargo, los objetos que están en contacto y/o solapándose presentan problemas únicos en el momento de ser evaluados (Ni y Guansekaran 2004). Es así que en los sistemas convencionales de análisis de microestructura aún se requiere de un operador entrenado que discrimine entre los elementos existentes en la microestructura.

1.1.3. Desarrollo y aplicación de sistemas inteligentes

En este punto se puede considerar el uso de sistemas inteligentes, cuyo esquema general se aprecia en la figura 1, usadas exitosamente en clasificación, de acuerdo a los parámetros de madurez, de frutales (Du y Sun 2006). Estos sistemas, debido a su capacidad de auto aprendizaje, podrían aplicarse al reconocimiento de los elementos constituyentes en tejidos vegetales (Células y espacios intercelulares).

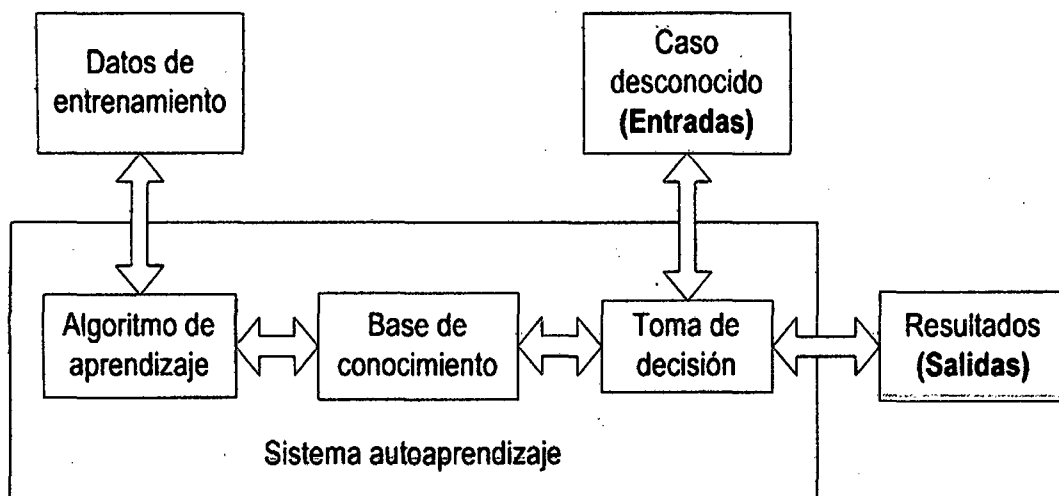


Figura 1. Esquema de sistemas inteligentes

Fuente: Cheng-Jin y Da-Wen (2006)

En estos sistemas las imágenes son caracterizadas cuantitativamente de acuerdo a características morfológicas, parámetros de color, entre otras; estas se usan para representar al alimento y entrenar al sistema. A partir de estos datos se obtiene el algoritmo de entrenamiento, extrayendo el conocimiento base necesario para hacer decisiones en casos desconocidos. La decisión tomada, con base en este conocimiento, se convierte en una salida y alimenta la base de datos al mismo tiempo, generalizando la forma que un usuario entrenado usa para completar su labor (Cheng-Jin y Da-Wen 2004; Cheng-Jin y Da-Wen 2006; ChoTse 2004)

Estas decisiones, basadas en patrones de forma, tamaño, color, etc., se han usado exitosamente en la clasificación de frutas, predicción del periodo de cosecha, análisis de textura de músculos, distribución de tamaño de semillas e identificación de hojas, evaluación de alimentos extruidos y análisis de estructura de plantas (Ni y Guansekaran 2004; Omid, Khojastehnazhand, y Tabatabaeefar 2010).

Aunque los avances actuales en informática y capacidad de computo permiten construir sofisticadas máquinas para sustituir la acción humana aún existe un gran vacío en las actividades que requieran simular los cinco sentidos, sobre todo cuando se tiene como finalidad el reconocimiento de patrones (ChoTse 2004), base de los sistemas de clasificación y predicción.

En este contexto los clasificadores artificiales, generados por computadora, intentan imitar las decisiones usando tanto redes neuronales como discriminantes Bayesianos (Omid, Khojastehnazhand, y Tabatabaeefar 2010), interactuando con una base de datos a todos los niveles del proceso para mayor precisión en la decisión y logrando mayor efectividad de la decisión inteligente al aumentar la información proporcionada en la base de datos (Brosnan y Sun 2004).

Las redes neuronales, inicialmente inspiradas por el sistema nervioso, combinan la complejidad de algunas de las técnicas estadísticas con el auto aprendizaje, imitando el proceso cognoscitivo humano. La figura 2 ilustra una topología general de la estructura de redes neuronales, la red completa representa un muy complejo conjunto de interdependencias y pueden incorporar algún grado de no linealidad en la teoría. (Cheng-Jin y Da-Wen 2004).

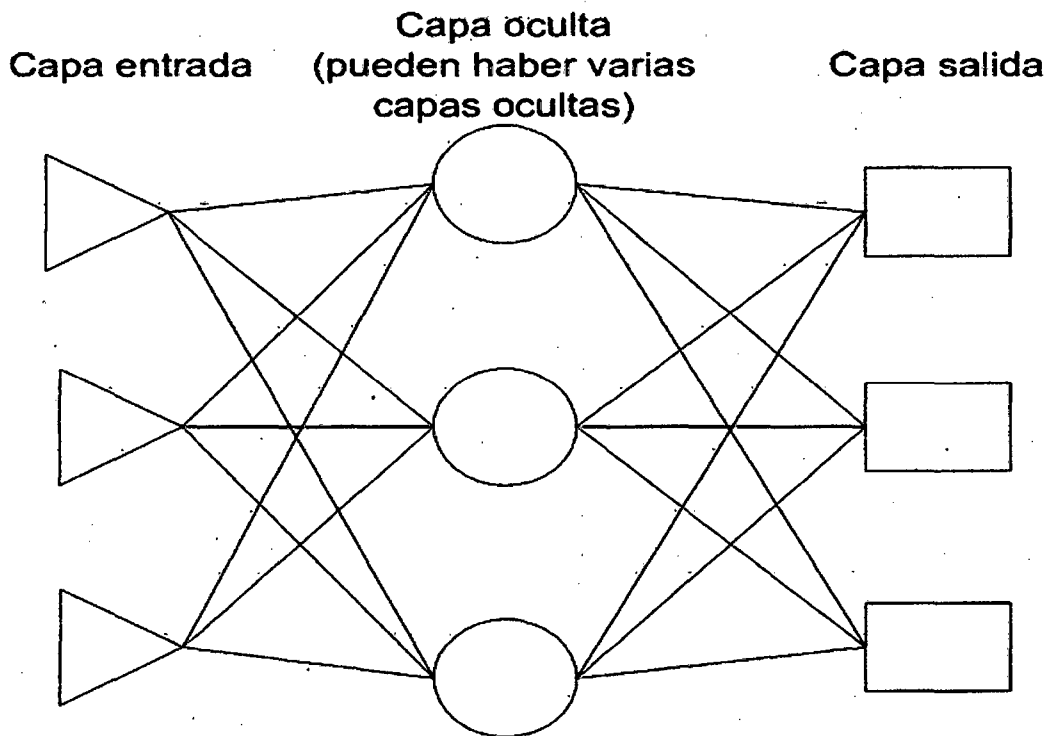


Figura 2. Topología general de la estructura de redes neuronales

Fuente: Cheng-Jin y Da-Wen (2004)

En general las redes neuronales han mostrado una capacidad clasificatoria igual o superior que las técnicas estadísticas, con la ventaja de poderse utilizar independientemente del cumplimiento de los supuestos teóricos relativos a estas técnicas (Pitarque, Ruiz, y Roy 2000).

En este sentido la tecnología de redes neuronales permite extender las tecnologías de visión por computadora a la inspección de color, contenido, forma y textura a niveles de aproximación cercanos a los humanos y puede proveer capacidad de realizar clasificación exitosamente en tareas de inspección (Cheng-Jin y Da-Wen 2006).

El problema surge cuando encontramos resultados contradictorios a la hora de determinar qué modelos son más eficientes en la solución de problemas concretos de

predicción/clasificación. Así mientras algunos trabajos empíricos no encuentran diferencias entre los resultados hallados por unos y otros modelos (Croall y Mason, 1992; Michie y col, 1994; Ripley, 1993; Thrun, Mitchell y Cheng, 1991), otros resultados tienden a apoyar una ligera superioridad de las redes neuronales sobre las técnicas estadísticas (Garson, 1991; Huang y Lippman, 1987; White, 1994).

Los estadísticos explican estas discrepancias empíricas aduciendo una incorrecta aplicación de las técnicas estadísticas: análisis inadecuado de los supuestos teóricos en los que se basan (homogeneidad de la matriz de covarianzas, normalidad, etc), utilización de matrices datos sesgadas, ausencia de pre-procesamiento de los datos (outliers, missing data, etc) y transformación de variables, etc. Por su parte los expertos en redes aducen que pese a que las redes neuronales a priori son capaces de asociar cualquier patrón de entrada con cualquier patrón de salida, su rendimiento depende del ajuste heurístico de numerosos parámetros (número de unidades de entrada, salida y ocultas, si procede; funciones de activación: lineal, sigmoidal, tangencial; regla de aprendizaje: Hebb, delta, retropropagación; coeficientes de aprendizaje y momentum, etc.), ajuste que no siempre garantiza la solución deseada, dada además la estructura de "caja negra" (Cherkassky, Friedman y Wechsler, 1994) de este tipo de modelos.

Las características de autoaprendizaje de las redes neuronales y la necesidad de cuantificar la información microestructural a partir de micrografías, mediante visión por computadora, hacen necesario considerar la implementación de sistemas de análisis de microestructuras vegetales, basados en estas dos técnicas. Sin embargo, para esto se requiere conocer apropiadamente las variables o patrones a ingresar a la red neuronal

(parámetros de tamaño y forma) y las interacciones tanto entre variables o patrones de ingreso y entre estas y la variable(s) respuesta(s).

Por tanto el objetivo de este trabajo es estudiar el efecto de diferentes combinación de parámetros de tamaño y forma en el porcentaje de error de la clasificación de elementos estructurales, utilizando redes neuronales probabilísticas. Para este fin se han utilizado micrografías de tejido parenquimático de calabaza, y se han aplicado técnicas de análisis de imagen e inteligencia artificial, concretamente redes neuronales, aplicando diferentes combinaciones de parámetros de entrada y analizando los resultados de la clasificación en una matriz de confusión.

I. MATERIALES Y MÉTODOS

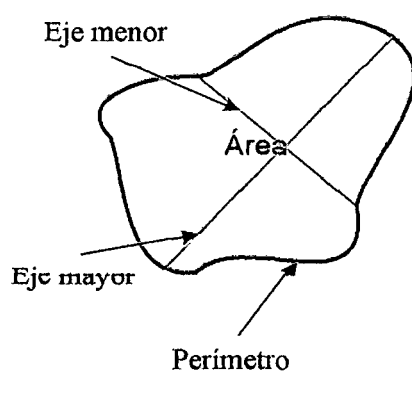
2.1 MATERIALES

A. Muestras

Se emplearon micrografías de calabaza (*Cucurbita pepo L.*) provistas por el Dr. Luis Mayor López, investigador del Instituto Universitario de Ingeniería de Alimentos para el Desarrollo (IUIAD) de la Universidad Politécnica de Valencia (UPV).

Dichas micrografías se obtuvieron a partir de muestras de calabaza, adquiridas a un productor de la localidad. Se obtuvieron cilindros de tejido parenquimático de la zona intermedia del mesocarpio, paralelos al eje mayor del fruto y fueron tratados de acuerdo al procedimiento de Mayor, Pissarra, y Sereno (2008).

Estas micrografías fueron caracterizadas obteniendo sus elementos constituyentes, según la metodología propuesta por Castro et al. (2011); de cada tipo de elemento se obtuvieron parámetros de tamaño y forma, según la figura 3. Los resultados obtenidos de muestran en el anexo A.



- 1) Área
 - 2) Diámetro equivalente
 - 3) Longitud del eje mayor
 - 4) Longitud del eje menor
 - 5) Perímetro
 - 6) Redondez
- $$\text{Redondez} = \frac{4 \cdot \pi \cdot \text{Área}}{(\text{Perímetro})^2}$$
- 7) Elongación
- $$\text{Elongación} = \frac{\text{Longitud eje mayor}}{\text{Longitud eje menor}}$$
- 8) Compactación
- $$\text{Compactación} = \sqrt{\frac{4 \cdot \text{Área}}{\pi}}$$

Figura 3. Parámetros de tamaño y forma

Fuente: Castro et al. (2011)

B. Equipos

- Computadora Core i5 inside, 2.27 GHz, memoria: 4.0 GB
- Memoria USB – 8 GB

C. Otros

- Artículos de revistas especializadas
- Software matemático Matlab 2010^a

2.2 MÉTODOS

La metodología empleada para lograr los objetivos planteados en la presente investigación se desarrolla a continuación: a) Aplicación de diferentes combinaciones de parámetros de tamaño y forma a la clasificación de elementos estructurales, utilizando redes neuronales probabilísticas. b) Evaluación del porcentaje de error en la clasificación de elementos estructurales, utilizando redes neuronales probabilísticas. c) Determinación de la combinación de parámetros de tamaño y forma que genera la optima clasificación de elementos estructurales, basada esta en el porcentaje de error.

A continuación se brindan mayores detalles de cada una de las etapas antes mencionadas:

A. Aplicación de diferentes combinaciones de parámetros de tamaño y forma a la clasificación de elementos estructurales.

El programa utilizado para el análisis de la microestructura en tejidos vegetales fue facilitado por el ingeniero Wilson Castro Silupu, quien lo desarrollo e implemento en el software matemático Matlab v.2010a. Este

programa fue presentados en el VIII Congreso Iberoamericano de Ciencia e Ingeniería de los Alimentos (VIII CIBIA) y sus resultados publicados en el libro resumen del mismo con el título “Aplicación de redes neuronales a la clasificación de elementos estructurales en micrografías de tejido vegetal”.

Este programa requiere sean especificados los parámetros de tamaño y forma de los elementos estructurales ya comentados en el apartado 2.1 de este informe y que alimentan a la red neuronal artificial. En el trabajo de Castro et al. (2011) se usaron los parámetros redondez, elongación y compactación; sin embargo, no menciona que hayan realizado un proceso de optimización para la selección de los parámetros antes mencionados.

i) Detalles del programa de análisis y clasificación de elementos

Algunos detalles del programa, descripción de las distintas interfaces de usuario que lo componen, se muestra a continuación:

- Interface de pre-tratamiento. Esta interface, denominada genéricamente *guide* en el software Matlab, permite al usuario cargar la micrografía en formato JPEG¹, transformándola en matriz tridimensional, y procediendo a las operaciones de realce y mejoramiento de la imagen, mediante operaciones matriciales.

¹Estándar de compresión y codificación digital de imágenes. Fue creado por el JointPhotographicExpertsGroup (Grupo Conjunto de Expertos en Fotografía o JPEG)

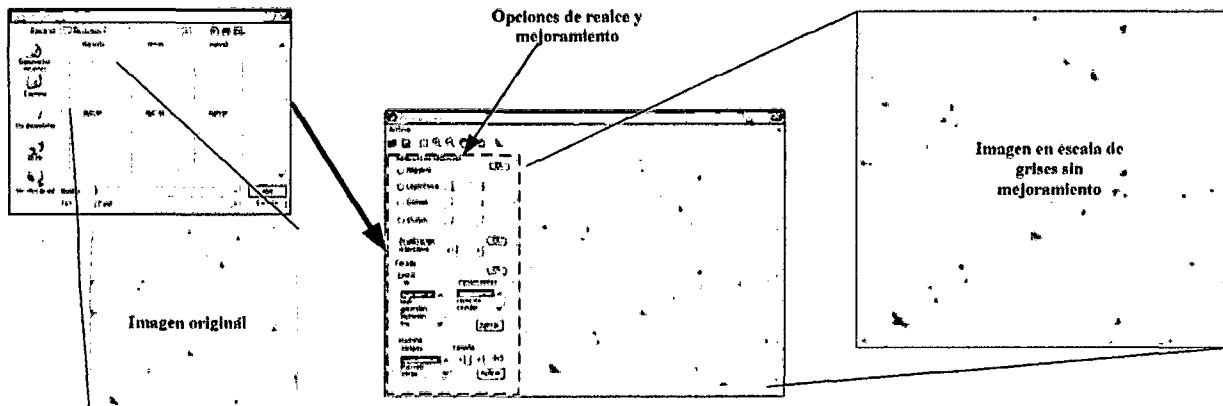
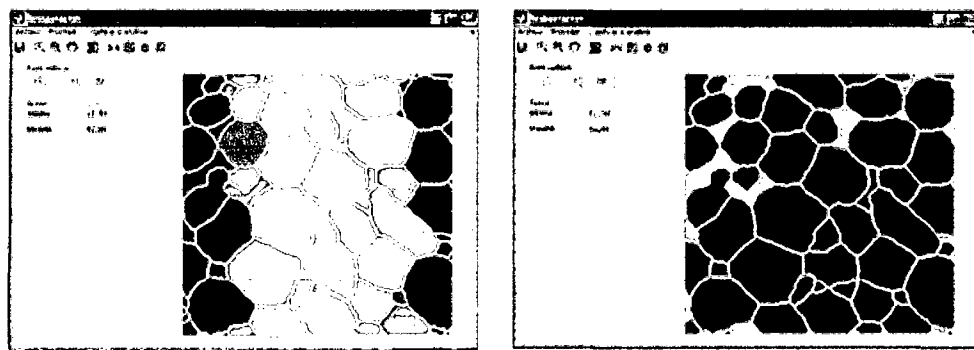


Figura 4. Cargado de micrografías

Fuente: Castro et al. (2011)

- Interface de restauración y clasificación. En esta el usuario tiene la posibilidad de realizar operaciones de restauración (eliminación de espacios, esqueletizado, entre otros.). Culminada la restauración se procede a la segmentación (separación de elementos que conforman al tejido coloreando a cada elemento de distinto color), lo cual genera una imagen denominada matriz L figura 5a. Asimismo, en esta interface se realiza la clasificación automática de los elementos en células, espacios intercelulares y elementos no reconocibles figura 5b, generando la imagen imgetiq.

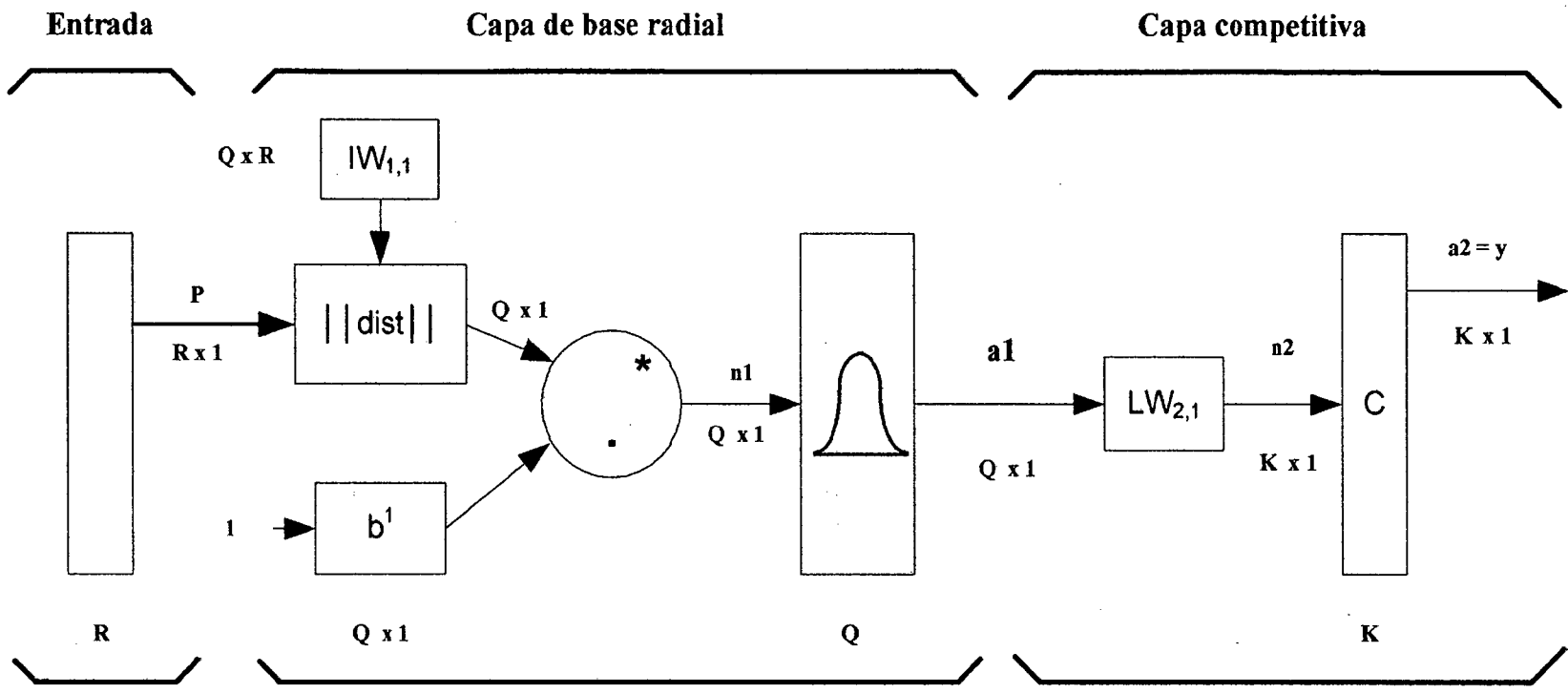


a) Representación matriz L b) Representación imgetiq

Figura 5. Imagen antes y después de la clasificación.

Fuente: Castro et al. (2011)

El sistema se basa en una red neuronal artificial del tipo probabilístico, denominada newppn por el software matlab. La arquitectura de la misma se muestra en la figura 6 y las entradas y salidas en la tabla 1.



$$a_{i1} = \text{radbas}(| | iW_{1,1} - p | | b_i^1)$$

$$a_2 = \text{compet}(LW_{21a_1})$$

a_{i1} es el i -esimo elemento de a_1 donde $|IW_{1,1}|$ es un vector hecho de la i -esima fila de $IW_{1,1}$

Q = numero de pares entradas/objetivos = numero de neuronas en capa 1

K = numero de clases de datos de entrada = numero de neuronas en capa 2

R = numero de elementos en el vector de entrada

Figura 6. Arquitectura de la red neuronal probabilística
Fuente: Castro et al. (2011)

Las entradas se obtienen dividiendo el valor de los parámetros de tamaño y forma entre constantes de normalización (matriz de normalización²), las cuales se calcularon según se muestra en el anexo c y cuya síntesis se presenta en la tabla 1.

Tabla 1. Constantes de normalización

Parámetro	Unidad	Valor
Área	µm ²	32747.13
Diámetro equivalente	µm	198.46
Eje mayor	µm	389.31
Eje menor	µm	169.92
Perímetro	µm	1261.20
Redondez	--	1.20
Elongación	--	13.10
Compactación	--	0.97

Fuente: Elaboración propia

La activación o no de una neurona de salida, codifica tres identificadores de clase (expresados en código binario) tabla 2, finalizando así el proceso de clasificación.

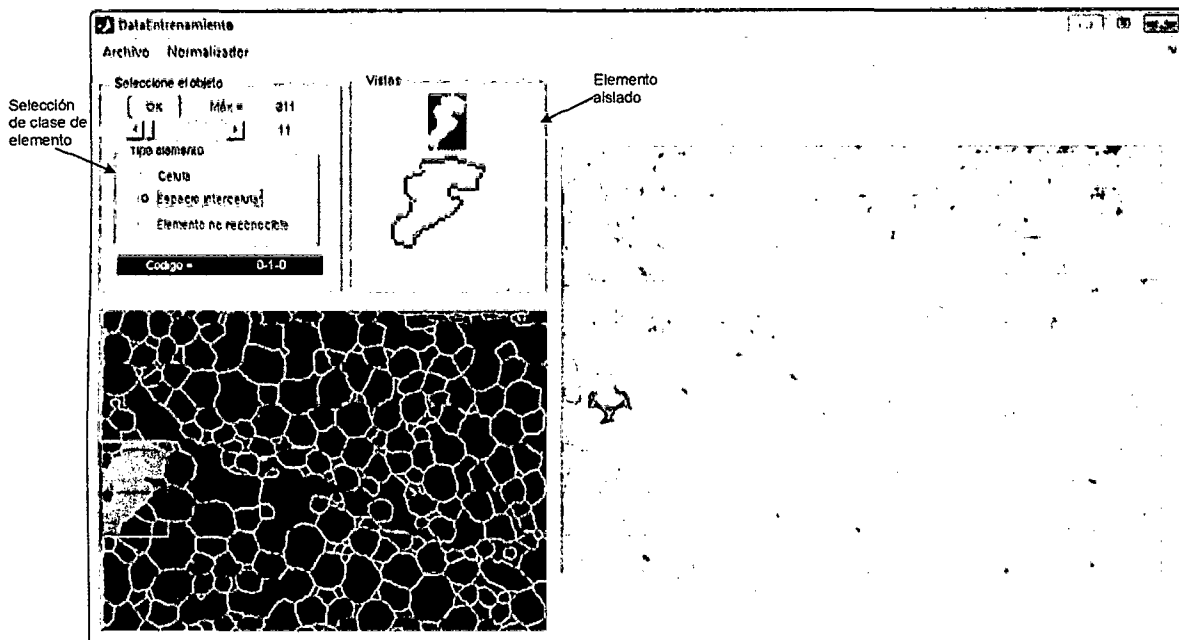
² La matriz de normalización se conforma por aquellos valores que hacen alcanzar la distribución acumulada de los parámetros de tamaño y forma al 95%. Estos parámetros se obtuvieron mediante el comando regionprops y una secuencia de comandos implementada en script de Matlab..

Tabla 2. Características de entradas y salidas de la red neuronal

Parámetro	Rango
E1	[0 - 100]
Entradas* (inputs)	[0 - 100] ... En
	[0 - 100]
Salidas (outputs)	Valor lógico [0 - 1] Valor lógico [0 - 1] Valor lógico [0 - 1]

Fuente: Adaptado a partir de Castro et al. (2011)

- Interface de entrenamiento. Esta interface fue especialmente diseñada para que un usuario entrenado discrimine entre los distintos elementos estructurales, mediante una secuencia lógica y guide especialmente desarrollados para este propósito figura 7. Con este guide se obtuvo la base de datos de elementos clasificados y que sirvió para alimentar a la red neuronal.



Figura

7. Guide para obtención de datos de entrenamiento

- ii) Selección y aplicación de parámetros de forma en sistema de reconocimiento

Los parámetros de entrada, comentados anteriormente, se listan y numeran en la tabla 3. Estos fueron obtenidos para cada una de las micrografías y su valor numérico se puede apreciar en el anexo A.

Tabla 3. Características de entradas y salidas de la red neuronal

Parámetro	Número
Área	1
Diámetro equivalente	2
Eje mayor	3
Eje menor	4
Perímetro	5
Redondez	6
Elongación	7
Compactación	8

Fuente: Elaboración propia

A fin de determinar cómo influencian diferentes combinaciones, en la eficacia del proceso de calcificación mediante una red neuronal del tipo probabilístico, se determinaron todas las combinaciones de los parámetros de manera que estos no se repitan e importando el orden de los mismo. Estas se muestran en la tabla 4.

Tabla 4. Combinaciones de los parámetros de tamaño y forma usados en la investigación.

Número de parámetros	Combinaciones posibles
2	28
3	56
4	70
5	56
6	28
7	8
Total	246

Fuente: Elaboración propia

La combinaciones de parámetros son usados como información de entrada, para el proceso de clasificación, en la red neuronal artificial. En la figura 8 se muestra la secuencia lógica para el proceso de selección y uso de las combinaciones de parámetros en el sistema de clasificación inteligente.

La clasificación de elementos se realizo sobre un total de 322 elementos, de los cuales 169 fueron células, 99 espacios intercelulares y 54 elementos no reconocibles.

B. Evaluación del porcentaje de error en la clasificación de elementos estructurales.

Los resultados de la clasificación, almacenados estos en hojas Excel, fueron posteriormente comparados con los resultados de una clasificación manual realizadas por un operador entrenado.

La eficiencia de clasificación de la red neuronal, tanto por clase de elemento como global, se presenta como una matriz de confusión. Dicha matriz es una herramienta de visualización que se emplea en aprendizaje supervisado. Cada columna de la matriz representa el número de predicciones de cada clase, mientras que cada fila representa a las instancias en la clase real.

Con base en lo indicado en el párrafo anterior la matriz de confusión para este trabajo se muestra en la figura 9.

Instancias en la clase real	Predicción con red neuronal		
	Clase 1	Clase 2	Clase 3
Clase 1	Clase 1=Clase 1	Clase 1=Clase 2	Clase 1=Clase 3
Clase 2	Clase 2=Clase 1	Clase 2=Clase 2	Clase 2=Clase 3
Clase 3	Clase 3=Clase 1	Clase 3=Clase 2	Clase 3=Clase 3

Figura 9. Matriz de confusión³

Fuente: Elaboración propia

³ Las celdas coloreadas en gris claro son clasificaciones coincidentes entre la red neuronal y el observador entrenado; la celda en gris oscuro es la eficiencia ponderada de clasificación.

C. Determinación de la combinación de parámetros de tamaño y forma que genera la optima clasificación.

Para determinar la combinación de parámetros que genera la óptima clasificación se procedió a determinar cuál es la combinación que presenta la máxima eficacia ponderada en clasificación. Asimismo se toma en cuenta la eficiencia en la clasificación en las células y espacios intercelulares.

III.-RESULTADOS

3.1 Aplicación de diferentes combinaciones de parámetros de tamaño y forma

a) Determinación de combinaciones de los parámetros de tamaño y forma. El numero de combinaciones de los parámetros de tamaño y forma utilizados en este investigación, codificados en la tabla 3, se muestran en la tabla 5. Asimismo, mayores detalles de la combinación de estos parámetros se puede apreciar en la tabla A11 de los anexos.

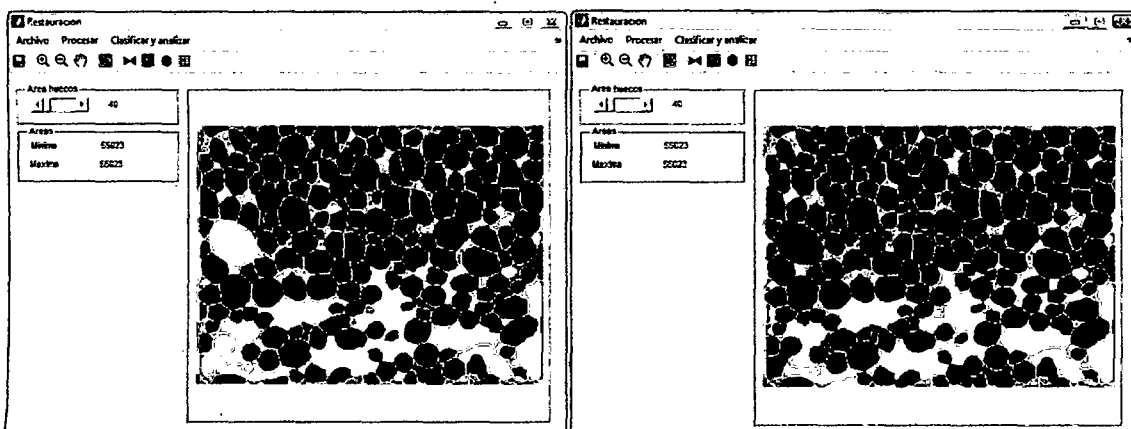
Tabla 5. Numero de combinaciones posibles

Numero de parámetros	Numero de combinaciones
2	28
3	56
4	70
5	56
6	28
7	8

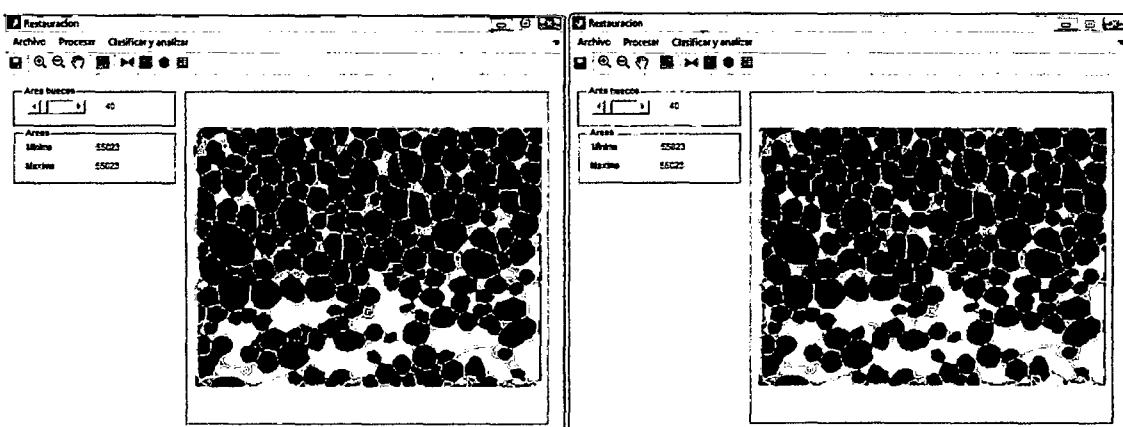
Fuente: Elaboración propia

b) Implementación y aplicación del código fuente. El código fuente, desarrollado en base a la figura 8, para la aplicación de las distintas combinaciones de parámetros se implementó, en lenguaje script de Matlab, para el Guide restauración del programa provisto por Castro y col. (2011); el código fuente ya mencionado se encuentra disponible en el Anexo F.

En la siguiente figura se aprecia la aplicación de diferentes combinaciones de parámetros de tamaño y forma en una micrografía.

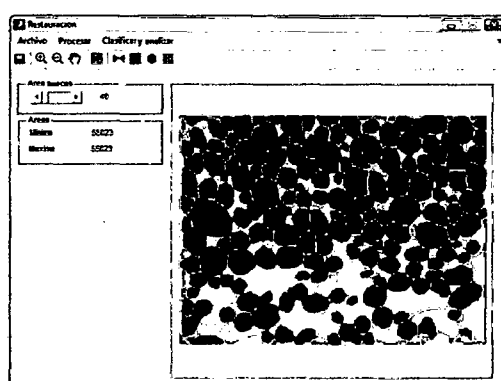


(parámetros 2 y 3) (parámetros 2, 3, 4)



(parámetros 2,3,4,5)

(parámetros 2,3,4,5,6)



(parámetros 2,3,4,5,6,7)

Figura 10. Resultado de la clasificación al aplicar algunas combinaciones de parámetros de tamaño y forma.

3.2 Evaluación del porcentaje de error

Los errores obtenidos para cada una de las combinaciones aplicadas en el proceso de clasificación utilizando redes neuronales se muestran en el anexo D. Asimismo, a efecto comparativo se muestra los porcentajes de error, para cada combinación, distribuidos en cuartiles mediante una grafica de cajas y bigotes.

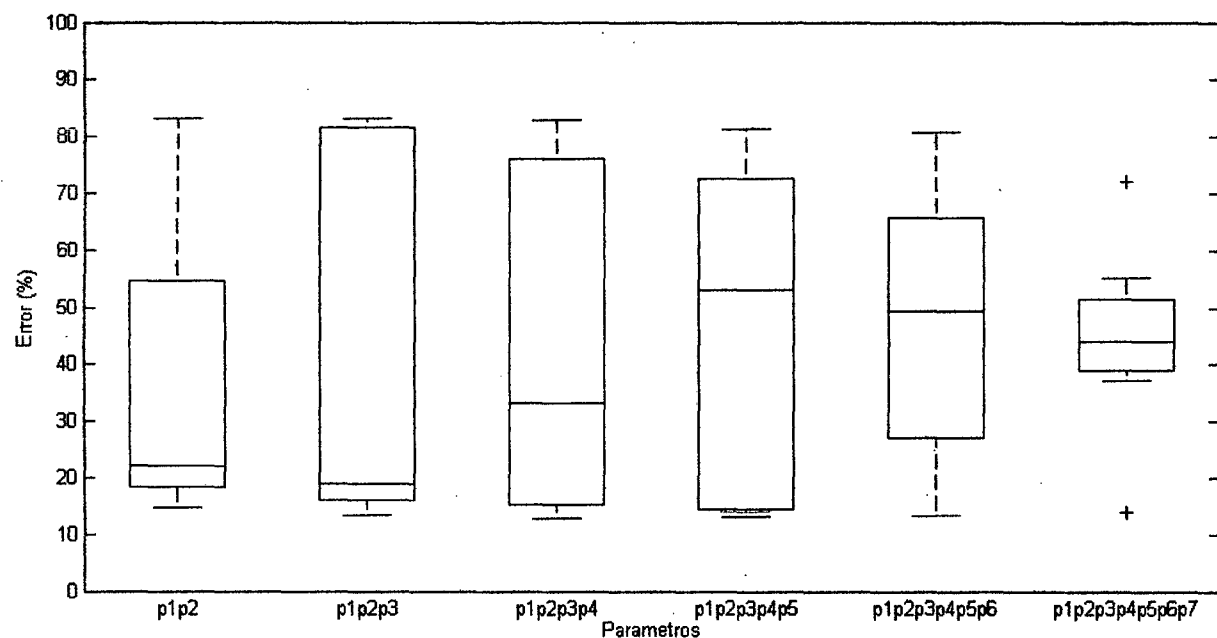


Figura 11. Grafica de cajas y bigotes de los porcentajes de error por combinación

El diagrama de cajas y bigotes nos muestra, para cada combinación de parámetros, el porcentaje mínimo de error en el bigote inferior. También se aprecia que el 50 % de los datos ocupan, en la mayoría de las combinaciones, una gran extensión del rango intercuartilico.

3.3 Determinación de la combinación optima

La determinación de la combinación optima se realizo determinando el error mínimo y su correspondiente combinación de parámetros en cada caso, esto se observa en la figura 12.

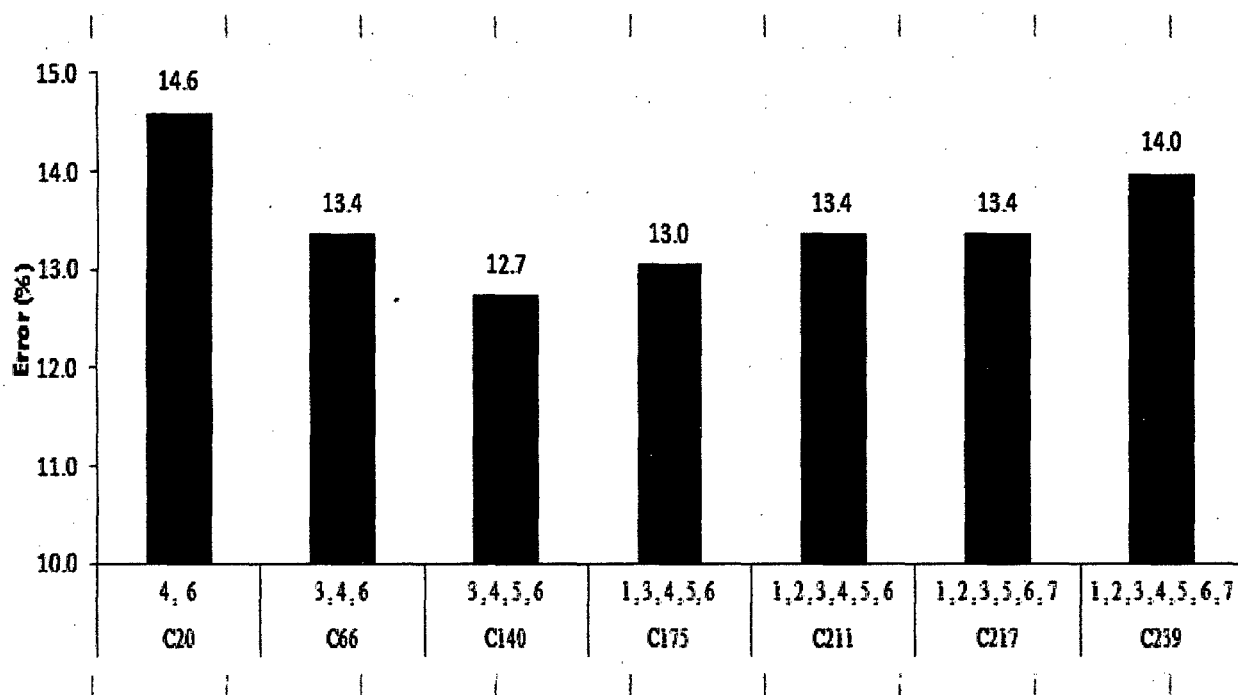


Figura 12. Errores mínimos en las diferentes combinaciones

IV.- DISCUSIÓN

De la tabla 5 y figura 10, en la cual se muestra que diferentes combinaciones de parámetros de entrada generan diferentes resultados en la clasificación de los elementos estructurales en tejidos vegetales y las referencias recolectadas por Su y Da-Wen (2006) se puede inferir que las redes neuronales son adecuadas para los procesos de clasificación; sin embargo, y en gran medida debido a su tipología como modelo de caja negra, existen un gran margen para el diseño de estos modelos en base a la topología a que este modelo puede ajustarse. En nuestro caso la topología fue ajustada mediante el uso de diferentes combinaciones de parámetros de entrada.

De la figura 11 se aprecia que distintas combinaciones de parámetros de tamaño y forma generan diferentes resultados en el proceso de clasificación; estos parámetros han sido utilizados ya en otros trabajos de investigación como los de Mayor y col., 2008; Ramírez y col. 2009, Bustos, 2005. En la recopilación de casos que presenta Cheng (2006) se puede observar que en el caso del sector alimentario la inteligencia artificial y concretamente las redes neuronales se han usado en la clasificación de alimentos ya sea en estado fresco como procesado. Sin embargo, también encontró en los resultados experimentales de varios investigadores como Nakano (1997) que el mayor problema de la clasificación son los desiguales gradientes de color en manzanas debido al efecto de su geometría esférica, entre otras.

De la figura 11 se aprecia que el porcentaje de error es elevado en las diferentes combinaciones y solo en algunos casos se logra un, relativamente, bajo error en la clasificación al comparar estos con proceso manuales. Sin embargo, también Cheng (2006) ha encontrado que diversos investigadores encuentran valores de errores elevados,

de entre 7.5 a 25 %, para clasificación de calidad en manzanas del 5 % para clasificación de especies de pescado, 11.5 % en clasificación de calidad de zanahorias frescas y así en casos similares.

De la figura 12 se desprende que este sistema de análisis basado en redes neuronales, flexible y esencialmente del tipo caja negra, es suficiente para clasificar con buena aproximación elementos estructurales u otras especies de estructuras u elementos. Es de ahí la razón de haber sido ampliamente utilizadas, como lo comentan Du y Da-Wen (2006), en la clasificación y predicción de varios tipos de alimentos, usando sistemas de visión por computador.

IV.- CONCLUSIONES Y RECOMENDACIONES

4.1 Conclusiones

- Diferentes combinaciones de parámetros de entrada (inputs) en una red neuronal probabilística, usada para la clasificación de elementos estructurales en tejidos vegetales, generan diferentes niveles de error.
- El análisis exploratorio de datos reporta que la combinación con mínimo porcentaje de error se encuentra al combinar cuatro parámetros de entrada.
- La combinación de los parámetros tamaño y forma que genero el mínimo porcentaje de error, 12.7 %, fue: eje mayor, eje menor, perímetro, redondez.

4.2 Recomendaciones

- Realizar un estudio comparativo para evaluar la eficiencia del algoritmo de redes neuronales y un análisis estadístico clásico.
- Aplicar sistemas inteligentes a la clasificación en otros casos a fin de incrementar el conocimiento acerca de su utilidad en el campo agroalimentario.

V.- REFERENCIAS BIBLIOGRÁFICAS

- Acevedo, N, Villbet Briones, Pilar Buera, y José Aguilera. 2008. «Microstructure affects the rate of chemical, physical and color changes during storage of dried apple discs». *Journal of Food Engineering* 85: 222 – 231.
- Aguilera, J, y D Stanley. 1999. *Microstructural principles of food processing and engineering*. 2.^a ed. Estados Unidos: Springer.
- Aguilera, José. 2005. «Why food microstructure?» *Journal of Food Engineering* 67: 3 – 11.
- . 2006. «Food product engineering: building the right structures». *Journal of the Science of Food and Agriculture* 86: 1147–1155.
- Albors, A. 2002. «Estudio de perfiles composicionales y estructurales en tejido de manzana (var. Granny Smith) deshidratada». Valencia - España: Universidad Politecnica de Valencia.
- Barat, J, P Fito, y A Chiralt. 2001. «Modeling of simultaneous mass transfer and structural changes in fruit tissues». *Journal of Food Engineering* 49: 77–85.
- Brosnan, Tadhg, y Da-Wen Sun. 2004. «Improving quality inspection of food products by computer vision - a review». *Journal of FoodEngineering* 61: 3–16.
- Bustos, J. 2005. «Inteligencia artificial en el sector agropecuario». *Seminario de Investigación I. Universidad Nacional de Colombia. Colombia*
- Castro, Wilson, Luis Mayor, L Seguí, P Fito, y Elias Castro. 2011. «Aplicación de redes neuronales a la clasificación de elementos estructurales en micrografías de tejido vegetal». En *VIII Congreso iberoamericano de Ingenieria de Alimentos (CIBIA)*.
- Cheng, Du, Da-Wen, Sun. 2006. «Learning techniques used in computer vision for food quality evaluation: a review ». *Journal of Food Engineering*. 72: 39–55
- Du, C, y Da-Wen Sun. 2006. «Automatic measurement of pores and porosity in pork ham

and their correlations with processing time, water content and texture». *Meat Science* 72 (2): 294–302.

Fennema, O, S Damodaran, y K Parkin. 2008. *Food chemistry*. 4.^a ed. Estados Unidos: CRC Press.

Fito, P. 2011. «Modelos de relaciones estructura-propiedad-proceso en alimentos reales. Herramientas y aplicaciones». En *Conferencia Plenaria IX*. Lima - Perú.

Fito, P, M LeMaguer, N Betoret, y P.J Fito. 2007. «Advanced food process engineering to model real foods and processes: The “SAFES” methodology». *Journal of Food Engineering* 83: 173 – 185.

Mayor, Luis, R Cunha, y A Sereno. 2007. «Relation between mechanical properties and structural changes during osmotic dehydration of pumpkin». *Journal of Food Engineering* 40: 448 – 460.

Mayor, Luis, J Pissarra, y A Sereno. 2008. «Microstructural changes during osmotic dehydration of parenchymatic pumpkin tissue». *Journal of Food Engineering*.

Mebatsion, H, P Verboven, Q Ho, Bert Verlinden, y Bart Nicolaï. 2008. «Modeling fruit (micro) structures, why and how?» *Trends in Food Science & Technology* 19: 59 – 66.

Mebatsion, H, P Verboven, A Melese, J Billen, Q Ho, y B Nicolaï. 2009. «A novel method for 3-D microstructure modeling of pome fruit tissue using synchrotron radiation tomography images». *Journal of Food Engineering* 93: 141 – 148.

Ni, Hongxu, y SundaramGuansekaran. 2004. «Image processing algorithm for cheese shred evaluation». *Journal of Food Engineering* 61: 47–45.

Nieto, A, D Salvatori, M Castro, y S Alzamora. 2004. «Structural changes in apple tissue during glucose and sucrose osmotic dehydration: shrinkage, porosity, density and microscopic features». *Journal of Food Engineering* 61: 269 – 278.

Omid, M, M Khojastehnazhand, y A Tabatabaeefar. 2010. «Estimating volume and mass

of citrus fruits by image processing technique». *Journal of Food Engineering*: 315–321.

Ramírez, Cristian, Juan Germain, y José Aguilera. 2009. «Image analysis of representative food structures: application of the Bootstrap method». *Journal of Food Science* 74 (6): 65 – 72.

Ramos, I, T Brandao, y L Silva. 2003. «Structural changes during air drying of fruits and vegetables». *Food Science and Technology International* 2 (5): 549–557.

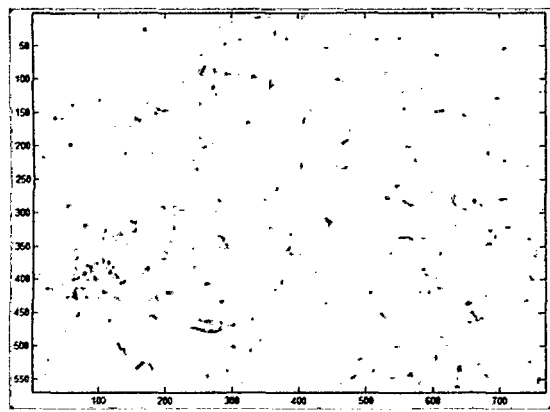
Seguí, L, P.J Fito, y P Fito. 2009. «Analysis of structure-property relationships in isolated cells during OD treatments. Effect of initial structure on the cell behaviour». *Journal of Food Engineering*.

Zdunek, A, R Konskyy, J Cybulska, K Konstankiewicz, y M Umeda. 2007. «Visual texture analysis for cell size measurements from confocal images». *International Agrophysics* 21: 409 – 414.

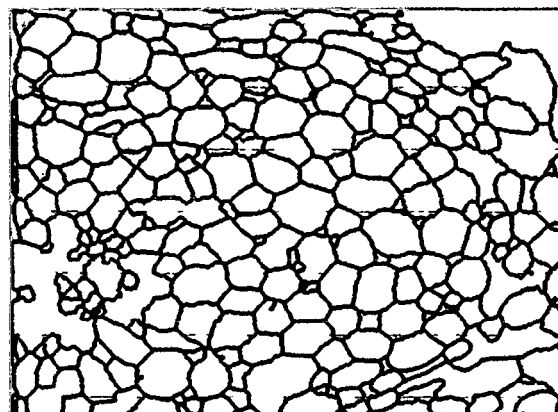
ANEXOS

Anexo A. Análisis de micrografías para obtención de la base de datos de entrenamiento. A continuación se muestran las micrografías utilizadas para generar la base de datos para entrenamiento de la red neuronal.

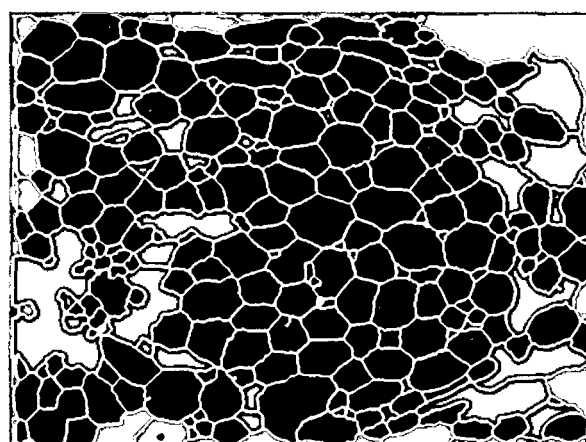
Código: 9D-11a



a)



b)



c)

Figura A1. a) Imagen Original b) Imagen procesada c)Imagen segmentada y clasificada

Tabla A1. Parámetros de tamaño y forma y clasificación de elementos en micrografía 9D-11a

Núm.	Área	Deq	Ejemay	Ejemen	Per	Red	Eig	Comp	Célula	Espint	Elem No Rec
1	2971.42	61.51	262.32	22.38	593.23	0.11	11.72	0.23	0	0	1
2	1412.21	42.40	178.56	19.18	330.59	0.16	9.31	0.24	0	0	1
3	409.49	22.83	31.17	18.46	83.60	0.74	1.69	0.73	0	0	1
4	57.75	8.57	23.43	4.20	38.56	0.49	5.58	0.37	0	0	1
5	257.24	18.10	70.78	9.14	134.00	0.18	7.74	0.26	0	0	1
6	136.50	13.18	59.90	4.02	98.13	0.18	14.89	0.22	0	0	1
7	10.50	3.66	5.29	2.65	4.58	6.28	2.00	0.69	0	0	1
8	10.50	3.66	5.29	2.65	4.58	6.28	2.00	0.69	0	0	1
9	105.00	11.56	22.05	7.48	45.04	0.65	2.95	0.52	0	0	1
10	162.75	14.39	67.22	4.04	121.04	0.14	16.64	0.21	0	0	1
11	64951.34	287.57	462.77	266.49	2023.20	0.20	1.74	0.62	0	1	0
12	183.75	15.30	30.62	9.18	66.61	0.52	3.33	0.50	0	0	1
13	57.75	8.57	13.54	7.27	28.05	0.92	1.86	0.63	0	0	1
14	10.50	3.66	5.29	2.65	4.58	6.28	2.00	0.69	0	0	1
15	7097.82	95.06	139.02	66.74	351.80	0.72	2.08	0.68	1	0	0
16	2488.44	56.29	78.61	43.02	211.22	0.70	1.83	0.72	1	0	0
17	2488.44	56.29	74.11	48.11	216.36	0.67	1.54	0.76	0	0	1
18	2362.44	54.84	60.72	52.11	187.19	0.85	1.17	0.90	1	0	0
19	1039.47	36.38	56.77	24.59	139.47	0.67	2.31	0.64	0	1	0
20	1328.22	41.12	65.41	27.42	162.38	0.63	2.39	0.63	1	0	0
21	6824.83	93.22	99.82	88.69	319.95	0.84	1.13	0.93	1	0	0
22	5927.10	86.87	93.25	83.26	309.12	0.78	1.12	0.93	1	0	0
23	5990.10	87.33	134.59	58.74	330.36	0.69	2.29	0.65	0	0	1
24	4388.89	74.75	95.95	63.00	271.12	0.75	1.52	0.78	0	0	1
25	4919.12	79.14	87.56	73.26	272.46	0.83	1.20	0.90	1	0	0
26	908.23	34.01	41.15	30.04	115.44	0.86	1.37	0.83	0	0	1
27	12988.17	128.60	156.82	108.05	457.62	0.78	1.45	0.82	1	0	0
28	6914.07	93.83	100.43	89.13	325.41	0.82	1.13	0.93	1	0	0
29	15329.61	139.71	220.62	102.29	583.93	0.56	2.16	0.63	1	0	0
30	2388.69	55.15	62.33	51.75	193.21	0.80	1.20	0.88	1	0	0
31	1695.71	46.47	134.58	20.54	272.36	0.29	6.55	0.35	0	0	1
32	141.75	13.43	21.12	9.13	45.04	0.88	2.31	0.64	0	1	0

33	603.73	27.73	83.48	13.24	159.24	0.30	6.31	0.33	0	1	0
34	16747.07	146.02	159.11	136.44	516.31	0.79	1.17	0.92	1	0	0
35	698.23	29.82	37.42	26.89	108.73	0.74	1.39	0.80	0	1	0
36	3884.90	70.33	90.34	56.41	250.89	0.78	1.60	0.78	1	0	0
37	944.98	34.69	48.71	26.01	121.93	0.80	1.87	0.71	0	1	0
38	3428.16	66.07	74.07	64.23	245.52	0.71	1.15	0.89	0	1	0
39	15471.35	140.35	221.47	91.01	542.46	0.66	2.43	0.63	1	0	0
40	293.99	19.35	29.70	14.29	69.06	0.77	2.08	0.65	0	1	0
41	671.98	29.25	45.37	21.31	111.42	0.68	2.13	0.64	0	1	0
42	1774.45	47.53	57.99	40.30	167.29	0.80	1.44	0.82	1	0	0
43	14122.14	134.09	164.76	112.39	468.26	0.81	1.47	0.81	1	0	0
44	3816.65	69.71	85.95	58.38	246.86	0.79	1.47	0.81	1	0	0
45	4483.39	75.55	98.41	60.51	273.01	0.76	1.63	0.77	1	0	0
46	1212.72	39.29	52.73	34.35	150.30	0.67	1.54	0.75	0	1	0
47	9549.51	110.27	128.18	95.37	374.48	0.86	1.34	0.86	1	0	0
48	1795.45	47.81	67.21	38.11	183.40	0.67	1.76	0.71	0	1	0
49	4152.64	72.71	93.47	59.24	269.77	0.72	1.58	0.78	1	0	0
50	5381.11	82.77	91.92	76.95	292.36	0.79	1.19	0.90	1	0	0
51	776.98	31.45	37.52	28.82	108.73	0.83	1.30	0.84	1	0	0
52	9444.51	109.66	143.50	86.21	396.28	0.76	1.66	0.76	1	0	0
53	902.98	33.91	67.02	21.33	148.08	0.52	3.14	0.51	1	0	0
54	1506.71	43.80	50.85	38.63	148.63	0.86	1.32	0.86	1	0	0
55	2068.45	51.32	58.74	49.11	183.49	0.77	1.20	0.87	1	0	0
56	11402.71	120.49	163.80	92.78	447.57	0.72	1.77	0.74	1	0	0
57	724.48	30.37	37.80	25.63	103.04	0.86	1.47	0.80	1	0	0
58	6651.58	92.03	218.36	46.18	475.62	0.37	4.73	0.42	0	1	0
59	7754.05	99.36	109.24	92.36	350.69	0.79	1.18	0.91	1	0	0
60	288.74	19.17	22.00	17.94	61.24	0.97	1.23	0.87	0	1	0
61	1506.71	43.80	58.85	34.27	156.23	0.78	1.72	0.74	1	0	0
62	1490.96	43.57	68.31	28.92	163.72	0.70	2.36	0.64	1	0	0
63	9596.75	110.54	133.44	98.60	439.75	0.62	1.35	0.83	1	0	0
64	1312.47	40.88	51.97	33.12	141.60	0.82	1.57	0.79	1	0	0
65	9376.26	109.26	140.26	88.25	404.75	0.72	1.59	0.78	1	0	0
66	8851.27	106.16	127.34	90.30	368.33	0.82	1.41	0.83	1	0	0
67	719.23	30.26	40.28	24.32	103.60	0.84	1.66	0.75	1	0	0
68	8956.27	106.79	181.73	70.26	458.54	0.54	2.59	0.59	0	0	1
69	2262.69	53.67	71.89	42.89	202.15	0.70	1.68	0.75	1	0	0
70	13282.16	130.04	196.41	88.84	500.30	0.67	2.21	0.66	1	0	0

71	220.49	16.76	31.70	14.26	76.89	0.47	2.22	0.53	0	1	0
72	20127.99	160.09	168.41	153.46	547.37	0.84	1.10	0.95	1	0	0
73	1553.96	44.48	75.87	28.49	182.61	0.59	2.66	0.59	0	1	0
74	650.98	28.79	52.99	17.15	119.24	0.58	3.09	0.54	0	1	0
75	1007.97	35.82	50.06	29.35	134.33	0.70	1.71	0.72	0	1	0
76	23482.65	172.91	272.59	154.18	976.05	0.31	1.77	0.63	0	1	0
77	1286.22	40.47	53.65	31.58	144.05	0.78	1.70	0.75	1	0	0
78	3932.15	70.76	89.93	62.90	285.65	0.61	1.43	0.79	0	1	0
79	5522.86	83.86	103.91	70.75	300.28	0.77	1.47	0.81	1	0	0
80	1837.45	48.37	165.17	17.93	334.62	0.21	9.21	0.29	0	0	1
81	2099.95	51.71	56.73	49.36	180.16	0.81	1.15	0.91	1	0	0
82	4583.13	76.39	93.51	66.03	284.40	0.71	1.42	0.82	1	0	0
83	7376.06	96.91	113.30	85.12	342.08	0.79	1.33	0.86	1	0	0
84	971.23	35.17	41.86	32.67	129.52	0.73	1.28	0.84	1	0	0
85	7008.57	94.46	107.37	88.81	342.40	0.75	1.21	0.88	1	0	0
86	1606.46	45.23	75.99	38.32	212.88	0.45	1.98	0.60	0	1	0
87	1307.22	40.80	42.99	39.26	133.54	0.92	1.09	0.95	1	0	0
88	8961.52	106.82	127.15	90.60	372.58	0.81	1.40	0.84	1	0	0
89	17356.06	148.66	311.24	80.58	780.48	0.36	3.86	0.48	0	1	0
90	6299.84	89.56	120.53	69.95	335.04	0.71	1.72	0.74	0	1	0
91	8205.54	102.21	153.55	71.85	394.06	0.66	2.14	0.67	0	0	1
92	1191.72	38.95	46.03	34.36	133.54	0.84	1.34	0.85	0	1	0
93	5428.36	83.14	112.51	63.02	299.40	0.76	1.79	0.74	1	0	0
94	377.99	21.94	49.43	13.48	108.73	0.40	3.67	0.44	0	1	0
95	19666.00	158.24	170.21	148.77	571.39	0.76	1.14	0.93	1	0	0
96	7974.55	100.76	113.00	92.65	356.15	0.79	1.22	0.89	1	0	0
97	6961.32	94.15	111.56	92.04	364.43	0.66	1.21	0.84	0	1	0
98	8636.03	104.86	116.42	96.55	371.70	0.79	1.21	0.90	1	0	0
99	7213.32	95.83	179.13	56.28	432.38	0.48	3.18	0.53	0	1	0
100	435.74	23.55	27.80	21.16	78.23	0.89	1.31	0.85	0	1	0
101	9675.50	110.99	116.82	107.03	382.30	0.83	1.09	0.95	1	0	0
102	1916.20	49.39	78.93	33.94	197.70	0.62	2.33	0.63	0	1	0
103	4126.39	72.48	82.21	65.62	253.90	0.80	1.25	0.88	1	0	0
104	6929.82	93.93	116.03	86.12	360.41	0.67	1.35	0.81	1	0	0
105	7549.31	98.04	209.06	48.48	470.06	0.43	4.31	0.47	0	0	1
106	6966.57	94.18	131.46	69.16	353.70	0.70	1.90	0.72	1	0	0
107	10405.23	115.10	159.43	85.71	435.40	0.69	1.86	0.72	1	0	0
108	8053.29	101.26	115.78	90.84	354.02	0.81	1.27	0.87	1	0	0

109	614.23	27.97	57.54	14.87	121.69	0.52	3.87		0.49	0	1	0
110	2399.19	55.27	84.60	42.56	228.20	0.58	1.99		0.65	0	1	0
111	16794.32	146.23	185.04	118.31	531.72	0.75	1.56		0.79	1	0	0
112	467.24	24.39	28.01	22.26	78.78	0.95	1.26		0.87	0	1	0
113	913.48	34.10	92.14	14.76	205.75	0.27	6.24		0.37	0	0	1
114	14279.63	134.84	164.47	111.84	473.40	0.80	1.47		0.82	1	0	0
115	11759.70	122.36	136.48	118.03	459.42	0.70	1.16		0.90	1	0	0
116	1475.21	43.34	53.14	37.50	158.91	0.73	1.42		0.82	1	0	0
117	388.49	22.24	29.10	18.93	76.33	0.84	1.54		0.76	0	1	0
118	5223.62	81.55	111.19	63.25	308.10	0.69	1.76		0.73	1	0	0
119	593.23	27.48	31.17	25.68	91.19	0.90	1.21		0.88	0	1	0
120	17881.04	150.89	302.31	77.72	708.31	0.45	3.89		0.50	1	0	0
121	1496.21	43.65	46.96	41.71	146.18	0.88	1.13		0.93	1	0	0
122	5186.87	81.27	99.07	68.56	290.00	0.78	1.44		0.82	1	0	0
123	1196.97	39.04	55.60	32.32	152.43	0.65	1.72		0.70	1	0	0
124	12342.43	125.36	138.73	116.96	453.26	0.75	1.19		0.90	1	0	0
125	1049.97	36.56	47.84	30.98	134.10	0.73	1.54		0.76	1	0	0
126	467.24	24.39	29.49	22.41	83.37	0.84	1.32		0.83	0	1	0
127	545.99	26.37	35.98	24.48	103.04	0.65	1.47		0.73	0	1	0
128	13623.40	131.70	158.48	113.47	487.57	0.72	1.40		0.83	1	0	0
129	5396.86	82.89	99.54	69.96	286.53	0.83	1.42		0.83	1	0	0
130	556.49	26.62	38.36	19.68	93.64	0.80	1.95		0.69	0	1	0
131	14925.37	137.85	144.44	139.88	495.85	0.76	1.03		0.95	1	0	0
132	3407.16	65.86	90.01	50.08	236.58	0.76	1.80		0.73	1	0	0
133	7591.31	98.31	109.00	89.70	335.92	0.85	1.22		0.90	1	0	0
134	11539.20	121.21	152.18	99.35	444.79	0.73	1.53		0.80	1	0	0
135	12284.69	125.07	231.29	73.82	591.20	0.44	3.13		0.54	1	0	0
136	2414.94	55.45	68.98	49.83	222.28	0.61	1.38		0.80	1	0	0
137	1396.46	42.17	75.30	26.12	184.18	0.52	2.88		0.56	0	1	0
138	7769.80	99.46	140.45	71.66	359.06	0.76	1.96		0.71	1	0	0
139	1091.97	37.29	58.91	24.87	140.58	0.69	2.37		0.63	0	1	0
140	2777.18	59.46	79.29	48.51	218.25	0.73	1.63		0.75	0	1	0
141	1653.71	45.89	112.74	20.16	234.59	0.38	5.59		0.41	0	0	1
142	1207.47	39.21	46.42	34.85	137.90	0.80	1.33		0.84	0	1	0
143	6294.59	89.52	98.44	86.11	318.84	0.78	1.14		0.91	1	0	0
144	8972.02	106.88	120.19	96.73	377.39	0.79	1.24		0.89	1	0	0
145	2798.18	59.69	118.09	36.86	312.59	0.36	3.20		0.51	0	0	1
146	3050.17	62.32	91.64	50.22	256.26	0.58	1.82		0.68	0	1	0

147	7691.05	98.96	123.84	80.68	351.57	0.78	1.53	0.80	1	0	0
148	3428.16	66.07	90.32	52.65	263.85	0.62	1.72	0.73	1	0	0
149	7103.07	95.10	134.52	70.10	352.91	0.72	1.92	0.71	1	0	0
150	561.74	26.74	46.57	17.40	104.15	0.65	2.68	0.57	0	1	0
151	8557.28	104.38	134.22	82.35	376.28	0.76	1.63	0.78	1	0	0
152	2320.44	54.36	74.31	41.33	191.45	0.80	1.80	0.73	1	0	0
153	2325.69	54.42	82.05	36.97	200.94	0.72	2.22	0.66	1	0	0
154	892.48	33.71	75.13	18.68	156.46	0.46	4.02	0.45	0	1	0
155	28092.03	189.12	245.30	155.55	737.57	0.65	1.58	0.77	1	0	0
156	12725.67	127.29	157.15	105.70	452.15	0.78	1.49	0.81	1	0	0
157	11455.21	120.77	159.38	98.93	472.71	0.64	1.61	0.76	1	0	0
158	16111.84	143.23	169.64	123.32	504.46	0.80	1.38	0.84	1	0	0
159	225.74	16.95	25.15	12.46	57.44	0.86	2.02	0.67	0	1	0
160	8489.03	103.96	112.33	101.45	426.00	0.59	1.11	0.93	1	0	0
161	168.00	14.63	84.66	2.65	142.06	0.10	32.00	0.17	0	0	1
162	8704.28	105.27	119.67	93.57	362.86	0.83	1.28	0.88	1	0	0
163	8504.78	104.06	148.16	78.09	395.49	0.68	1.90	0.70	1	0	0
164	2530.44	56.76	67.03	50.48	194.78	0.84	1.33	0.85	1	0	0
165	456.74	24.12	30.95	20.32	82.81	0.84	1.52	0.78	0	1	0
166	8798.78	105.84	129.27	88.15	378.51	0.77	1.47	0.82	1	0	0
167	20757.97	162.57	188.90	142.73	583.34	0.77	1.32	0.86	1	0	0
168	335.99	20.68	52.26	13.47	108.73	0.36	3.88	0.40	0	1	0
169	3816.65	69.71	90.81	54.25	244.41	0.80	1.67	0.77	1	0	0
170	7895.80	100.27	129.78	78.49	355.82	0.78	1.65	0.77	1	0	0
171	11365.96	120.30	181.26	82.38	479.32	0.62	2.20	0.66	1	0	0
172	10.50	3.66	5.29	2.65	4.58	6.28	2.00	0.69	0	0	1
173	12473.68	126.02	162.41	99.41	441.55	0.80	1.63	0.78	1	0	0
174	9455.01	109.72	135.23	90.43	389.01	0.79	1.50	0.81	1	0	0
175	84.00	10.34	29.12	4.64	52.31	0.39	6.27	0.36	0	0	1
176	645.73	28.67	50.47	18.10	120.03	0.56	2.79	0.57	0	0	1
177	635.23	28.44	49.94	17.33	112.99	0.63	2.88	0.57	0	1	0
178	10347.49	114.78	204.98	77.74	559.45	0.42	2.64	0.56	1	0	0
179	351.74	21.16	23.56	20.90	69.06	0.93	1.13	0.90	0	1	0
180	12536.68	126.34	149.92	112.16	475.39	0.70	1.34	0.84	1	0	0
181	7628.05	98.55	122.04	83.14	352.91	0.77	1.47	0.81	1	0	0
182	16138.09	143.34	158.10	131.36	500.20	0.81	1.20	0.91	1	0	0
183	1039.47	36.38	51.39	28.51	144.61	0.62	1.80	0.71	0	1	0
184	524.99	25.85	41.48	17.62	97.90	0.69	2.35	0.62	0	1	0

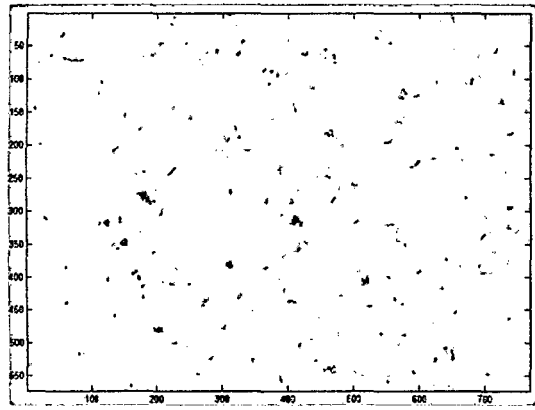
185	3501.66	66.77	75.79	60.64	231.54	0.82	1.25		0.88	1	0	0
186	1847.95	48.51	64.25	39.01	174.79	0.76	1.65		0.76	1	0	0
187	42.00	7.31	20.36	4.11	32.63	0.50	4.96		0.36	0	1	0
188	7087.32	94.99	107.43	86.73	333.56	0.80	1.24		0.88	1	0	0
189	8200.29	102.18	118.65	89.44	358.28	0.80	1.33		0.86	1	0	0
190	278.24	18.82	25.67	16.11	67.17	0.78	1.59		0.73	0	1	0
191	341.24	20.84	33.14	15.06	76.33	0.74	2.20		0.63	0	1	0
192	11843.70	122.80	155.24	99.16	443.31	0.76	1.57		0.79	1	0	0
193	11775.45	122.45	138.39	111.33	423.55	0.82	1.24		0.88	1	0	0
194	9665.00	110.93	230.47	58.86	517.65	0.45	3.92		0.48	1	0	0
195	929.23	34.40	91.52	14.87	208.44	0.27	6.15		0.38	0	0	1
196	6410.09	90.34	109.59	78.38	321.85	0.78	1.40		0.82	1	0	0
197	6809.08	93.11	100.47	89.72	326.43	0.80	1.12		0.93	1	0	0
198	3890.15	70.38	75.43	70.08	254.13	0.76	1.08		0.93	1	0	0
199	314.99	20.03	24.63	18.32	69.85	0.81	1.34		0.81	0	1	0
200	9197.76	108.22	169.44	69.98	418.64	0.66	2.42		0.64	1	0	0
201	215.24	16.55	22.82	13.70	57.44	0.82	1.67		0.73	0	1	0
202	17870.54	150.84	202.28	114.69	553.62	0.73	1.76		0.75	1	0	0
203	1007.97	35.82	77.69	21.95	179.60	0.39	3.54		0.46	0	0	1
204	10237.24	114.17	122.03	109.15	396.28	0.82	1.12		0.94	1	0	0
205	2766.68	59.35	77.15	48.25	221.72	0.71	1.60		0.77	1	0	0
206	6247.34	89.19	106.93	76.88	312.13	0.81	1.39		0.83	1	0	0
207	10142.74	113.64	142.64	91.18	393.60	0.82	1.56		0.80	1	0	0
208	1816.45	48.09	70.97	36.02	186.96	0.65	1.97		0.68	1	0	0
209	15723.35	141.49	161.03	125.44	489.92	0.82	1.28		0.88	1	0	0
210	15130.11	138.80	162.45	120.93	485.25	0.81	1.34		0.85	1	0	0
211	6777.58	92.89	106.05	83.66	325.64	0.80	1.27		0.88	1	0	0
212	824.23	32.40	71.80	22.98	174.00	0.34	3.13		0.45	0	1	0
213	656.23	28.91	43.51	22.64	121.14	0.56	1.92		0.66	0	1	0
214	2378.19	55.03	63.31	52.24	212.23	0.66	1.21		0.87	1	0	0
215	955.48	34.88	48.15	34.03	155.11	0.50	1.41		0.72	0	1	0
216	5769.60	85.71	104.96	75.75	359.06	0.56	1.39		0.82	1	0	0
217	18941.52	155.30	188.11	130.73	563.80	0.75	1.44		0.83	1	0	0
218	7738.30	99.26	211.01	51.84	479.23	0.42	4.07		0.47	0	0	1
219	881.98	33.51	101.30	12.91	199.27	0.28	7.84		0.33	0	0	1
220	692.98	29.70	49.64	19.51	122.48	0.58	2.54		0.60	0	1	0
221	3291.67	64.74	98.06	44.01	242.51	0.70	2.23		0.66	1	0	0
222	6882.57	93.61	109.24	81.82	318.28	0.85	1.34		0.86	1	0	0

223	3884.90	70.33	99.03	50.75	255.80	0.75	1.95	0.71	1	0	0
224	624.73	28.20	39.14	24.35	107.07	0.68	1.61	0.72	0	1	0
225	11927.70	123.23	140.61	109.12	429.47	0.81	1.29	0.88	1	0	0
226	498.74	25.20	44.47	20.30	114.66	0.48	2.19	0.57	0	1	0
227	2630.18	57.87	76.19	44.74	201.50	0.81	1.70	0.76	1	0	0
228	3443.91	66.22	110.18	42.85	274.36	0.57	2.57	0.60	1	0	0
229	4467.64	75.42	100.66	58.07	270.88	0.77	1.73	0.75	1	0	0
230	13192.91	129.61	173.58	98.68	476.73	0.73	1.76	0.75	1	0	0
231	2582.93	57.35	93.62	37.52	231.45	0.61	2.50	0.61	1	0	0
232	1690.46	46.39	93.43	27.64	216.59	0.45	3.38	0.50	0	1	0
233	6677.83	92.21	107.71	85.06	346.75	0.70	1.27	0.86	1	0	0
234	3774.65	69.33	110.27	45.34	269.22	0.65	2.43	0.63	1	0	0
235	6021.60	87.56	98.69	81.38	311.67	0.78	1.21	0.89	1	0	0
236	540.74	26.24	33.73	23.89	93.32	0.78	1.41	0.78	0	1	0
237	6704.08	92.39	103.72	84.41	316.94	0.84	1.23	0.89	1	0	0
238	1133.97	38.00	48.01	30.88	125.72	0.90	1.55	0.79	1	0	0
239	26196.83	182.63	371.08	109.52	1073.40	0.29	3.39	0.49	0	1	0
240	69035.73	296.48	614.20	276.35	1876.03	0.25	2.22	0.48	0	0	1
241	4010.90	71.46	137.95	43.97	345.55	0.42	3.14	0.52	1	0	0
242	519.74	25.72	31.89	24.28	99.24	0.66	1.31	0.81	0	1	0
243	9313.26	108.89	117.64	103.03	387.67	0.78	1.14	0.93	1	0	0
244	2073.70	51.38	171.48	20.93	334.02	0.23	8.19	0.30	0	1	0
245	4714.38	77.48	108.20	56.93	282.50	0.74	1.90	0.72	1	0	0
246	4210.39	73.22	82.85	66.60	251.77	0.83	1.24	0.88	1	0	0
247	8368.29	103.22	112.15	96.83	359.95	0.81	1.16	0.92	1	0	0
248	299.24	19.52	25.33	19.09	71.75	0.73	1.33	0.77	0	1	0
249	7523.06	97.87	102.61	95.92	342.63	0.81	1.07	0.95	1	0	0
250	7355.06	96.77	138.08	70.67	366.10	0.69	1.95	0.70	1	0	0
251	472.49	24.53	30.43	21.29	82.26	0.88	1.43	0.81	0	1	0
252	3281.17	64.64	70.56	60.34	218.02	0.87	1.17	0.92	1	0	0
253	16237.83	143.79	154.90	134.95	500.43	0.81	1.15	0.93	1	0	0
254	8762.03	105.62	121.79	93.34	366.20	0.82	1.30	0.87	1	0	0
255	9848.75	111.98	200.12	82.08	572.51	0.38	2.44	0.56	0	1	0
256	241.49	17.54	26.31	16.02	71.75	0.59	1.64	0.67	0	1	0
257	1270.47	40.22	191.38	15.17	329.81	0.15	12.61	0.21	0	0	1
258	157.50	14.16	25.45	9.43	54.76	0.66	2.70	0.56	0	1	0
259	4625.13	76.74	121.32	49.81	292.36	0.68	2.44	0.63	1	0	0
260	1112.97	37.64	48.36	31.62	136.00	0.76	1.53	0.78	1	0	0

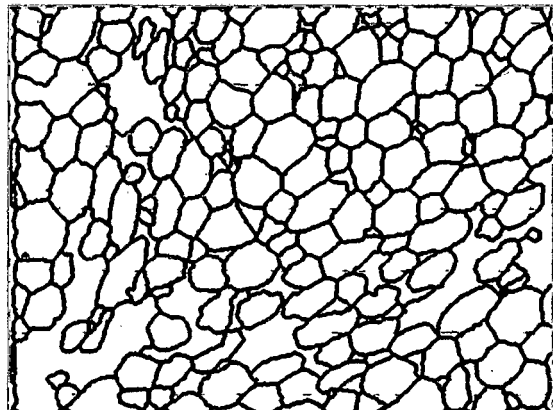
261	10945.97	118.05	120.92	118.47	422.76	0.77	1.02	0.98	1	0	0
262	5239.37	81.68	99.48	69.19	284.08	0.82	1.44	0.82	1	0	0
263	356.99	21.32	47.10	20.05	124.61	0.29	2.35	0.45	0	1	0
264	4593.63	76.48	93.24	64.88	270.33	0.79	1.44	0.82	1	0	0
265	1443.71	42.87	49.11	38.01	141.92	0.90	1.29	0.87	1	0	0
266	2845.43	60.19	86.57	42.53	218.02	0.75	2.04	0.70	1	0	0
267	11533.96	121.18	125.00	118.30	405.77	0.88	1.06	0.97	1	0	0
268	698.23	29.82	46.70	20.86	111.97	0.70	2.24	0.64	0	1	0
269	13597.15	131.58	195.98	112.36	624.26	0.44	1.74	0.67	0	1	0
270	21765.94	166.47	345.50	104.71	960.41	0.30	3.30	0.48	0	1	0
271	3470.16	66.47	79.13	56.97	229.09	0.83	1.39	0.84	1	0	0
272	4572.63	76.30	86.54	70.32	273.57	0.77	1.23	0.88	1	0	0
273	7050.57	94.75	132.94	72.04	368.23	0.65	1.85	0.71	1	0	0
274	5580.61	84.29	109.55	67.77	303.75	0.76	1.62	0.77	1	0	0
275	1979.20	50.20	56.46	45.83	169.19	0.87	1.23	0.89	1	0	0
276	708.73	30.04	42.30	23.08	109.52	0.74	1.83	0.71	1	0	0
277	4630.38	76.78	98.71	60.40	267.64	0.81	1.63	0.78	1	0	0
278	1779.70	47.60	55.88	41.11	159.14	0.88	1.36	0.85	1	0	0
279	4409.89	74.93	87.40	65.25	256.81	0.84	1.34	0.86	1	0	0
280	28958.26	192.02	238.70	179.89	877.04	0.47	1.33	0.80	0	1	0
281	687.73	29.59	36.61	26.77	104.94	0.78	1.37	0.81	0	1	0
282	2966.17	61.45	68.08	59.65	218.81	0.78	1.14	0.90	1	0	0
283	17860.04	150.80	246.47	176.67	966.98	0.24	1.40	0.61	0	1	0
284	2435.94	55.69	71.29	45.34	208.53	0.70	1.57	0.78	1	0	0
285	11213.71	119.49	166.55	87.38	436.18	0.74	1.91	0.72	1	0	0
286	4604.13	76.56	89.10	67.68	265.42	0.82	1.32	0.86	1	0	0
287	1401.71	42.25	173.13	14.94	310.36	0.18	11.59	0.24	0	0	1
288	22017.94	167.43	202.65	149.35	701.93	0.56	1.36	0.83	0	1	0
289	1160.22	38.43	44.19	34.11	128.41	0.88	1.30	0.87	1	0	0
290	7029.57	94.61	124.16	75.34	346.10	0.74	1.65	0.76	1	0	0
291	6404.84	90.30	163.62	71.26	489.92	0.34	2.30	0.55	0	1	0
292	12484.18	126.08	156.28	102.23	442.99	0.80	1.53	0.81	1	0	0
293	5559.61	84.14	98.05	73.70	290.88	0.83	1.33	0.86	1	0	0
294	524.99	25.85	33.70	21.20	88.51	0.84	1.59	0.77	0	1	0
295	6788.08	92.97	99.44	90.66	322.73	0.82	1.10	0.93	1	0	0
296	7129.32	95.28	130.08	72.00	352.03	0.72	1.81	0.73	1	0	0
297	12846.42	127.89	156.23	118.65	498.21	0.65	1.32	0.82	0	0	1
298	2845.43	60.19	122.16	37.60	291.02	0.42	3.25	0.49	0	1	0

299	304.49	19.69	35.14	12.71	79.57	0.60	2.76		0.56	0	1	0
300	8804.02	105.88	112.74	102.22	361.29	0.85	1.10		0.94	1	0	0
301	11182.21	119.32	155.32	93.77	418.08	0.80	1.66		0.77	1	0	0
302	3963.65	71.04	88.43	61.03	269.22	0.69	1.45		0.80	1	0	0
303	4698.63	77.35	122.65	54.83	356.84	0.46	2.24		0.63	0	0	1
304	377.99	21.94	38.98	14.31	91.98	0.56	2.72		0.56	0	0	1
305	230.99	17.15	23.55	16.92	67.17	0.64	1.39		0.73	0	1	0
306	267.74	18.46	33.58	10.66	69.85	0.69	3.15		0.55	0	1	0
307	1280.97	40.39	64.95	27.69	159.14	0.64	2.35		0.62	0	0	1
308	566.99	26.87	60.37	13.56	129.98	0.42	4.45		0.45	0	0	1
309	115.50	12.13	22.89	7.25	46.38	0.67	3.16		0.53	0	0	1

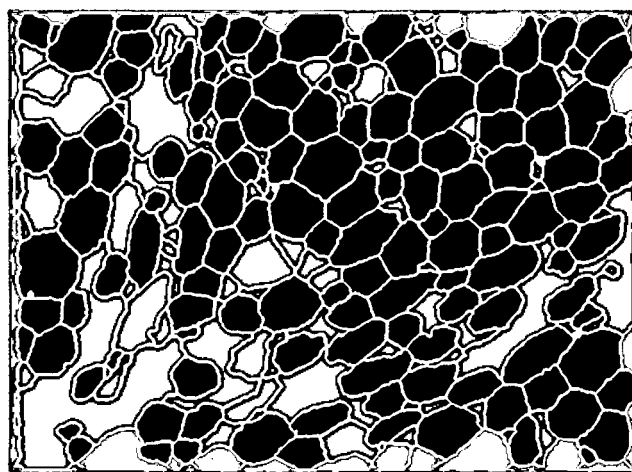
Código: E9-11



a)



b)



c)

Figura A2. a) Imagen Original b) Imagen procesada c)Imagen segmentada y clasificada

Tabla A2. Parámetros de tamaño y forma y clasificación de elementos en micrografía E9-11a

Núm.	Área	Deq	Ejemay	Ejemen	Per	Red	Elg	Comp	Célula	Espint	Elem No Rec
1	472.49	24.53	106.81	9.63	180.94	0.18	11.09	0.23	0	0	1
2	126.00	12.67	45.75	4.53	84.38	0.22	10.11	0.28	0	0	1
3	829.48	32.50	88.35	14.35	201.17	0.26	6.16	0.37	0	0	1
4	971.23	35.17	100.26	14.63	224.08	0.24	6.85	0.35	0	0	1
5	409.49	22.83	55.37	11.42	122.16	0.34	4.85	0.41	0	0	1
6	21.00	5.17	10.58	2.65	13.75	1.40	4.00	0.49	0	0	1
7	267.74	18.46	50.04	8.73	103.83	0.31	5.73	0.37	0	0	1
8	78.75	10.01	39.69	2.65	64.16	0.24	15.00	0.25	0	0	1
9	477.74	24.66	131.33	8.15	234.03	0.11	16.11	0.19	0	0	1
10	1170.72	38.61	180.45	13.56	402.01	0.09	13.30	0.21	0	0	1
11	10.50	3.66	5.29	2.65	4.58	6.28	2.00	0.69	0	0	1
12	94.50	10.97	19.78	7.21	40.46	0.73	2.74	0.55	0	0	1
13	42.00	7.31	21.17	2.65	32.08	0.51	8.00	0.35	0	0	1
14	131.25	12.93	37.63	6.54	72.53	0.31	5.75	0.34	0	0	1
15	21.00	5.17	10.58	2.65	13.75	1.40	4.00	0.49	0	0	1
16	26.25	5.78	13.23	2.65	18.33	0.98	5.00	0.44	0	0	1
17	724.48	30.37	103.06	12.40	198.49	0.23	8.31	0.29	0	0	1
18	10.50	3.66	5.29	2.65	4.58	6.28	2.00	0.69	0	0	1
19	21.00	5.17	10.58	2.65	13.75	1.40	4.00	0.49	1	0	0
20	955.48	34.88	78.92	16.94	165.85	0.44	4.66	0.44	0	1	0
21	125681.79	400.03	648.32	385.88	2632.00	0.23	1.68	0.62	0	1	0
22	15.75	4.48	7.94	2.65	9.17	2.36	3.00	0.56	0	0	1
23	4714.38	77.48	87.73	77.64	301.62	0.65	1.13	0.88	1	0	0
24	25776.84	181.16	266.19	150.21	801.82	0.50	1.77	0.68	0	1	0
25	12547.18	126.39	149.24	108.97	454.51	0.76	1.37	0.85	1	0	0
26	1616.96	45.37	86.23	27.42	199.60	0.51	3.14	0.53	1	0	0
27	25666.59	180.78	195.86	169.58	623.14	0.83	1.15	0.92	1	0	0
28	2992.42	61.73	113.97	36.90	265.42	0.53	3.09	0.54	1	0	0
29	1968.70	50.07	65.93	40.39	179.93	0.76	1.63	0.76	1	0	0
30	6252.59	89.22	101.10	81.99	315.60	0.79	1.23	0.88	1	0	0

31	14641.88	136.54	173.48	111.88	533.07	0.65	1.55		0.79	1	0	0
32	8993.02	107.01	115.40	101.91	373.60	0.81	1.13		0.93	1	0	0
33	8678.03	105.12	118.33	96.61	369.90	0.80	1.22		0.89	1	0	0
34	13723.15	132.18	155.38	113.55	461.32	0.81	1.37		0.85	1	0	0
35	68.25	9.32	18.66	5.15	33.98	0.74	3.62		0.50	0	0	1
36	21886.69	166.93	205.24	138.91	595.65	0.78	1.48		0.81	1	0	0
37	14673.37	136.68	170.59	111.65	484.56	0.79	1.53		0.80	1	0	0
38	1107.72	37.56	55.15	26.74	132.99	0.79	2.06		0.68	0	0	1
39	971.23	35.17	60.60	21.47	137.01	0.65	2.82		0.58	0	1	0
40	1900.45	49.19	60.22	42.73	176.45	0.77	1.41		0.82	1	0	0
41	20007.24	159.61	193.66	133.43	570.93	0.77	1.45		0.82	1	0	0
42	5517.61	83.82	107.02	66.55	297.82	0.78	1.61		0.78	1	0	0
43	3328.41	65.10	72.88	60.61	223.72	0.84	1.20		0.89	1	0	0
44	619.48	28.08	40.44	20.76	100.59	0.77	1.95		0.69	0	1	0
45	241.49	17.54	34.47	10.05	74.43	0.55	3.43		0.51	0	0	1
46	13691.65	132.03	178.43	103.06	498.76	0.69	1.73		0.74	1	0	0
47	8772.53	105.69	125.78	90.66	366.20	0.82	1.39		0.84	1	0	0
48	11969.69	123.45	152.27	101.66	432.71	0.80	1.50		0.81	1	0	0
49	10132.24	113.58	157.70	105.78	540.66	0.44	1.49		0.72	0	1	0
50	887.23	33.61	40.01	29.49	109.52	0.93	1.36		0.84	0	1	0
51	1721.96	46.82	87.13	26.40	198.03	0.55	3.30		0.54	1	0	0
52	12211.19	124.69	218.20	76.83	572.97	0.47	2.84		0.57	1	0	0
53	876.73	33.41	41.81	27.90	112.76	0.87	1.50		0.80	0	1	0
54	19298.51	156.75	261.69	96.50	669.29	0.54	2.71		0.60	1	0	0
55	15.75	4.48	7.94	2.65	9.17	2.36	3.00		0.56	0	0	1
56	4493.89	75.64	116.59	50.57	285.88	0.69	2.31		0.65	1	0	0
57	582.74	27.24	36.39	23.75	100.91	0.72	1.53		0.75	0	1	0
58	8205.54	102.21	109.18	97.27	346.66	0.86	1.12		0.94	1	0	0
59	776.98	31.45	36.80	27.66	101.14	0.95	1.33		0.85	0	1	0
60	36460.32	215.46	307.77	215.36	1615.03	0.18	1.43		0.70	0	1	0
61	1170.72	38.61	48.29	33.58	138.91	0.76	1.44		0.80	0	1	0
62	897.73	33.81	40.05	29.37	114.10	0.87	1.36		0.84	0	1	0
63	11654.70	121.82	263.36	89.03	760.71	0.25	2.96		0.46	0	1	0
64	14930.62	137.88	221.53	86.77	556.76	0.61	2.55		0.62	1	0	0
65	11549.70	121.27	138.15	107.67	418.18	0.83	1.28		0.88	1	0	0

66	603.73	27.73	100.87	14.50	196.59	0.20	6.96	0.27	0	0	1
67	383.24	22.09	31.34	17.79	79.01	0.77	1.76	0.70	0	1	0
68	3186.67	63.70	94.00	55.98	284.31	0.50	1.68	0.68	1	0	0
69	2252.19	53.55	60.69	48.34	178.81	0.89	1.26	0.88	1	0	0
70	698.23	29.82	38.25	24.10	98.46	0.91	1.59	0.78	1	0	0
71	8888.02	106.38	227.23	119.24	808.67	0.17	1.91	0.47	0	1	0
72	3323.17	65.05	99.37	47.84	266.53	0.59	2.08	0.65	1	0	0
73	493.49	25.07	31.35	20.38	78.78	1.00	1.54	0.80	1	0	0
74	7664.80	98.79	110.71	88.51	328.33	0.89	1.25	0.89	1	0	0
75	3764.15	69.23	146.62	52.55	382.76	0.32	2.79	0.47	0	1	0
76	3795.65	69.52	124.39	42.97	299.72	0.53	2.89	0.56	1	0	0
77	3396.66	65.76	88.43	51.60	239.82	0.74	1.71	0.74	1	0	0
78	27598.54	187.46	318.98	215.30	1380.94	0.18	1.48	0.59	0	1	0
79	8142.54	101.82	167.91	65.33	418.08	0.59	2.57	0.61	1	0	0
80	9764.75	111.50	135.60	94.56	397.85	0.78	1.43	0.82	1	0	0
81	934.48	34.49	54.49	25.23	132.99	0.66	2.16	0.63	0	0	1
82	656.23	28.91	46.25	19.95	107.39	0.72	2.32	0.63	0	1	0
83	10872.47	117.66	130.48	108.43	407.90	0.82	1.20	0.90	1	0	0
84	1354.47	41.53	71.37	25.70	168.31	0.60	2.78	0.58	1	0	0
85	3396.66	65.76	74.46	59.13	226.08	0.84	1.26	0.88	1	0	0
86	11229.46	119.57	168.25	85.85	446.23	0.71	1.96	0.71	1	0	0
87	13255.91	129.92	202.96	88.53	525.80	0.60	2.29	0.64	1	0	0
88	13303.16	130.15	150.95	120.48	550.28	0.55	1.25	0.86	0	1	0
89	6835.33	93.29	110.65	82.77	333.93	0.77	1.34	0.84	1	0	0
90	6063.59	87.87	119.47	65.87	323.19	0.73	1.81	0.74	1	0	0
91	451.49	23.98	36.49	17.63	88.74	0.72	2.07	0.66	0	1	0
92	147.00	13.68	18.32	12.55	46.94	0.84	1.46	0.75	0	0	1
93	530.24	25.98	51.07	20.51	121.37	0.45	2.49	0.51	0	0	1
94	524.99	25.85	28.67	23.93	80.91	1.01	1.20	0.90	0	1	0
95	519.74	25.72	32.64	24.90	95.22	0.72	1.31	0.79	0	1	0
96	908.23	34.01	46.47	26.85	120.03	0.79	1.73	0.73	0	1	0
97	6011.10	87.48	133.23	62.01	335.60	0.67	2.15	0.66	1	0	0
98	5643.61	84.77	115.71	63.31	306.20	0.76	1.83	0.73	1	0	0
99	3953.15	70.95	92.68	55.35	252.23	0.78	1.67	0.77	1	0	0
100	15082.86	138.58	180.31	108.44	506.68	0.74	1.66	0.77	1	0	0

101	9087.52	107.57	132.84	88.25	382.30	0.78	1.51		1	0	0
102	9339.51	109.05	130.09	92.58	380.40	0.81	1.41	0.81	1	0	0
103	6740.83	92.64	110.73	79.18	326.99	0.79	1.40	0.84	1	0	0
104	892.48	33.71	57.62	23.51	146.51	0.52	2.45	0.84	0	1	0
105	1191.72	38.95	78.72	22.51	179.70	0.46	3.50	0.59	0	1	0
106	2435.94	55.69	67.36	48.94	196.13	0.80	1.38	0.49	1	0	0
107	372.74	21.79	31.36	17.49	79.01	0.75	1.79	0.83	0	1	0
108	9885.50	112.19	116.99	109.47	380.08	0.86	1.07	0.69	1	0	0
109	8672.78	105.08	205.65	60.88	474.05	0.48	3.38	0.96	1	0	0
110	8420.78	103.55	121.75	88.86	353.14	0.85	1.37	0.51	1	0	0
111	230.99	17.15	20.36	15.26	53.42	1.02	1.33	0.85	0	1	0
112	5249.87	81.76	87.61	78.72	296.81	0.75	1.11	0.84	1	0	0
113	1858.45	48.64	63.97	39.10	176.13	0.75	1.64	0.93	1	0	0
114	10237.24	114.17	157.35	91.47	458.08	0.61	1.72	0.76	1	0	0
115	603.73	27.73	50.52	16.63	109.19	0.64	3.04	0.73	0	1	0
116	17508.30	149.31	167.14	139.43	549.04	0.73	1.20	0.55	1	0	0
117	17513.55	149.33	175.26	129.24	531.26	0.78	1.36	0.89	1	0	0
118	21.00	5.17	10.58	2.65	13.75	1.40	4.00	0.85	0	0	1
119	8452.28	103.74	124.98	88.46	372.03	0.77	1.41	0.49	1	0	0
120	14557.88	136.15	145.98	130.78	479.42	0.80	1.12	0.83	1	0	0
121	1517.21	43.95	81.20	31.13	202.84	0.46	2.61	0.93	0	1	0
122	330.74	20.52	38.37	12.02	82.26	0.61	3.19	0.54	0	0	1
123	1637.96	45.67	86.43	35.14	215.01	0.45	2.46	0.53	0	1	0
124	1601.21	45.15	51.78	48.68	178.58	0.63	1.06	0.87	1	0	0
125	7197.57	95.73	133.55	71.19	359.62	0.70	1.88	0.72	1	0	0
126	451.49	23.98	41.51	15.26	93.87	0.64	2.72	0.58	0	1	0
127	89.25	10.66	12.99	9.36	29.39	1.30	1.39	0.82	0	1	0
128	147.00	13.68	32.31	6.66	63.37	0.46	4.85	0.42	0	0	1
129	14631.38	136.49	145.57	131.71	486.22	0.78	1.11	0.94	1	0	0
130	2346.69	54.66	95.54	37.45	242.28	0.50	2.55	0.57	0	1	0
131	446.24	23.84	29.69	19.96	77.12	0.94	1.49	0.80	0	0	1
132	19540.00	157.73	176.82	142.09	550.93	0.81	1.24	0.89	1	0	0
133	3076.42	62.59	85.19	50.91	247.65	0.63	1.67	0.73	1	0	0
134	55874.32	266.72	385.00	217.17	1675.07	0.25	1.77	0.69	0	1	0
135	10021.99	112.96	153.99	84.44	418.73	0.72	1.82	0.73	1	0	0

136	18101.54	151.81	157.10	150.42	532.51	0.80	1.04	0.97	1	0	0
137	1055.22	36.65	57.89	25.11	139.70	0.68	2.31	0.63	0	0	1
138	4131.64	72.53	101.17	61.87	292.46	0.61	1.64	0.72	1	0	0
139	10242.49	114.20	151.75	87.94	426.56	0.71	1.73	0.75	1	0	0
140	8861.77	106.22	127.42	90.23	367.44	0.82	1.41	0.83	1	0	0
141	19839.24	158.93	201.25	127.26	569.40	0.77	1.58	0.79	1	0	0
142	5522.86	83.86	129.66	89.71	471.36	0.31	1.45	0.65	0	1	0
143	14930.62	137.88	153.41	126.08	477.52	0.82	1.22	0.90	1	0	0
144	23199.16	171.87	195.06	153.49	610.37	0.78	1.27	0.88	1	0	0
145	4173.64	72.90	94.78	64.37	283.06	0.65	1.47	0.77	1	0	0
146	4929.62	79.22	91.65	72.40	288.66	0.74	1.27	0.86	1	0	0
147	6641.08	91.95	102.32	84.49	317.59	0.83	1.21	0.90	1	0	0
148	4194.64	73.08	99.17	55.85	266.30	0.74	1.78	0.74	1	0	0
149	147.00	13.68	32.57	8.71	69.85	0.38	3.74	0.42	0	0	1
150	1044.72	36.47	43.04	33.22	128.41	0.80	1.30	0.85	1	0	0
151	3627.66	67.96	88.27	53.83	246.07	0.75	1.64	0.77	1	0	0
152	477.74	24.66	27.91	22.90	78.78	0.97	1.22	0.88	0	1	0
153	14815.12	137.34	186.16	105.74	515.62	0.70	1.76	0.74	1	0	0
154	8767.28	105.65	126.91	90.47	375.59	0.78	1.40	0.83	1	0	0
155	13003.92	128.67	190.49	89.21	496.18	0.66	2.14	0.68	1	0	0
156	2425.44	55.57	80.36	40.80	210.43	0.69	1.97	0.69	1	0	0
157	18379.78	152.98	228.08	103.60	592.50	0.66	2.20	0.67	1	0	0
158	2210.19	53.05	83.77	46.93	247.65	0.45	1.78	0.63	0	1	0
159	3023.92	62.05	115.72	35.32	259.73	0.56	3.28	0.54	0	0	1
160	4173.64	72.90	76.51	71.22	253.57	0.82	1.07	0.95	1	0	0
161	7538.81	97.97	122.29	82.82	350.69	0.77	1.48	0.80	1	0	0
162	14379.38	135.31	221.90	84.46	551.95	0.59	2.63	0.61	1	0	0
163	9491.76	109.93	130.46	94.65	388.78	0.79	1.38	0.84	1	0	0
164	813.73	32.19	53.62	25.76	138.36	0.53	2.08	0.60	0	1	0
165	2861.18	60.36	81.34	49.86	223.62	0.72	1.63	0.74	1	0	0
166	2467.44	56.05	66.04	49.24	193.44	0.83	1.34	0.85	1	0	0
167	8342.04	103.06	122.32	89.83	374.94	0.75	1.36	0.84	1	0	0
168	12631.18	126.82	153.28	106.43	441.65	0.81	1.44	0.83	1	0	0
169	11066.72	118.70	182.10	89.41	484.23	0.59	2.04	0.65	1	0	0
170	1270.47	40.22	56.06	32.28	149.98	0.71	1.74	0.72	0	1	0

171	2945.17	61.24	119.87	37.98	313.24	0.38	3.16		0.51	0	1	0
172	7617.56	98.48	119.32	84.16	356.38	0.75	1.42		0.83	1	0	0
173	498.74	25.20	34.22	19.99	86.84	0.83	1.71		0.74	0	1	0
174	7764.55	99.43	177.54	57.62	420.07	0.55	3.08		0.56	1	0	0
175	13770.40	132.41	152.75	116.79	458.54	0.82	1.31		0.87	1	0	0
176	14599.88	136.34	214.16	90.20	557.65	0.59	2.37		0.64	1	0	0
177	31.50	6.33	9.17	5.07	15.65	1.62	1.81		0.69	0	0	1
178	5832.60	86.18	109.78	70.08	305.88	0.78	1.57		0.78	1	0	0
179	409.49	22.83	43.03	13.65	91.19	0.62	3.15		0.53	0	1	0
180	4635.63	76.83	88.08	68.46	273.24	0.78	1.29		0.87	1	0	0
181	829.48	32.50	49.04	24.52	125.72	0.66	2.00		0.66	0	1	0
182	2808.68	59.80	91.44	55.55	267.32	0.49	1.65		0.65	0	1	0
183	241.49	17.54	20.83	15.04	51.52	1.14	1.39		0.84	0	1	0
184	551.24	26.49	36.35	21.65	94.43	0.78	1.68		0.73	0	1	0
185	14678.62	136.71	163.28	116.34	486.45	0.78	1.40		0.84	1	0	0
186	346.49	21.00	30.11	19.18	80.91	0.67	1.57		0.70	0	1	0
187	787.48	31.66	46.86	23.89	119.47	0.69	1.96		0.68	0	1	0
188	6168.59	88.62	102.28	77.48	304.30	0.84	1.32		0.87	1	0	0
189	16080.34	143.09	161.11	128.62	496.18	0.82	1.25		0.89	1	0	0
190	2110.45	51.84	67.80	47.18	200.15	0.66	1.44		0.76	0	1	0
191	12457.93	125.94	156.85	103.71	456.74	0.75	1.51		0.80	1	0	0
192	12447.43	125.89	165.09	98.39	461.55	0.73	1.68		0.76	1	0	0
193	687.73	29.59	46.97	21.16	112.99	0.68	2.22		0.63	0	1	0
194	94.50	10.97	19.78	7.21	40.46	0.73	2.74		0.55	0	0	1
195	776.98	31.45	43.64	33.40	137.01	0.52	1.31		0.72	0	1	0
196	7108.32	95.13	134.17	84.74	443.54	0.45	1.58		0.71	0	1	0
197	22752.92	170.21	224.12	130.86	613.75	0.76	1.71		0.76	1	0	0
198	8746.28	105.53	144.75	79.56	398.97	0.69	1.82		0.73	1	0	0
199	577.49	27.12	48.50	20.98	121.37	0.49	2.31		0.56	0	1	0
200	3533.16	67.07	90.45	53.79	259.27	0.66	1.68		0.74	1	0	0
201	1023.72	36.10	60.20	22.49	137.01	0.69	2.68		0.60	1	0	0
202	15.75	4.48	7.94	2.65	9.17	2.36	3.00		0.56	0	0	1
203	18390.28	153.02	178.02	133.60	542.65	0.78	1.33		0.86	1	0	0
204	1249.47	39.89	49.16	36.37	148.08	0.72	1.35		0.81	0	1	0
205	4037.15	71.70	83.07	63.73	249.08	0.82	1.30		0.86	1	0	0

206	745.48	30.81	49.42	23.09	121.93	0.63	2.14		0.62	0	1	0
207	2063.20	51.25	91.07	30.32	206.63	0.61	3.00		0.56	0	1	0
208	12599.68	126.66	144.83	112.04	443.77	0.80	1.29		0.87	1	0	0
209	1181.22	38.78	41.36	38.53	136.78	0.79	1.07		0.94	0	1	0
210	15943.84	142.48	163.66	126.10	495.29	0.82	1.30		0.87	1	0	0
211	1821.70	48.16	99.30	30.57	235.80	0.41	3.25		0.49	0	1	0
212	3890.15	70.38	87.59	58.78	249.78	0.78	1.49		0.80	1	0	0
213	4252.39	73.58	88.42	64.01	267.32	0.75	1.38		0.83	1	0	0
214	3270.67	64.53	105.95	47.24	304.54	0.44	2.24		0.61	0	1	0
215	13707.40	132.11	188.33	106.72	552.18	0.56	1.76		0.70	0	0	1
216	17067.31	147.41	173.69	127.64	533.07	0.75	1.36		0.85	1	0	0
217	7365.56	96.84	127.40	75.58	343.97	0.78	1.69		0.76	1	0	0
218	2372.94	54.97	63.49	49.68	188.07	0.84	1.28		0.87	1	0	0
219	9817.25	111.80	161.58	78.19	417.16	0.71	2.07		0.69	1	0	0
220	4997.87	79.77	122.19	87.48	453.26	0.31	1.40		0.65	0	1	0
221	52.50	8.18	14.09	5.04	24.81	1.07	2.80		0.58	0	1	0
222	3748.40	69.08	81.69	66.08	253.34	0.73	1.24		0.85	0	1	0
223	35142.60	211.53	485.65	157.24	1552.12	0.18	3.09		0.44	0	1	0
224	9465.51	109.78	120.26	103.64	384.43	0.80	1.16		0.91	1	0	0
225	11465.71	120.82	166.39	92.68	449.60	0.71	1.80		0.73	1	0	0
226	17545.05	149.46	220.39	102.94	567.37	0.68	2.14		0.68	1	0	0
227	1895.20	49.12	81.43	43.55	223.07	0.48	1.87		0.60	0	1	0
228	11371.21	120.33	170.06	86.72	446.00	0.72	1.96		0.71	1	0	0
229	10504.98	115.65	166.96	81.97	443.54	0.67	2.04		0.69	1	0	0
230	1721.96	46.82	57.80	43.21	183.72	0.64	1.34		0.81	0	1	0
231	12190.19	124.58	147.77	106.93	433.73	0.81	1.38		0.84	1	0	0
232	11449.96	120.74	139.82	107.61	428.59	0.78	1.30		0.86	1	0	0
233	876.73	33.41	64.52	21.49	148.63	0.50	3.00		0.52	0	1	0
234	5612.11	84.53	96.52	76.28	291.57	0.83	1.27		0.88	1	0	0
235	16542.33	145.13	167.41	127.90	517.42	0.78	1.31		0.87	1	0	0
236	11449.96	120.74	145.69	100.72	421.88	0.81	1.45		0.83	1	0	0
237	11229.46	119.57	161.70	95.27	450.81	0.69	1.70		0.74	1	0	0
238	17828.54	150.67	235.64	97.06	587.13	0.65	2.43		0.64	1	0	0
239	698.23	29.82	37.51	28.19	109.52	0.73	1.33		0.79	0	1	0
240	14972.62	138.07	162.43	121.80	498.07	0.76	1.33		0.85	1	0	0

241	8352.54	103.13	142.63	76.69	376.28	0.74	1.86		1	0	0
242	393.74	22.39	102.29	8.30	174.46	0.16	12.33	0.72	0	0	1
243	14080.14	133.89	155.60	119.51	488.03	0.74	1.30	0.22	1	0	0
244	766.48	31.24	34.50	29.92	106.28	0.85	1.15	0.86	0	1	0
245	31.50	6.33	9.17	5.07	15.65	1.62	1.81	0.91	0	0	1
246	9990.49	112.78	131.71	99.51	407.44	0.76	1.32	0.69	1	0	0
247	12541.93	126.37	136.23	119.96	439.19	0.82	1.14	0.93	1	0	0
248	808.48	32.08	47.88	22.73	116.00	0.76	2.11	0.67	0	1	0
249	42.00	7.31	14.00	4.77	24.81	0.86	2.94	0.52	1	0	0
250	4320.64	74.17	157.56	50.31	401.42	0.34	3.13	0.47	0	1	0
251	766.48	31.24	47.75	24.14	121.93	0.65	1.98	0.65	0	1	0
252	10462.98	115.42	154.45	87.79	418.41	0.75	1.76	0.75	1	0	0
253	461.99	24.25	42.80	16.60	107.62	0.50	2.58	0.57	0	0	1
254	14557.88	136.15	170.00	112.53	495.29	0.75	1.51	0.80	1	0	0
255	8310.54	102.87	203.21	83.96	585.51	0.30	2.42	0.51	0	0	1
256	3559.41	67.32	74.42	64.34	243.62	0.75	1.16	0.90	1	0	0
257	9932.75	112.46	170.63	76.88	433.82	0.66	2.22	0.66	1	0	0
258	15308.61	139.61	161.29	121.68	478.63	0.84	1.33	0.87	1	0	0
259	3333.66	65.15	80.17	54.14	229.09	0.80	1.48	0.81	1	0	0
260	11386.96	120.41	151.93	98.22	443.54	0.73	1.55	0.79	1	0	0
261	3202.42	63.85	78.25	60.83	244.73	0.67	1.29	0.82	0	1	0
262	22422.18	168.96	196.85	146.96	600.56	0.78	1.34	0.86	1	0	0
263	17618.55	149.78	186.98	126.14	563.80	0.70	1.48	0.80	1	0	0
264	18715.77	154.37	259.47	170.39	1167.37	0.17	1.52	0.59	0	1	0
265	2803.43	59.74	66.89	55.47	205.39	0.84	1.21	0.89	1	0	0
266	11801.70	122.58	174.86	87.26	463.77	0.69	2.00	0.70	1	0	0
267	3002.92	61.83	90.05	46.22	234.22	0.69	1.95	0.69	1	0	0
268	509.24	25.46	34.99	21.63	93.87	0.73	1.62	0.73	0	0	1
269	283.49	19.00	26.10	14.85	62.58	0.91	1.76	0.73	0	1	0
270	9938.00	112.49	149.97	89.23	413.36	0.73	1.68	0.75	1	0	0
271	687.73	29.59	32.71	28.38	98.46	0.89	1.15	0.90	0	1	0
272	13880.65	132.94	149.85	126.52	499.09	0.70	1.18	0.89	1	0	0
273	241.49	17.54	26.57	12.28	59.34	0.86	2.16	0.66	0	1	0
274	1244.22	39.80	49.91	32.34	132.20	0.89	1.54	0.80	1	0	0
275	414.74	22.98	26.05	22.28	76.33	0.89	1.17	0.88	0	1	0

276	11696.70	122.04	161.46	94.10	439.29	0.76	1.72		0.76	1	0	0
277	1233.72	39.63	64.97	26.69	156.23	0.64	2.43		0.61	0	1	0
278	1044.72	36.47	59.81	24.95	149.19	0.59	2.40		0.61	0	1	0
279	8483.78	103.93	137.17	80.27	384.43	0.72	1.71		0.76	1	0	0
280	7255.31	96.11	120.40	81.27	349.34	0.75	1.48		0.80	1	0	0
281	7586.06	98.28	131.28	77.86	381.42	0.66	1.69		0.75	1	0	0
282	3296.92	64.79	76.67	57.18	226.08	0.81	1.34		0.85	1	0	0
283	792.73	31.77	34.85	29.67	102.25	0.95	1.17		0.91	0	1	0
284	5129.12	80.81	129.73	53.96	326.89	0.60	2.40		0.62	1	0	0
285	2609.18	57.64	95.49	37.98	232.23	0.61	2.51		0.60	0	0	1
286	556.49	26.62	36.35	21.98	99.24	0.71	1.65		0.73	0	0	1
287	1622.21	45.45	116.44	19.03	241.07	0.35	6.12		0.39	0	0	1
288	787.48	31.66	58.91	18.01	132.66	0.56	3.27		0.54	0	0	1
289	477.74	24.66	43.60	15.51	101.14	0.59	2.81		0.57	0	0	1
290	147.00	13.68	19.92	11.49	48.28	0.79	1.73		0.69	0	0	1
291	178.50	15.08	26.53	9.53	57.44	0.68	2.78		0.57	0	0	1
292	283.49	19.00	47.32	9.71	106.51	0.31	4.87		0.40	0	0	1
293	152.25	13.92	30.08	7.10	56.89	0.59	4.24		0.46	0	0	1
294	42.00	7.31	21.17	2.65	32.08	0.51	8.00		0.35	0	0	1

Código: 9H-11

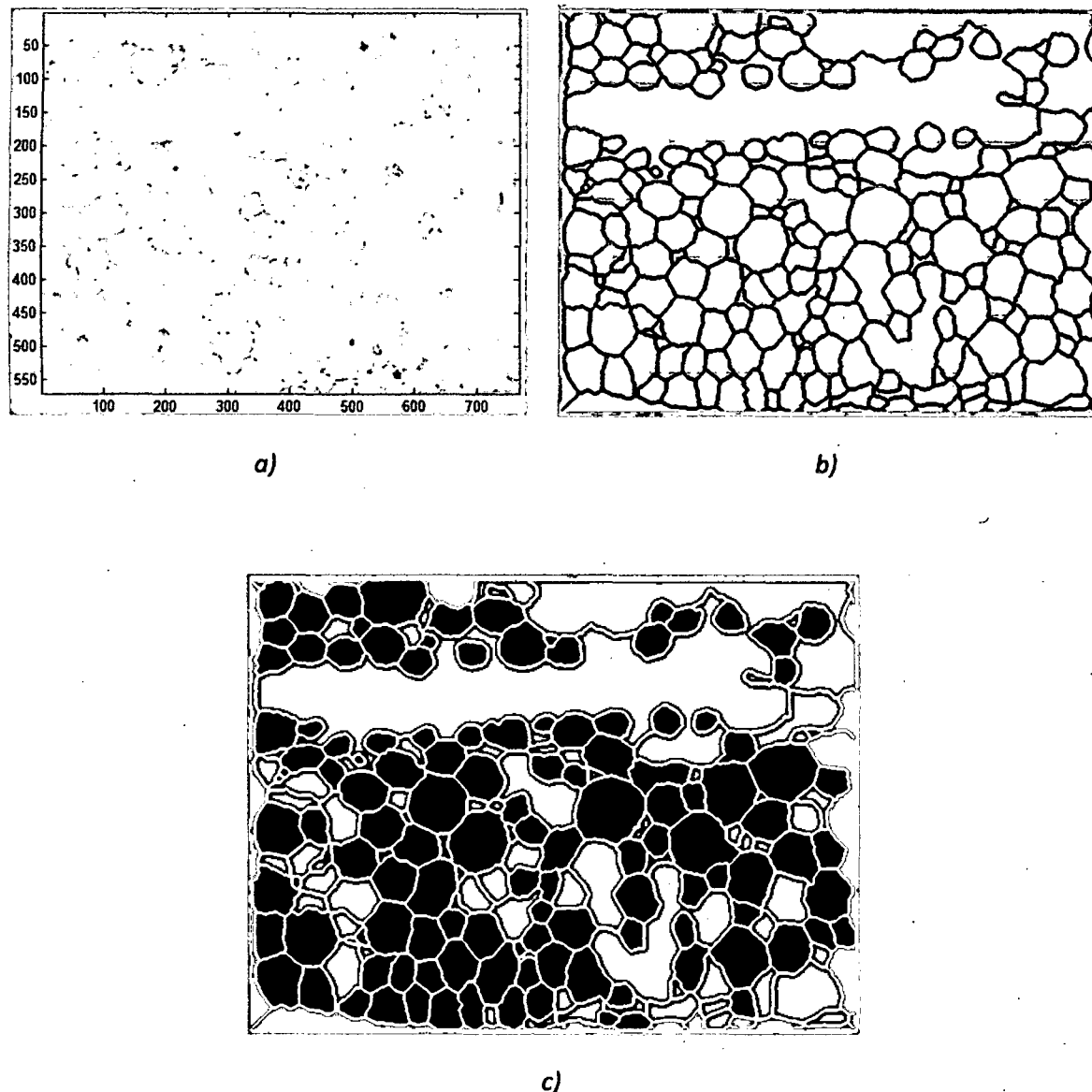


Figura A3. a) Imagen Original b) Imagen procesada c)Imagen segmentada y clasificada

Tabla A3. Parámetros de tamaño y forma y clasificación de elementos en micrografía 9H-11

Núm.	Área	Deq	Ejemay	Ejemen	Per	Red	Elg	Comp	Célula	Espint	Elem No Rec
1	6026.85	87.60	408.85	25.45	842.13	0.11	16.06	0.21	0	0	1
2	209.99	16.35	28.05	11.12	62.58	0.67	2.52	0.58	0	0	1
3	4068.65	71.97	366.84	27.52	659.06	0.12	13.33	0.20	0	0	1
4	52.50	8.18	14.00	5.21	24.81	1.07	2.69	0.58	0	1	0
5	2729.93	58.96	245.73	22.31	463.03	0.16	11.01	0.24	0	0	1
6	404.24	22.69	32.54	19.38	89.29	0.64	1.68	0.70	0	0	1
7	12184.94	124.56	136.25	117.42	438.54	0.80	1.16	0.91	1	0	0
8	4499.13	75.69	88.01	71.49	273.57	0.76	1.23	0.86	1	0	0
9	12127.19	124.26	131.71	121.05	460.99	0.72	1.09	0.94	1	0	0
10	556.49	26.62	115.37	7.00	217.83	0.15	16.48	0.23	0	0	1
11	1333.47	41.20	61.30	31.69	164.28	0.62	1.93	0.67	0	0	1
12	14951.62	137.97	141.88	136.48	480.43	0.81	1.04	0.97	1	0	0
13	624.73	28.20	41.63	19.87	99.80	0.79	2.10	0.68	0	1	0
14	18175.04	152.12	178.33	137.44	593.19	0.65	1.30	0.85	1	0	0
15	406124.37	719.09	1950.19	421.69	9128.48	0.06	4.62	0.37	0	1	0
16	8966.77	106.85	143.44	84.21	402.90	0.69	1.70	0.74	1	0	0
17	5879.85	86.52	99.96	80.20	316.15	0.74	1.25	0.87	1	0	0
18	136.50	13.18	20.24	9.36	43.14	0.92	2.16	0.65	0	1	0
19	8856.52	106.19	120.34	94.56	366.56	0.83	1.27	0.88	1	0	0
20	404.24	22.69	29.57	18.34	74.43	0.92	1.61	0.77	0	1	0
21	1448.96	42.95	62.35	32.02	159.14	0.72	1.95	0.69	0	1	0
22	3170.92	63.54	101.95	45.49	266.53	0.56	2.24	0.62	1	0	0
23	6184.34	88.74	99.70	80.41	303.75	0.84	1.24	0.89	1	0	0
24	7838.05	99.90	154.83	69.14	433.50	0.52	2.24	0.65	1	0	0
25	813.73	32.19	69.65	17.61	146.74	0.47	3.96	0.46	0	1	0
26	8011.30	101.00	146.06	76.26	413.82	0.59	1.92	0.69	1	0	0
27	9208.26	108.28	159.50	75.58	424.56	0.64	2.11	0.68	1	0	0
28	740.23	30.70	45.85	22.34	111.42	0.75	2.05	0.67	0	1	0
29	4005.65	71.42	123.32	46.32	309.67	0.52	2.66	0.58	0	1	0
30	19938.99	159.33	166.35	154.39	557.65	0.81	1.08	0.96	1	0	0
31	9932.75	112.46	116.65	110.15	388.78	0.83	1.06	0.96	1	0	0

32	7150.32	95.42	106.27	86.52	323.98	0.86	1.23		1	0	0
33	7318.31	96.53	126.60	75.39	343.74	0.78	1.68	0.90	1	0	0
34	713.98	30.15	33.03	28.19	97.11	0.95	1.17	0.76	0	1	0
35	393.74	22.39	39.37	15.29	94.43	0.55	2.57	0.91	0	1	0
36	3932.15	70.76	105.13	56.57	288.10	0.60	1.86	0.57	1	0	0
37	2514.69	56.58	75.76	43.58	196.91	0.81	1.74	0.67	1	0	0
38	2724.68	58.90	90.59	41.63	225.52	0.67	2.18	0.75	1	0	0
39	5690.85	85.12	94.40	77.62	285.88	0.88	1.22	0.65	1	0	0
40	7622.81	98.52	120.85	81.42	354.16	0.76	1.48	0.90	1	0	0
41	6662.08	92.10	112.03	77.92	323.75	0.80	1.44	0.82	1	0	0
42	15.75	4.48	7.94	2.65	9.17	2.36	3.00	0.56	0	0	1
43	4304.89	74.03	339.05	24.89	728.02	0.10	13.62	0.22	0	0	1
44	3968.90	71.09	80.95	64.30	245.84	0.83	1.26	0.88	1	0	0
45	4588.38	76.43	99.71	66.93	321.06	0.56	1.49	0.77	0	1	0
46	10226.74	114.11	138.02	102.78	423.78	0.72	1.34	0.83	1	0	0
47	12851.67	127.92	163.66	102.72	465.11	0.75	1.59	0.78	1	0	0
48	3596.16	67.67	83.96	55.40	235.24	0.82	1.52	0.81	1	0	0
49	12541.93	126.37	149.88	110.94	462.10	0.74	1.35	0.84	1	0	0
50	8126.79	101.72	112.65	92.94	350.69	0.83	1.21	0.90	1	0	0
51	6588.58	91.59	106.27	79.57	315.92	0.83	1.34	0.86	1	0	0
52	13460.66	130.91	153.97	116.25	478.63	0.74	1.32	0.85	1	0	0
53	871.48	33.31	45.68	25.11	111.65	0.88	1.82	0.73	0	1	0
54	1910.95	49.33	64.13	43.19	190.20	0.66	1.48	0.77	0	1	0
55	325.49	20.36	81.96	6.87	147.75	0.19	11.93	0.25	0	0	1
56	4420.39	75.02	91.44	65.87	273.57	0.74	1.39	0.82	1	0	0
57	703.48	29.93	43.36	22.40	106.28	0.78	1.94	0.69	0	1	0
58	12153.44	124.40	140.60	110.66	421.42	0.86	1.27	0.88	1	0	0
59	4693.38	77.30	93.50	64.52	263.29	0.85	1.45	0.83	1	0	0
60	2126.20	52.03	58.96	48.11	179.46	0.83	1.23	0.88	1	0	0
61	608.98	27.85	32.44	24.33	87.95	0.99	1.33	0.86	1	0	0
62	1191.72	38.95	49.13	37.40	149.19	0.67	1.31	0.79	0	1	0
63	304.49	19.69	24.00	16.97	62.03	0.99	1.41	0.82	0	1	0
64	11906.70	123.13	131.51	117.55	427.34	0.82	1.12	0.94	1	0	0
65	1081.47	37.11	43.02	36.46	138.13	0.71	1.18	0.86	0	1	0
66	10683.48	116.63	126.00	108.90	397.16	0.85	1.16	0.93	1	0	0

67	6887.82	93.65	108.69	81.48	319.95	0.85	1.33	0.86	1	0	0
68	20253.98	160.59	196.51	135.70	573.10	0.77	1.45	0.82	1	0	0
69	16174.84	143.51	159.09	130.38	489.92	0.85	1.22	0.90	1	0	0
70	3974.15	71.13	89.58	57.88	251.67	0.79	1.55	0.79	1	0	0
71	9680.75	111.02	119.93	108.27	399.75	0.76	1.11	0.93	1	0	0
72	12232.19	124.80	128.06	123.28	426.00	0.85	1.04	0.97	1	0	0
73	11365.96	120.30	141.69	102.74	413.59	0.83	1.38	0.85	1	0	0
74	902.98	33.91	52.31	26.37	135.67	0.62	1.98	0.65	0	1	0
75	2819.18	59.91	63.26	60.31	213.35	0.78	1.05	0.95	1	0	0
76	341.24	20.84	25.57	19.26	70.41	0.87	1.33	0.82	0	1	0
77	6011.10	87.48	110.59	70.01	302.41	0.83	1.58	0.79	1	0	0
78	10935.47	118.00	128.20	112.40	418.18	0.79	1.14	0.92	1	0	0
79	2834.93	60.08	95.39	42.83	243.06	0.60	2.23	0.63	0	1	0
80	3202.42	63.85	77.31	57.10	233.34	0.74	1.35	0.83	1	0	0
81	5890.35	86.60	94.43	80.16	293.01	0.86	1.18	0.92	1	0	0
82	488.24	24.93	40.57	16.68	91.19	0.74	2.43	0.61	0	1	0
83	409.49	22.83	27.47	20.45	76.33	0.88	1.34	0.83	0	1	0
84	6378.59	90.12	118.61	69.49	315.60	0.80	1.71	0.76	1	0	0
85	16810.07	146.30	183.53	119.19	523.34	0.77	1.54	0.80	1	0	0
86	22390.68	168.85	170.10	168.60	571.16	0.86	1.01	0.99	1	0	0
87	10200.49	113.96	132.71	100.22	402.99	0.79	1.32	0.86	1	0	0
88	2813.93	59.86	66.17	55.52	200.48	0.88	1.19	0.90	1	0	0
89	5622.61	84.61	101.23	72.67	299.17	0.79	1.39	0.84	1	0	0
90	2283.69	53.92	94.63	33.69	229.32	0.55	2.81	0.57	0	1	0
91	1291.47	40.55	44.17	38.89	140.81	0.82	1.14	0.92	1	0	0
92	430.49	23.41	40.53	14.36	88.74	0.69	2.82	0.58	0	1	0
93	9371.01	109.23	123.95	97.10	368.23	0.87	1.28	0.88	1	0	0
94	8447.03	103.71	146.97	76.12	381.33	0.73	1.93	0.71	1	0	0
95	8641.28	104.89	130.31	88.88	388.46	0.72	1.47	0.80	1	0	0
96	8667.53	105.05	122.39	93.99	374.94	0.77	1.30	0.86	1	0	0
97	11938.19	123.29	144.33	107.88	441.42	0.77	1.34	0.85	1	0	0
98	1664.21	46.03	86.25	30.03	204.97	0.50	2.87	0.53	0	1	0
99	4976.87	79.60	86.95	74.68	273.80	0.83	1.16	0.92	1	0	0
100	23913.14	174.49	189.55	161.41	600.56	0.83	1.17	0.92	1	0	0
101	703.48	29.93	47.91	23.95	120.03	0.61	2.00	0.62	0	1	0

102	13234.91	129.81	141.40	120.49	449.79	0.82	1.17	0.92	1	0	0
103	3480.66	66.57	72.80	61.37	217.70	0.92	1.19	0.91	1	0	0
104	650.98	28.79	39.73	24.34	104.94	0.74	1.63	0.72	0	1	0
105	4703.88	77.39	88.68	68.31	259.50	0.88	1.30	0.87	1	0	0
106	7150.32	95.42	123.56	79.06	354.25	0.72	1.56	0.77	1	0	0
107	7187.07	95.66	139.63	67.44	376.05	0.64	2.07	0.69	1	0	0
108	94.50	10.97	12.97	9.52	29.39	1.37	1.36	0.85	0	1	0
109	11806.95	122.61	137.94	110.65	430.03	0.80	1.25	0.89	1	0	0
110	2813.93	59.86	112.10	40.14	288.66	0.42	2.79	0.53	0	1	0
111	1322.97	41.04	52.29	34.89	144.28	0.80	1.50	0.78	0	1	0
112	10783.22	117.17	146.69	95.29	413.82	0.79	1.54	0.80	1	0	0
113	6662.08	92.10	216.34	71.29	547.27	0.28	3.03	0.43	0	0	1
114	14347.88	135.16	181.85	103.76	522.00	0.66	1.75	0.74	1	0	0
115	6530.83	91.19	103.69	83.99	322.96	0.79	1.23	0.88	1	0	0
116	325.49	20.36	84.02	7.45	149.65	0.18	11.28	0.24	0	0	1
117	9266.01	108.62	138.30	90.02	396.28	0.74	1.54	0.79	1	0	0
118	1774.45	47.53	64.08	36.77	169.09	0.78	1.74	0.74	1	0	0
119	1223.22	39.46	47.85	33.89	137.57	0.81	1.41	0.82	0	1	0
120	1538.21	44.26	70.83	29.15	168.31	0.68	2.43	0.62	1	0	0
121	9649.25	110.84	127.75	98.67	390.45	0.80	1.29	0.87	1	0	0
122	7517.81	97.84	125.35	79.11	352.81	0.76	1.58	0.78	1	0	0
123	7066.32	94.85	100.21	92.08	322.08	0.86	1.09	0.95	1	0	0
124	13518.40	131.20	135.83	128.04	453.82	0.82	1.06	0.97	1	0	0
125	3113.17	62.96	132.70	63.74	363.09	0.30	2.08	0.47	0	1	0
126	4835.13	78.46	94.49	67.40	283.29	0.76	1.40	0.83	1	0	0
127	7502.06	97.73	119.49	88.00	373.37	0.68	1.36	0.82	1	0	0
128	5375.86	82.73	92.54	75.93	289.45	0.81	1.22	0.89	1	0	0
129	5843.10	86.25	100.06	76.53	307.87	0.77	1.31	0.86	1	0	0
130	1018.47	36.01	48.00	27.97	123.27	0.84	1.72	0.75	0	1	0
131	4577.88	76.35	103.83	59.21	290.00	0.68	1.75	0.74	1	0	0
132	1485.71	43.49	67.09	31.80	167.85	0.66	2.11	0.65	0	1	0
133	4961.12	79.48	90.79	71.87	281.95	0.78	1.26	0.88	1	0	0
134	22758.17	170.23	185.98	158.58	606.71	0.78	1.17	0.92	1	0	0
135	2283.69	53.92	108.65	35.77	249.78	0.46	3.04	0.50	0	0	1
136	6578.08	91.52	103.21	81.83	307.55	0.87	1.26	0.89	1	0	0

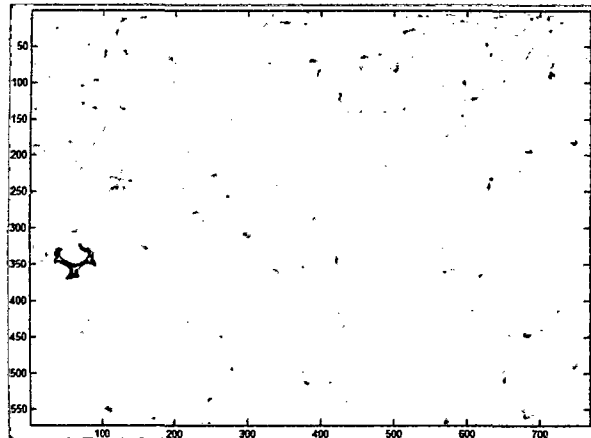
137	141.75	13.43	16.75	11.17	39.11	1.16	1.50	0.80	0	1	0
138	2162.94	52.48	93.74	30.38	210.10	0.62	3.09	0.56	1	0	0
139	1968.70	50.07	70.25	38.27	193.67	0.66	1.84	0.71	1	0	0
140	1874.20	48.85	70.70	36.69	182.28	0.71	1.93	0.69	0	1	0
141	120.75	12.40	23.88	7.62	49.62	0.62	3.14	0.52	0	0	1
142	5533.36	83.94	98.52	73.38	294.26	0.80	1.34	0.85	1	0	0
143	1123.47	37.82	42.64	40.35	141.37	0.71	1.06	0.89	0	1	0
144	2971.42	61.51	64.75	59.50	206.40	0.88	1.09	0.95	1	0	0
145	13544.65	131.32	143.74	122.30	461.32	0.80	1.18	0.91	1	0	0
146	9749.00	111.41	135.24	95.32	399.85	0.77	1.42	0.82	1	0	0
147	797.98	31.88	40.23	29.46	116.00	0.75	1.37	0.79	0	1	0
148	3622.41	67.91	90.98	53.47	257.60	0.69	1.70	0.75	1	0	0
149	9402.51	109.42	129.36	95.59	388.00	0.78	1.35	0.85	1	0	0
150	713.98	30.15	34.03	28.74	101.14	0.88	1.18	0.89	0	1	0
151	5974.35	87.22	99.63	79.86	311.02	0.78	1.25	0.88	1	0	0
152	12515.68	126.24	137.03	118.43	441.09	0.81	1.16	0.92	1	0	0
153	1716.71	46.75	149.24	20.37	344.90	0.18	7.33	0.31	0	0	1
154	9444.51	109.66	126.76	95.63	375.27	0.84	1.33	0.87	1	0	0
155	7381.31	96.94	115.13	90.79	362.31	0.71	1.27	0.84	1	0	0
156	3018.67	62.00	74.76	54.92	217.70	0.80	1.36	0.83	1	0	0
157	3968.90	71.09	161.18	34.63	354.71	0.40	4.66	0.44	0	1	0
158	2488.44	56.29	78.37	44.56	219.83	0.65	1.76	0.72	1	0	0
159	3417.66	65.97	76.37	58.36	225.52	0.84	1.31	0.86	1	0	0
160	12552.43	126.42	157.98	102.55	460.76	0.74	1.54	0.80	1	0	0
161	17734.05	150.27	163.71	140.13	522.56	0.82	1.17	0.92	1	0	0
162	29451.75	193.65	206.40	182.90	671.42	0.82	1.13	0.94	1	0	0
163	1254.72	39.97	52.72	32.36	140.26	0.80	1.63	0.76	0	1	0
164	12715.17	127.24	149.17	109.47	441.65	0.82	1.36	0.85	1	0	0
165	8478.53	103.90	127.56	86.05	368.79	0.78	1.48	0.81	1	0	0
166	976.48	35.26	46.36	32.10	133.77	0.69	1.44	0.76	0	1	0
167	12006.44	123.64	170.27	91.94	449.47	0.75	1.85	0.73	1	0	0
168	5465.11	83.42	102.12	69.52	291.34	0.81	1.47	0.82	1	0	0
169	1679.96	46.25	56.46	38.95	155.11	0.88	1.45	0.82	1	0	0
170	1443.71	42.87	65.59	28.79	157.01	0.74	2.28	0.65	1	0	0
171	4845.63	78.55	93.16	67.49	268.43	0.85	1.38	0.84	1	0	0

172	2666.93	58.27	142.29	39.15	337.95	0.29	3.63		0.41	0	1	0
173	52.50	8.18	26.46	2.65	41.24	0.39	10.00		0.31	0	0	1
174	3464.91	66.42	73.49	62.29	226.31	0.85	1.18		0.90	1	0	0
175	12111.44	124.18	139.49	112.52	433.59	0.81	1.24		0.89	1	0	0
176	3485.91	66.62	101.86	45.66	250.56	0.70	2.23		0.65	0	0	1
177	461.99	24.25	32.89	21.03	89.29	0.73	1.56		0.74	0	1	0
178	6278.84	89.41	105.11	77.94	308.56	0.83	1.35		0.85	1	0	0
179	4635.63	76.83	90.90	66.35	267.32	0.82	1.37		0.85	1	0	0
180	14998.87	138.19	165.26	118.77	494.74	0.77	1.39		0.84	1	0	0
181	5958.60	87.10	93.19	87.68	329.12	0.69	1.06		0.93	1	0	0
182	1889.95	49.05	87.94	30.09	199.92	0.59	2.92		0.56	0	1	0
183	63.00	8.96	10.58	7.94	22.91	1.51	1.33		0.85	1	0	0
184	7691.05	98.96	109.60	89.93	333.47	0.87	1.22		0.90	1	0	0
185	7607.06	98.42	109.55	90.16	338.28	0.84	1.22		0.90	1	0	0
186	5176.37	81.18	91.59	73.03	275.70	0.86	1.25		0.89	1	0	0
187	1296.72	40.63	57.08	32.38	159.14	0.64	1.76		0.71	0	1	0
188	1133.97	38.00	64.00	32.66	174.00	0.47	1.96		0.59	0	1	0
189	10111.24	113.46	144.04	90.89	395.26	0.81	1.58		0.79	1	0	0
190	10783.22	117.17	124.35	111.57	403.32	0.83	1.11		0.94	1	0	0
191	425.24	23.27	30.89	21.07	85.50	0.73	1.47		0.75	0	1	0
192	7386.56	96.98	158.13	63.99	389.57	0.61	2.47		0.61	1	0	0
193	8599.28	104.64	128.77	86.69	363.09	0.82	1.49		0.81	1	0	0
194	1958.20	49.93	64.53	45.74	205.06	0.59	1.41		0.77	0	1	0
195	1637.96	45.67	97.98	22.20	209.78	0.47	4.41		0.47	0	0	1
196	4987.37	79.69	84.84	75.37	263.62	0.90	1.13		0.94	1	0	0
197	314.99	20.03	22.22	18.97	62.03	1.03	1.17		0.90	0	1	0
198	2771.93	59.41	122.84	45.09	338.05	0.30	2.72		0.48	0	1	0
199	162.75	14.39	16.07	13.64	42.35	1.14	1.18		0.90	0	1	0
200	84.00	10.34	16.09	7.63	32.63	0.99	2.11		0.64	0	1	0
201	614.23	27.97	32.63	27.74	98.46	0.80	1.18		0.86	0	1	0
202	3785.15	69.42	74.98	65.51	232.23	0.88	1.14		0.93	1	0	0
203	5260.37	81.84	102.38	66.41	290.56	0.78	1.54		0.80	1	0	0
204	23745.14	173.88	186.04	165.74	614.30	0.79	1.12		0.93	1	0	0
205	9077.02	107.50	138.71	88.10	397.95	0.72	1.57		0.78	1	0	0
206	1443.71	42.87	59.40	34.99	156.46	0.74	1.70		0.72	0	1	0

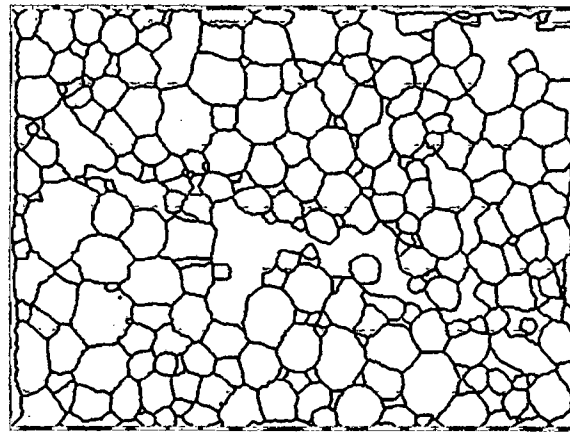
207	4362.64	74.53	102.61	54.75	264.63	0.78	1.87		0.73	1	0	0
208	5496.61	83.66	97.54	76.14	297.27	0.78	1.28		0.86	1	0	0
209	4278.64	73.81	87.21	64.49	258.38	0.81	1.35		0.85	1	0	0
210	1685.21	46.32	56.41	42.27	166.18	0.77	1.33		0.82	0	0	1
211	1039.47	36.38	46.52	29.65	124.61	0.84	1.57		0.78	0	1	0
212	7848.55	99.97	126.17	94.83	407.67	0.59	1.33		0.79	0	1	0
213	2645.93	58.04	66.93	50.99	193.67	0.89	1.31		0.87	1	0	0
214	13476.41	130.99	169.74	102.35	467.80	0.77	1.66		0.77	1	0	0
215	4929.62	79.22	88.60	72.27	271.90	0.84	1.23		0.89	1	0	0
216	2819.18	59.91	94.03	39.88	228.99	0.68	2.36		0.64	1	0	0
217	21713.44	166.27	182.37	155.19	594.31	0.77	1.18		0.91	1	0	0
218	3023.92	62.05	86.69	45.98	224.96	0.75	1.89		0.72	0	1	0
219	3643.41	68.11	75.95	62.79	233.57	0.84	1.21		0.90	1	0	0
220	20022.99	159.67	174.78	149.97	560.20	0.80	1.17		0.91	1	0	0
221	5181.62	81.22	89.01	76.40	275.47	0.86	1.17		0.91	1	0	0
222	461.99	24.25	35.88	18.91	89.29	0.73	1.90		0.68	0	1	0
223	17886.29	150.91	225.41	108.12	587.27	0.65	2.08		0.67	1	0	0
224	1742.96	47.11	67.16	38.09	191.54	0.60	1.76		0.70	0	1	0
225	6441.59	90.56	97.71	84.79	303.19	0.88	1.15		0.93	1	0	0
226	15865.09	142.13	159.16	128.87	495.29	0.81	1.24		0.89	1	0	0
227	47.25	7.76	13.93	5.01	24.81	0.96	2.78		0.56	0	0	1
228	4572.63	76.30	89.20	67.74	266.21	0.81	1.32		0.86	1	0	0
229	1511.96	43.88	71.95	28.33	172.89	0.64	2.54		0.61	0	0	1
230	3958.40	70.99	78.42	67.51	249.22	0.80	1.16		0.91	1	0	0
231	2157.69	52.41	58.23	47.71	172.89	0.91	1.22		0.90	1	0	0
232	12347.68	125.39	144.49	112.33	449.70	0.77	1.29		0.87	1	0	0
233	1181.22	38.78	62.96	25.93	152.10	0.64	2.43		0.62	0	1	0
234	24616.62	177.04	193.29	163.86	611.06	0.83	1.18		0.92	1	0	0
235	6704.08	92.39	153.94	61.38	385.45	0.57	2.51		0.60	1	0	0
236	8504.78	104.06	125.81	89.94	378.28	0.75	1.40		0.83	1	0	0
237	3953.15	70.95	82.91	63.76	250.43	0.79	1.30		0.86	1	0	0
238	404.24	22.69	32.02	19.94	88.18	0.65	1.61		0.71	1	0	0
239	18988.76	155.49	283.67	109.62	761.50	0.41	2.59		0.55	0	1	0
240	1433.21	42.72	54.38	35.35	152.10	0.78	1.54		0.79	0	1	0
241	435.74	23.55	26.81	22.60	78.23	0.89	1.19		0.88	0	1	0

242	13471.16	130.97	153.03	116.98	477.75	0.74	1.31		0.86	1	0	0
243	2357.19	54.78	110.69	29.51	254.82	0.46	3.75		0.49	0	0	1
244	13733.65	132.24	146.60	120.05	456.97	0.83	1.22		0.90	1	0	0
245	14636.63	136.51	156.60	123.90	491.27	0.76	1.26		0.87	1	0	0
246	7764.55	99.43	127.48	81.78	355.27	0.77	1.56		0.78	1	0	0
247	4373.14	74.62	83.32	68.33	250.01	0.88	1.22		0.90	1	0	0
248	4472.89	75.47	109.16	55.98	287.64	0.68	1.95		0.69	1	0	0
249	1007.97	35.82	46.14	31.17	128.96	0.76	1.48		0.78	0	1	0
250	6893.07	93.68	101.49	88.08	322.31	0.83	1.15		0.92	1	0	0
251	1490.96	43.57	51.55	37.97	144.84	0.89	1.36		0.85	0	1	0
252	10814.72	117.34	164.62	88.63	468.91	0.62	1.86		0.71	1	0	0
253	7386.56	96.98	102.67	93.06	329.90	0.85	1.10		0.94	1	0	0
254	10394.73	115.04	157.20	104.08	565.37	0.41	1.51		0.73	0	1	0
255	829.48	32.50	171.41	10.22	307.91	0.11	16.77		0.19	0	0	1
256	14878.12	137.64	147.98	130.01	482.56	0.80	1.14		0.93	1	0	0
257	5197.37	81.35	112.32	60.84	303.52	0.71	1.85		0.72	1	0	0
258	3475.41	66.52	118.01	41.21	283.19	0.54	2.86		0.56	1	0	0
259	572.24	26.99	38.44	21.23	98.46	0.74	1.81		0.70	0	1	0
260	26196.83	182.63	563.59	108.13	1419.68	0.16	5.21		0.32	0	0	1
261	2351.94	54.72	60.35	52.20	190.99	0.81	1.16		0.91	1	0	0
262	7097.82	95.06	118.87	78.46	344.99	0.75	1.51		0.80	1	0	0
263	430.49	23.41	31.14	19.09	79.01	0.87	1.63		0.75	0	1	0
264	5223.62	81.55	147.21	66.88	408.92	0.39	2.20		0.55	0	0	1
265	9313.26	108.89	206.93	66.48	488.72	0.49	3.11		0.53	0	0	1
266	4294.39	73.94	93.22	60.50	267.32	0.76	1.54		0.79	1	0	0
267	393.74	22.39	25.25	20.69	72.53	0.94	1.22		0.89	0	0	1
268	31.50	6.33	9.54	4.58	15.65	1.62	2.08		0.66	0	0	1

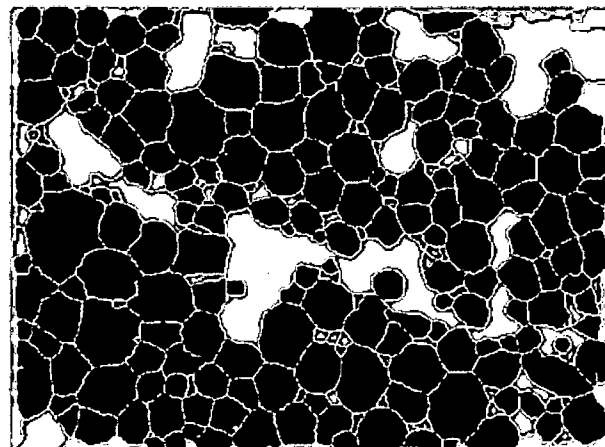
Código: B9-11



a)



b)



c)

Figura A4. a) Imagen Original b) Imagen procesada c)Imagen segmentada y clasificada

Tabla A4. Parámetros de tamaño y forma y clasificación de elementos en micrografía B9-11

N.º	Árca	Dcq	Ejcmay	Ejcmcn	Pcr	Rcd	Elg	Comp	Célula	Espint	Elem No Rec
1	7029.57	94.61	751.69	16.30	1428.55	0.04	46.12		0	0	1
								0.13			
2	7449.56	97.39	620.25	24.18	1194.52	0.07	25.66		0	0	1
								0.16			
3	246.74	17.72	29.16	12.48	67.17	0.69	2.34		0	0	1
								0.61			
4	2446.44	55.81	85.48	39.82	221.40	0.63	2.15		0	1	0
								0.65			
5	12358.18	125.44	142.38	119.03	478.31	0.68	1.20		0	1	0
								0.88			
6	2110.45	51.84	58.61	46.92	175.57	0.86	1.25		1	0	0
								0.88			
7	1721.96	46.82	62.65	36.92	167.52	0.77	1.70		0	1	0
								0.75			
8	11717.70	122.15	156.57	103.92	490.39	0.61	1.51		1	0	0
								0.78			
9	4950.62	79.39	97.14	66.20	271.90	0.84	1.47		1	0	0
								0.82			
10	14143.14	134.19	142.82	128.40	465.34	0.82	1.11		1	0	0
								0.94			
11	3270.67	64.53	106.69	44.86	282.96	0.51	2.38		0	1	0
								0.60			
12	8174.04	102.02	140.37	78.03	379.29	0.71	1.80		1	0	0
								0.73			
13	17839.04	150.71	229.19	104.13	631.20	0.56	2.20		1	0	0
								0.66			
14	11008.97	118.39	126.07	114.00	420.54	0.78	1.11		1	0	0
								0.94			
15	1842.70	48.44	60.89	39.67	167.75	0.82	1.54		1	0	0
								0.80			
16	6536.08	91.22	103.14	82.25	317.04	0.82	1.25		1	0	0
								0.88			
17	43001.65	233.99	273.78	205.27	907.78	0.66	1.33		1	0	0
								0.85			
18	698.23	29.82	31.29	28.80	93.87	1.00	1.09		0	1	0
								0.95			
19	493.49	25.07	38.21	20.11	99.80	0.62	1.90		0	1	0
								0.66			
20	4793.13	78.12	106.06	60.46	292.78	0.70	1.75		1	0	0
								0.74			
21	13707.40	132.11	144.21	124.70	472.94	0.77	1.16		1	0	0
								0.92			
22	1002.72	35.73	76.36	25.89	183.17	0.38	2.95		0	1	0
								0.47			
23	11707.20	122.09	135.86	112.60	433.50	0.78	1.21		1	0	0
								0.90			
24	52.50	8.18	14.00	5.21	24.81	1.07	2.69		0	0	1
								0.58			
25	3044.92	62.26	80.83	50.21	230.33	0.72	1.61		1	0	0
								0.77			
26	26952.81	185.25	264.91	146.74	816.13	0.51	1.81		0	1	0
								0.70			
27	3055.42	62.37	84.84	50.51	234.46	0.70	1.68		1	0	0
								0.74			
28	8021.79	101.06	108.30	96.20	351.80	0.81	1.13		1	0	0
								0.93			
29	12095.69	124.10	147.80	106.62	450.48	0.75	1.39		1	0	0
								0.84			
30	3202.42	63.85	85.87	54.64	250.10	0.64	1.57		1	0	0
								0.74			
31	3485.91	66.62	79.92	59.29	238.25	0.77	1.35		1	0	0
								0.83			

32	425.24	23.27	29.93	18.90	76.89	0.90	1.58		0	1	0
33	15.75	4.48	7.94	2.65	9.17	2.36	3.00	0.78	0	0	1
34	4525.38	75.91	226.45	39.39	439.65	0.29	5.75	0.56	0	0	1
35	1506.71	43.80	69.68	30.06	179.70	0.59	2.32	0.34	0	1	0
36	3202.42	63.85	89.08	47.31	227.97	0.77	1.88	0.63	1	0	0
37	1700.96	46.54	60.02	38.12	165.95	0.78	1.57	0.72	1	0	0
38	94.50	10.97	19.78	7.21	40.46	0.73	2.74	0.78	0	0	1
39	9360.51	109.17	123.79	101.05	390.59	0.77	1.23	0.55	1	0	0
40	5234.12	81.64	85.19	84.61	302.50	0.72	1.01	0.88	1	0	0
41	27593.29	187.44	198.53	183.10	700.82	0.71	1.08	0.96	1	0	0
42	7953.55	100.63	112.69	91.18	345.55	0.84	1.24	0.94	1	0	0
43	20679.22	162.26	180.51	147.48	581.90	0.77	1.22	0.89	1	0	0
44	19177.76	156.26	174.96	141.83	561.44	0.76	1.23	0.90	1	0	0
45	362.24	21.48	30.01	16.85	74.99	0.81	1.78	0.89	0	1	0
46	593.23	27.48	37.71	21.85	98.46	0.77	1.73	0.72	0	1	0
47	6441.59	90.56	115.34	72.18	318.61	0.80	1.60	0.73	1	0	0
48	15602.60	140.95	289.99	86.82	818.71	0.29	3.34	0.79	0	1	0
49	1900.45	49.19	64.88	39.14	172.66	0.80	1.66	0.49	1	0	0
50	7827.55	99.83	104.64	97.76	346.43	0.82	1.07	0.95	1	0	0
51	12841.17	127.87	137.90	119.58	441.09	0.83	1.15	0.93	1	0	0
52	10252.99	114.26	144.88	93.04	419.61	0.73	1.56	0.79	1	0	0
53	1091.97	37.29	54.27	31.54	160.48	0.53	1.72	0.69	0	0	1
54	9817.25	111.80	114.84	109.63	377.16	0.87	1.05	0.97	1	0	0
55	1653.71	45.89	68.95	35.26	178.81	0.65	1.96	0.67	0	1	0
56	524.99	25.85	35.28	20.03	90.08	0.81	1.76	0.73	0	1	0
57	545.99	26.37	37.23	19.34	88.18	0.88	1.92	0.71	0	1	0
58	8956.27	106.79	131.01	88.19	368.23	0.83	1.49	0.82	1	0	0
59	15975.34	142.62	155.01	135.29	507.47	0.78	1.15	0.92	1	0	0
60	31.50	6.33	9.17	5.07	15.65	1.62	1.81	0.69	0	0	1
61	4031.90	71.65	87.37	61.55	257.37	0.76	1.42	0.82	1	0	0
62	782.23	31.56	47.93	21.54	113.55	0.76	2.23	0.66	0	0	1
63	12263.69	124.96	133.63	119.02	447.01	0.77	1.12	0.94	1	0	0
64	866.23	33.21	70.07	17.05	150.21	0.48	4.11	0.47	0	0	1
65	6877.32	93.58	105.84	85.35	336.71	0.76	1.24	0.88	1	0	0
66	15581.60	140.85	156.25	129.54	491.27	0.81	1.21	0.90	1	0	0

67	21681.95	166.15	188.54	150.05	604.81	0.74	1.26		1	0	0
68	110.25	11.85	14.86	9.93	33.98	1.20	1.50	0.88	0	1	0
69	5423.11	83.10	97.39	72.02	294.03	0.79	1.35	0.80	1	0	0
70	4562.13	76.21	103.08	58.64	280.84	0.73	1.76	0.85	1	0	0
71	6992.82	94.36	105.28	85.75	324.30	0.84	1.23	0.74	1	0	0
72	7265.81	96.18	126.13	76.43	358.74	0.71	1.65	0.90	1	0	0
73	10.50	3.66	5.29	2.65	4.58	6.28	2.00	0.76	0	0	1
74	1627.46	45.52	56.17	37.85	155.11	0.85	1.48	0.69	1	0	0
75	5402.11	82.93	99.82	70.49	295.70	0.78	1.42	0.81	1	0	0
76	1506.71	43.80	51.31	41.74	162.61	0.72	1.23	0.83	0	1	0
77	9754.25	111.44	123.89	102.64	391.70	0.80	1.21	0.85	1	0	0
78	120.75	12.40	15.07	10.76	35.87	1.18	1.40	0.90	0	1	0
79	23671.64	173.61	271.01	116.75	724.05	0.57	2.32	0.82	0	1	0
80	7129.32	95.28	115.76	87.03	376.05	0.63	1.33	0.64	1	0	0
81	2724.68	58.90	63.55	55.81	195.57	0.90	1.14	0.82	1	0	0
82	4982.12	79.65	98.75	66.00	281.95	0.79	1.50	0.93	1	0	0
83	52.50	8.18	10.83	7.50	23.47	1.20	1.44	0.81	0	0	1
84	3496.41	66.72	67.61	66.78	221.72	0.89	1.01	0.75	1	0	0
85	28071.03	189.05	214.29	171.89	714.33	0.69	1.25	0.99	1	0	0
86	78.75	10.01	26.25	4.74	47.72	0.43	5.53	0.88	0	0	1
87	16846.82	146.46	171.81	133.02	545.05	0.71	1.29	0.38	1	0	0
88	640.48	28.56	53.12	16.88	119.24	0.57	3.15	0.85	0	1	0
89	2997.67	61.78	83.62	49.70	241.17	0.65	1.68	0.54	1	0	0
90	2777.18	59.46	65.27	56.79	206.08	0.82	1.15	0.74	1	0	0
91	12977.67	128.54	140.55	119.15	450.81	0.80	1.18	0.91	1	0	0
92	2036.95	50.93	58.95	46.15	175.11	0.83	1.28	0.91	1	0	0
93	42.00	7.31	21.17	2.65	32.08	0.51	8.00	0.86	0	0	1
94	5995.35	87.37	90.67	87.28	316.61	0.75	1.04	0.35	1	0	0
95	1679.96	46.25	118.42	20.68	247.55	0.34	5.73	0.96	0	1	0
96	813.73	32.19	68.04	17.11	149.98	0.45	3.98	0.39	0	1	0
97	866.23	33.21	63.14	22.29	144.84	0.52	2.83	0.47	0	1	0
98	614.23	27.97	38.27	24.06	108.96	0.65	1.59	0.53	0	0	1
99	3491.16	66.67	75.31	62.62	254.91	0.68	1.20	0.73	1	0	0
100	7481.06	97.60	104.22	95.23	347.91	0.78	1.09	0.89	1	0	0
101	5386.36	82.81	96.90	75.29	302.64	0.74	1.29	0.94	1	0	0
								0.85			

102	5391.61	82.85	106.27	66.69	305.65	0.73	1.59		1	0	0
103	126.00	12.67	16.53	10.23	38.56	1.06	1.62	0.78	0	1	0
104	7407.56	97.12	104.85	90.94	327.54	0.87	1.15	0.77	1	0	0
105	31.50	6.33	15.87	2.65	22.91	0.75	6.00	0.93	0	0	1
106	22280.43	168.43	188.10	153.50	598.24	0.78	1.23	0.40	1	0	0
107	152.25	13.92	16.29	12.30	40.46	1.17	1.32	0.90	0	1	0
108	1380.71	41.93	72.52	31.51	184.51	0.51	2.30	0.85	0	1	0
109	36.75	6.84	18.52	2.65	27.50	0.61	7.00	0.58	0	0	1
110	7948.30	100.60	105.97	99.56	384.76	0.67	1.06	0.37	1	0	0
111	10825.22	117.40	149.01	104.43	605.50	0.37	1.43	0.95	0	1	0
112	6593.83	91.63	104.19	81.86	327.22	0.77	1.27	0.79	1	0	0
113	7360.31	96.81	175.99	55.09	396.74	0.59	3.19	0.88	1	0	0
114	11092.97	118.84	135.45	106.17	421.97	0.78	1.28	0.55	1	0	0
115	14962.12	138.02	143.99	134.47	519.32	0.70	1.07	0.88	1	0	0
116	173.25	14.85	23.22	10.15	49.62	0.88	2.29	0.96	0	1	0
117	100697.68	358.07	822.02	347.12	2933.43	0.15	2.37	0.44	0	1	0
118	241.49	17.54	34.94	12.00	80.36	0.47	2.91	0.50	0	0	1
119	4782.63	78.03	80.34	78.12	268.34	0.83	1.03	0.97	1	0	0
120	1737.71	47.04	52.16	43.56	154.23	0.92	1.20	0.90	1	0	0
121	5407.36	82.98	103.63	69.85	297.50	0.77	1.48	0.80	1	0	0
122	12090.44	124.07	138.48	117.59	456.97	0.73	1.18	0.90	1	0	0
123	10.50	3.66	5.29	2.65	4.58	6.28	2.00	0.69	0	1	0
124	535.49	26.11	37.14	20.16	93.87	0.76	1.84	0.70	0	1	0
125	2042.20	50.99	70.85	48.46	223.62	0.51	1.46	0.72	0	1	0
126	7050.57	94.75	114.38	79.81	329.67	0.82	1.43	0.83	1	0	0
127	19366.75	157.03	178.01	148.04	596.11	0.68	1.20	0.88	1	0	0
128	540.74	26.24	30.93	24.98	90.40	0.83	1.24	0.85	0	1	0
129	13198.16	129.63	139.47	122.72	454.84	0.80	1.14	0.93	1	0	0
130	16773.32	146.14	162.03	133.77	512.51	0.80	1.21	0.90	1	0	0
131	22154.43	167.95	188.74	151.13	594.31	0.79	1.25	0.89	1	0	0
132	10546.98	115.88	122.75	114.45	406.14	0.80	1.07	0.94	1	0	0
133	11974.94	123.48	133.41	115.52	419.75	0.85	1.15	0.93	1	0	0
134	2346.69	54.66	195.68	17.49	402.34	0.18	11.19	0.28	0	0	1
135	110.25	11.85	21.97	7.40	45.04	0.68	2.97	0.54	1	0	0
136	3947.90	70.90	118.95	44.52	288.89	0.59	2.67	0.60	0	0	1

137	11785.95	122.50	129.98	118.06	438.87	0.77	1.10	0.94	1	0	0
138	1296.72	40.63	65.40	30.02	172.66	0.55	2.18	0.62	0	1	0
139	797.98	31.88	38.02	28.19	107.39	0.87	1.35	0.84	1	0	0
140	2950.42	61.29	71.69	55.79	226.86	0.72	1.29	0.85	1	0	0
141	6436.34	90.53	98.74	83.96	316.15	0.81	1.18	0.92	1	0	0
142	7171.32	95.56	102.87	91.58	339.39	0.78	1.12	0.93	1	0	0
143	3160.42	63.43	67.74	60.92	214.46	0.86	1.11	0.94	1	0	0
144	14878.12	137.64	150.76	126.57	469.14	0.85	1.19	0.91	1	0	0
145	598.48	27.60	42.26	19.60	100.91	0.74	2.16	0.65	0	1	0
146	4824.63	78.38	102.62	63.35	281.62	0.76	1.62	0.76	1	0	0
147	10851.47	117.54	123.50	114.40	416.28	0.79	1.08	0.95	1	0	0
148	15917.59	142.36	148.46	138.29	491.82	0.83	1.07	0.96	1	0	0
149	21461.45	165.30	177.99	156.04	613.88	0.72	1.14	0.93	1	0	0
150	2918.93	60.96	71.94	55.37	223.95	0.73	1.30	0.85	1	0	0
151	16006.84	142.76	165.04	126.80	530.38	0.72	1.30	0.86	1	0	0
152	866.23	33.21	35.76	32.02	106.84	0.95	1.12	0.93	1	0	0
153	1128.72	37.91	40.93	37.87	133.77	0.79	1.08	0.93	0	1	0
154	3139.42	63.22	78.30	56.61	233.34	0.72	1.38	0.81	1	0	0
155	8273.79	102.64	133.68	83.66	379.29	0.72	1.60	0.77	1	0	0
156	866.23	33.21	70.79	22.48	157.24	0.44	3.15	0.47	0	1	0
157	1233.72	39.63	57.40	33.27	162.94	0.58	1.73	0.69	0	1	0
158	1238.97	39.72	42.07	38.96	130.86	0.91	1.08	0.94	1	0	0
159	7318.31	96.53	113.87	82.31	332.13	0.83	1.38	0.85	1	0	0
160	934.48	34.49	45.54	26.91	120.58	0.81	1.69	0.76	0	1	0
161	955.48	34.88	47.04	27.90	123.82	0.78	1.69	0.74	0	1	0
162	15387.36	139.97	145.33	135.68	471.04	0.87	1.07	0.96	1	0	0
163	52.50	8.18	10.74	6.88	21.57	1.42	1.56	0.76	0	1	0
164	3496.41	66.72	75.99	59.95	222.51	0.89	1.27	0.88	1	0	0
165	10.50	3.66	5.29	2.65	4.58	6.28	2.00	0.69	1	0	0
166	556.49	26.62	31.20	25.30	91.19	0.84	1.23	0.85	0	1	0
167	22028.44	167.47	198.56	144.01	590.05	0.80	1.38	0.84	1	0	0
168	12515.68	126.24	157.97	104.88	469.47	0.71	1.51	0.80	1	0	0
169	12484.18	126.08	135.79	118.60	433.04	0.84	1.14	0.93	1	0	0
170	1007.97	35.82	41.46	35.14	130.30	0.75	1.18	0.86	0	1	0
171	13476.41	130.99	155.39	114.37	481.09	0.73	1.36	0.84	1	0	0

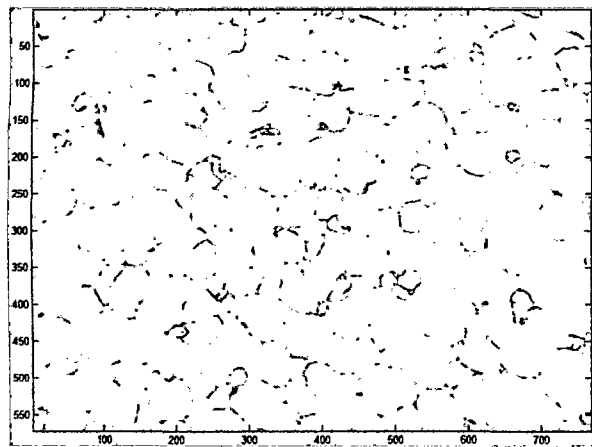
172	220.49	16.76	39.42	8.34	79.01	0.44	4.73		0	0	1
173	461.99	24.25	38.31	17.32	91.42	0.69	2.21	0.43	0	1	0
174	755.98	31.02	32.90	30.88	102.25	0.91	1.07	0.63	0	1	0
175	866.23	33.21	68.40	22.72	158.59	0.43	3.01	0.94	0	1	0
176	682.48	29.48	47.76	23.08	119.47	0.60	2.07	0.49	0	1	0
177	3207.67	63.91	85.16	49.50	230.89	0.76	1.72	0.62	1	0	0
178	572.24	26.99	39.61	19.48	97.11	0.76	2.03	0.75	0	1	0
179	656.23	28.91	37.31	23.57	97.90	0.86	1.58	0.68	0	1	0
180	14888.62	137.68	146.41	130.92	458.86	0.89	1.12	0.77	1	0	0
181	7948.30	100.60	109.70	93.91	350.13	0.81	1.17	0.94	1	0	0
182	10.50	3.66	5.29	2.65	4.58	6.28	2.00	0.92	0	0	1
183	5953.35	87.06	98.43	79.31	306.20	0.80	1.24	0.69	1	0	0
184	12615.43	126.74	157.38	104.26	451.60	0.78	1.51	0.88	1	0	0
185	7607.06	98.42	108.04	95.53	357.82	0.75	1.13	0.81	1	0	0
186	1412.21	42.40	56.47	32.95	146.28	0.83	1.71	0.91	1	0	0
187	388.49	22.24	39.83	15.44	91.42	0.58	2.58	0.75	0	1	0
188	5942.85	86.99	89.99	84.72	288.10	0.90	1.06	0.56	1	0	0
189	2488.44	56.29	66.42	49.90	195.57	0.82	1.33	0.97	1	0	0
190	5606.86	84.49	101.78	76.39	314.35	0.71	1.33	0.85	1	0	0
191	13009.17	128.70	192.06	100.86	594.86	0.46	1.90	0.83	0	1	0
192	535.49	26.11	33.19	24.32	95.22	0.74	1.36	0.67	0	1	0
193	561.74	26.74	38.38	21.95	100.35	0.70	1.75	0.79	0	1	0
194	21025.71	163.62	243.63	133.73	720.26	0.51	1.82	0.70	0	1	0
195	671.98	29.25	36.91	25.41	101.70	0.82	1.45	0.67	0	1	0
196	10.50	3.66	5.29	2.65	4.58	6.28	2.00	0.79	0	1	0
197	346.49	21.00	33.45	17.00	84.15	0.61	1.97	0.63	0	1	0
198	5638.36	84.73	139.87	58.17	348.00	0.59	2.40	0.61	1	0	0
199	9806.75	111.74	140.71	90.94	398.18	0.78	1.55	0.79	1	0	0
200	16600.08	145.38	160.44	134.72	513.72	0.79	1.19	0.91	1	0	0
201	682.48	29.48	35.58	27.33	103.60	0.80	1.30	0.83	0	1	0
202	9607.25	110.60	121.48	110.20	424.33	0.67	1.10	0.91	1	0	0
203	6730.33	92.57	102.59	86.22	322.87	0.81	1.19	0.90	1	0	0
204	11176.96	119.29	133.48	108.09	413.04	0.82	1.23	0.89	1	0	0
205	293.99	19.35	63.59	7.61	117.57	0.27	8.35	0.30	0	0	1
206	5076.62	80.40	111.76	60.88	309.12	0.67	1.84	0.72	1	0	0

207	1191.72	38.95	76.64	24.92	177.47	0.48	3.07		0.51	0	1	0
208	3800.90	69.57	477.76	22.31	858.79	0.06	21.42		0.15	0	0	1
209	792.73	31.77	55.15	23.90	136.78	0.53	2.31		0.58	0	1	0
210	6105.59	88.17	121.92	65.03	321.85	0.74	1.87		0.72	1	0	0
211	729.73	30.48	70.79	19.85	157.24	0.37	3.57		0.43	0	1	0
212	10489.23	115.57	131.25	102.67	397.95	0.83	1.28		0.88	1	0	0
213	6845.82	93.36	156.38	60.36	398.87	0.54	2.59		0.60	1	0	0
214	955.48	34.88	43.60	32.66	130.30	0.71	1.34		0.80	0	1	0
215	2960.92	61.40	66.26	57.51	201.27	0.92	1.15		0.93	1	0	0
216	7475.81	97.56	111.41	86.88	347.77	0.78	1.28		0.88	1	0	0
217	1028.97	36.20	51.19	26.63	130.30	0.76	1.92		0.71	0	1	0
218	745.48	30.81	40.98	29.13	118.13	0.67	1.41		0.75	0	1	0
219	26475.07	183.60	203.96	166.35	648.84	0.79	1.23		0.90	1	0	0
220	1973.95	50.13	58.08	45.50	169.97	0.86	1.28		0.86	1	0	0
221	7727.80	99.19	118.31	85.00	353.93	0.78	1.39		0.84	1	0	0
222	2782.43	59.52	64.48	56.93	208.76	0.80	1.13		0.92	1	0	0
223	1653.71	45.89	50.45	42.64	155.11	0.86	1.18		0.91	1	0	0
224	11113.97	118.96	131.18	109.51	408.69	0.84	1.20		0.91	1	0	0
225	4667.13	77.09	107.67	60.36	294.35	0.68	1.78		0.72	1	0	0
226	1653.71	45.89	67.25	36.44	190.76	0.57	1.85		0.68	0	1	0
227	472.49	24.53	46.52	14.59	100.35	0.59	3.19		0.53	0	1	0
228	21.00	5.17	10.58	2.65	13.75	1.40	4.00		0.49	0	0	1
229	5501.86	83.70	95.78	78.17	304.86	0.74	1.23		0.87	1	0	0
230	1060.47	36.75	43.40	32.82	124.61	0.86	1.32		0.85	1	0	0
231	15466.10	140.33	153.89	128.64	476.41	0.86	1.20		0.91	1	0	0
232	650.98	28.79	35.72	24.99	97.90	0.85	1.43		0.81	0	1	0
233	16279.83	143.97	192.31	116.27	558.66	0.66	1.65		0.75	1	0	0
234	766.48	31.24	54.90	20.39	130.30	0.57	2.69		0.57	0	1	0
235	3412.41	65.92	80.89	55.24	236.03	0.77	1.46		0.81	1	0	0
236	7780.30	99.53	118.55	88.31	366.66	0.73	1.34		0.84	1	0	0
237	1837.45	48.37	53.93	45.42	170.20	0.80	1.19		0.90	0	1	0
238	7528.31	97.90	112.32	86.20	331.01	0.86	1.30		0.87	1	0	0
239	509.24	25.46	38.33	19.71	100.35	0.64	1.94		0.66	0	0	1
240	12820.17	127.76	147.79	111.79	437.06	0.84	1.32		0.86	1	0	0
241	8000.80	100.93	113.71	93.08	368.79	0.74	1.22		0.89	1	0	0

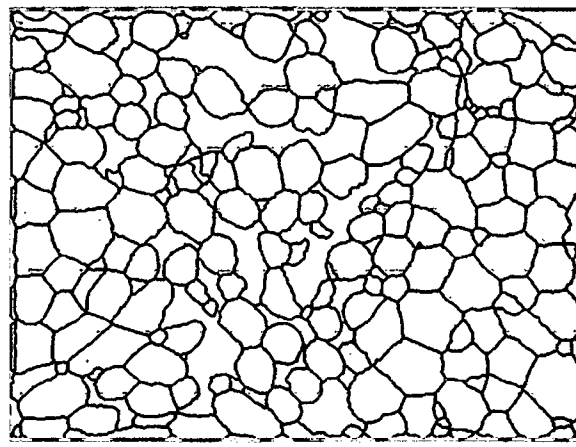
242	5738.10	85.48	97.75	80.19	310.00	0.75	1.22		1	0	0
243	11880.45	122.99	152.12	103.93	436.74	0.78	1.46	0.87	1	0	0
244	10861.97	117.60	185.51	114.52	612.96	0.36	1.62	0.81	0	1	0
245	10993.22	118.31	136.89	104.04	413.04	0.81	1.32	0.63	1	0	0
246	11150.71	119.15	145.32	100.45	444.33	0.71	1.45	0.86	1	0	0
247	2262.69	53.67	71.06	41.97	192.33	0.77	1.69	0.82	1	0	0
248	1438.46	42.80	100.18	25.97	215.80	0.39	3.86	0.76	0	0	1
249	398.99	22.54	39.67	13.20	86.84	0.66	3.01	0.43	0	0	1
250	5344.36	82.49	104.79	67.93	294.12	0.78	1.54	0.57	1	0	0
251	845.23	32.81	37.73	34.65	123.82	0.69	1.09	0.79	0	1	0
252	8641.28	104.89	187.34	71.75	471.36	0.49	2.61	0.87	0	1	0
253	1034.22	36.29	43.59	39.03	145.39	0.61	1.12	0.56	0	1	0
254	59360.23	274.92	387.52	288.52	1549.38	0.31	1.34	0.83	0	1	0
255	10357.99	114.84	133.12	104.62	430.81	0.70	1.27	0.71	1	0	0
256	4063.40	71.93	78.43	68.22	244.18	0.86	1.15	0.86	1	0	0
257	10741.23	116.95	134.67	103.31	407.67	0.81	1.30	0.92	1	0	0
258	1664.21	46.03	52.89	41.87	157.80	0.84	1.26	0.87	1	0	0
259	8394.54	103.38	123.70	88.97	365.55	0.79	1.39	0.87	1	0	0
260	3391.41	65.71	83.08	55.47	236.58	0.76	1.50	0.84	1	0	0
261	8279.04	102.67	126.38	87.71	380.96	0.72	1.44	0.79	1	0	0
262	3328.41	65.10	83.53	55.64	258.48	0.63	1.50	0.81	0	1	0
263	11334.46	120.13	136.11	108.76	435.95	0.75	1.25	0.78	1	0	0
264	3753.65	69.13	144.42	46.34	364.53	0.35	3.12	0.88	0	1	0
265	3323.17	65.05	95.04	49.96	266.21	0.59	1.90	0.48	0	0	1
266	3905.90	70.52	79.05	64.64	244.18	0.82	1.22	0.68	1	0	0
267	3800.90	69.57	84.90	57.79	237.70	0.85	1.47	0.89	1	0	0
268	16216.84	143.69	218.13	96.14	576.86	0.61	2.27	0.82	1	0	0
269	10147.99	113.67	121.42	112.60	425.90	0.70	1.08	0.66	1	0	0
270	12825.42	127.79	157.60	107.52	478.08	0.71	1.47	0.94	1	0	0
271	1097.22	37.38	110.67	16.67	255.37	0.21	6.64	0.81	0	0	1
272	4294.39	73.94	108.88	54.02	283.52	0.67	2.02	0.34	1	0	0
273	7160.82	95.49	154.05	106.70	650.73	0.21	1.44	0.68	0	1	0
274	4667.13	77.09	85.25	71.17	267.87	0.82	1.20	0.62	1	0	0
275	13759.90	132.36	144.13	122.63	460.76	0.81	1.18	0.90	1	0	0
276	393.74	22.39	26.55	19.30	70.41	1.00	1.38	0.92	0	1	0
								0.84			

277	3779.90	69.37	80.09	62.86	246.86	0.78	1.27		1	0	0
278	8861.77	106.22	133.80	86.61	384.99	0.75	1.54	0.87	1	0	0
279	1480.46	43.42	47.88	41.07	148.08	0.85	1.17	0.79	1	0	0
280	2063.20	51.25	100.78	28.59	231.12	0.49	3.52	0.91	0	0	1
281	7491.56	97.67	107.50	91.07	345.87	0.79	1.18	0.51	1	0	0
282	57.75	8.57	10.30	7.51	21.57	1.56	1.37	0.91	0	1	0
283	1207.47	39.21	54.03	35.90	159.47	0.60	1.50	0.83	0	1	0
284	14767.87	137.12	142.07	134.21	484.46	0.79	1.06	0.73	1	0	0
285	1338.72	41.29	42.78	40.35	131.09	0.98	1.06	0.97	1	0	0
286	3396.66	65.76	82.98	53.43	230.43	0.80	1.55	0.97	1	0	0
287	435.74	23.55	29.10	21.31	79.57	0.86	1.37	0.79	0	1	0
288	14143.14	134.19	145.02	125.68	462.99	0.83	1.15	0.81	1	0	0
289	9539.01	110.21	129.63	98.54	398.18	0.76	1.32	0.93	1	0	0
290	2021.20	50.73	100.72	32.84	239.82	0.44	3.07	0.85	0	1	0
291	4583.13	76.39	118.57	55.78	316.29	0.58	2.13	0.50	0	0	1
292	577.49	27.12	34.81	23.96	96.56	0.78	1.45	0.64	0	0	1
293	3580.41	67.52	74.54	67.43	248.99	0.73	1.11	0.78	1	0	0
294	3449.16	66.27	77.57	60.61	240.05	0.75	1.28	0.91	1	0	0
295	10447.23	115.33	132.48	103.66	470.71	0.59	1.28	0.85	1	0	0
296	12321.43	125.25	589.43	84.76	1254.42	0.10	6.95	0.87	0	0	1
297	4441.39	75.20	90.48	73.38	300.74	0.62	1.23	0.21	1	0	0
298	8814.52	105.94	142.11	82.51	392.48	0.72	1.72	0.83	1	0	0
299	6389.09	90.19	102.23	81.61	311.25	0.83	1.25	0.75	1	0	0
300	15.75	4.48	5.92	4.04	7.82	3.23	1.46	0.88	0	0	1
301	5386.36	82.81	295.14	65.04	567.18	0.21	4.54	0.76	0	0	1
302	1312.47	40.88	78.12	25.04	182.05	0.50	3.12	0.28	0	1	0
303	136.50	13.18	34.42	7.92	67.95	0.37	4.35	0.52	0	1	0
304	1753.46	47.25	74.80	33.19	196.59	0.57	2.25	0.38	0	0	1
305	3821.90	69.76	177.93	28.90	360.77	0.37	6.16	0.63	0	0	1
306	73.50	9.67	24.55	4.70	43.14	0.50	5.22	0.39	0	0	1
307	10.50	3.66	5.29	2.65	4.58	6.28	2.00	0.69	0	0	1

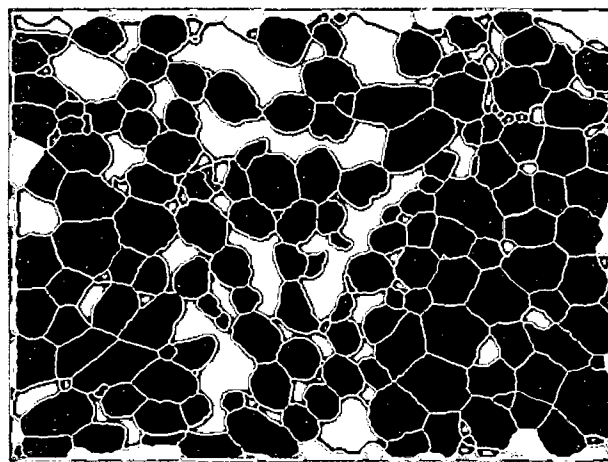
Código: F9-11a



a)



b)



c)

Figura A5. a) Imagen Original b) Imagen procesada c)Imagen segmentada y clasificada

Tabla A5. Parámetros de tamaño y forma y clasificación de elementos en micrografía F9-11a

Núm.	Área	Deq	Ejemay	Ejemen	Per	Red	Elg	Comp	Célula	Espint	Elem No Rec
1	435.74	23.55	66.44	12.45	151.55	0.24	5.34		0	0	1
2	498.74	25.20	108.66	7.25	192.24	0.17	15.00	0.35	0	0	1
3	147.00	13.68	21.44	9.99	48.28	0.79	2.15	0.23	0	0	1
4	356.99	21.32	34.44	14.56	82.26	0.66	2.37	0.64	0	0	1
5	2420.19	55.51	233.63	15.74	439.79	0.16	14.85	0.62	0	0	1
6	105.00	11.56	13.83	12.55	39.11	0.86	1.10	0.24	0	0	1
7	168.00	14.63	40.85	8.17	77.67	0.35	5.00	0.84	1	0	0
8	2084.20	51.51	96.19	33.05	259.17	0.39	2.91	0.36	0	0	1
9	15.75	4.48	7.94	2.65	9.17	2.36	3.00	0.54	0	0	1
10	7869.55	100.10	107.76	97.34	361.42	0.76	1.11	0.56	1	0	0
11	12064.19	123.94	139.49	114.27	446.13	0.76	1.22	0.93	1	0	0
12	8037.54	101.16	142.46	81.87	401.65	0.63	1.74	0.89	0	0	1
13	566.99	26.87	104.83	8.23	189.00	0.20	12.74	0.71	0	0	1
14	577.49	27.12	116.47	9.79	203.30	0.18	11.89	0.26	0	0	1
15	813.73	32.19	157.14	7.55	288.47	0.12	20.81	0.23	0	0	1
16	7145.07	95.38	167.98	60.99	464.00	0.42	2.75	0.20	0	1	0
17	15.75	4.48	7.94	2.65	9.17	2.36	3.00	0.57	0	0	1
18	5969.10	87.18	202.34	48.79	438.08	0.39	4.15	0.56	0	1	0
19	540.74	26.24	35.37	20.32	87.39	0.89	1.74	0.43	0	1	0
20	11250.46	119.69	163.43	90.75	444.23	0.72	1.80	0.74	1	0	0
21	13051.17	128.91	146.15	123.81	477.75	0.72	1.18	0.73	1	0	0
22	4866.63	78.72	159.68	51.58	381.98	0.42	3.10	0.88	0	1	0
23	15917.59	142.36	161.69	128.90	508.72	0.77	1.25	0.49	1	0	0
24	13560.40	131.40	150.65	117.15	457.75	0.81	1.29	0.88	1	0	0
25	14269.14	134.79	155.04	125.66	511.07	0.69	1.23	0.87	1	0	0
26	20511.23	161.60	222.09	119.63	588.94	0.74	1.86	0.87	1	0	0
27	1716.71	46.75	87.85	27.26	208.21	0.50	3.22	0.73	0	0	1
28	7727.80	99.19	157.85	65.06	378.87	0.68	2.43	0.53	1	0	0
29	31.50	6.33	9.17	5.07	15.65	1.62	1.81	0.63	0	0	1
30	9785.75	111.62	132.27	98.56	410.45	0.73	1.34	0.69	1	0	0
31	860.98	33.11	44.46	26.67	117.34	0.79	1.67	0.84	0	1	0
32	8982.52	106.94	127.80	95.10	393.69	0.73	1.34	0.74	1	0	0
								0.84			

33	8987.77	106.97	120.73	97.35	376.70	0.80	1.24		0.89	1	0	0
34	25104.86	178.79	229.32	143.13	672.17	0.70	1.60		0.78	0	1	0
35	834.73	32.60	53.70	21.10	128.96	0.63	2.55		0.61	0	1	0
36	15172.11	138.99	173.27	114.18	501.31	0.76	1.52		0.80	1	0	0
37	24165.13	175.41	193.22	164.10	621.80	0.79	1.18		0.91	1	0	0
38	2798.18	59.69	124.91	39.34	350.36	0.29	3.17		0.48	0	0	1
39	2913.68	60.91	88.84	44.47	224.41	0.73	2.00		0.69	1	0	0
40	20847.22	162.92	193.55	142.08	589.17	0.75	1.36		0.84	1	0	0
41	13549.90	131.35	202.85	88.98	515.62	0.64	2.28		0.65	1	0	0
42	2840.18	60.14	75.20	49.28	215.24	0.77	1.53		0.80	1	0	0
43	792.73	31.77	34.11	30.41	101.93	0.96	1.12		0.93	0	1	0
44	519.74	25.72	38.10	19.56	95.22	0.72	1.95		0.68	0	1	0
45	6893.07	93.68	374.30	32.86	707.80	0.17	11.39		0.25	0	0	1
46	11360.71	120.27	141.45	104.50	434.38	0.76	1.35		0.85	1	0	0
47	19812.99	158.83	253.73	104.26	653.28	0.58	2.43		0.63	1	0	0
48	10168.99	113.79	153.66	85.46	406.46	0.77	1.80		0.74	1	0	0
49	4751.13	77.78	133.21	54.91	348.33	0.49	2.43		0.58	0	1	0
50	971.23	35.17	66.09	21.50	143.50	0.59	3.07		0.53	0	1	0
51	7895.80	100.27	108.64	97.97	365.78	0.74	1.11		0.92	1	0	0
52	6299.84	89.56	231.33	69.52	593.65	0.22	3.33		0.39	0	1	0
53	13812.40	132.61	158.50	112.42	471.59	0.78	1.41		0.84	1	0	0
54	939.73	34.59	51.11	26.89	129.75	0.70	1.90		0.68	0	1	0
55	666.73	29.14	43.26	21.19	107.62	0.72	2.04		0.67	0	1	0
56	10105.99	113.43	148.34	116.71	545.47	0.43	1.27		0.76	0	1	0
57	8699.03	105.24	121.39	92.25	359.39	0.85	1.32		0.87	1	0	0
58	2042.20	50.99	126.26	21.68	286.67	0.31	5.82		0.40	0	0	1
59	7134.57	95.31	111.70	84.67	361.52	0.69	1.32		0.85	1	0	0
60	5522.86	83.86	147.99	63.11	410.58	0.41	2.35		0.57	0	1	0
61	1349.22	41.45	57.70	33.62	159.70	0.66	1.72		0.72	0	1	0
62	21151.71	164.11	180.85	151.28	584.12	0.78	1.20		0.91	1	0	0
63	6383.84	90.16	98.60	84.07	309.21	0.84	1.17		0.91	1	0	0
64	18122.54	151.90	202.52	119.99	574.40	0.69	1.69		0.75	1	0	0
65	8373.54	103.25	104.82	102.23	348.56	0.87	1.03		0.99	1	0	0
66	9145.27	107.91	119.79	98.51	377.16	0.81	1.22		0.90	1	0	0
67	11864.70	122.91	150.77	101.47	436.74	0.78	1.49		0.82	1	0	0

68	16395.33	144.48	181.82	116.43	510.80	0.79	1.56	0.79	1	0	0
69	7838.05	99.90	114.21	90.34	347.45	0.82	1.26	0.87	1	0	0
70	11365.96	120.30	149.73	98.41	430.26	0.77	1.52	0.80	1	0	0
71	1060.47	36.75	45.82	35.74	138.91	0.69	1.28	0.80	0	1	0
72	12258.44	124.93	139.08	113.02	424.89	0.85	1.23	0.90	1	0	0
73	3060.67	62.43	140.05	32.66	300.97	0.42	4.29	0.45	1	0	0
74	14190.39	134.42	155.12	117.96	473.49	0.80	1.32	0.87	1	0	0
75	6268.34	89.34	158.67	66.61	476.18	0.35	2.38	0.56	0	1	0
76	8105.79	101.59	148.57	115.17	597.87	0.28	1.29	0.68	0	1	0
77	1412.21	42.40	48.04	37.96	138.68	0.92	1.27	0.88	1	0	0
78	661.48	29.02	81.00	15.13	192.79	0.22	5.35	0.36	0	0	1
79	1028.97	36.20	40.61	38.81	152.20	0.56	1.05	0.89	0	1	0
80	7486.31	97.63	112.16	86.55	336.94	0.83	1.30	0.87	1	0	0
81	9418.26	109.51	127.49	96.52	380.64	0.82	1.32	0.86	1	0	0
82	44256.37	237.38	436.14	181.90	1411.31	0.28	2.40	0.54	0	1	0
83	41925.43	231.04	457.43	204.17	1910.86	0.14	2.24	0.51	0	1	0
84	8137.29	101.79	128.30	84.11	380.96	0.70	1.53	0.79	1	0	0
85	9008.77	107.10	122.46	95.50	364.99	0.85	1.28	0.87	1	0	0
86	419.99	23.12	34.04	18.02	82.81	0.77	1.89	0.68	0	1	0
87	16300.83	144.07	164.84	127.44	505.57	0.80	1.29	0.87	1	0	0
88	1007.97	35.82	53.25	25.70	134.89	0.70	2.07	0.67	0	1	0
89	10462.98	115.42	188.23	73.65	456.08	0.63	2.56	0.61	1	0	0
90	4793.13	78.12	94.67	67.95	285.97	0.74	1.39	0.83	0	1	0
91	5039.87	80.11	89.61	73.14	275.47	0.83	1.23	0.89	1	0	0
92	36.75	6.84	8.85	6.99	18.89	1.29	1.27	0.77	1	0	0
93	1805.95	47.95	55.64	45.91	178.58	0.71	1.21	0.86	0	1	0
94	1679.96	46.25	76.18	34.42	194.55	0.56	2.21	0.61	0	1	0
95	99.75	11.27	17.29	7.69	33.98	1.09	2.25	0.65	0	1	0
96	46382.56	243.01	720.34	135.24	1730.71	0.19	5.33	0.34	0	1	0
97	99.75	11.27	12.98	10.19	30.74	1.33	1.27	0.87	0	1	0
98	1611.71	45.30	90.59	24.34	201.73	0.50	3.72	0.50	0	0	1
99	2792.93	59.63	75.74	49.08	217.47	0.74	1.54	0.79	1	0	0
100	1548.71	44.41	93.46	30.89	221.49	0.40	3.03	0.48	0	1	0
101	16075.09	143.06	172.14	121.01	511.82	0.77	1.42	0.83	1	0	0
102	136.50	13.18	18.81	9.63	40.46	1.05	1.95	0.70	0	1	0

103	2446.44	55.81	71.64	48.60	221.26	0.63	1.47		0.78	0	1	0
104	10216.24	114.05	122.68	107.17	385.54	0.86	1.14		0.93	1	0	0
105	2257.44	53.61	73.92	41.37	201.73	0.70	1.79		0.73	0	1	0
106	1144.47	38.17	43.95	34.62	127.62	0.88	1.27		0.87	1	0	0
107	5832.60	86.18	112.67	70.35	333.70	0.66	1.60		0.76	1	0	0
108	2498.94	56.41	62.80	51.60	196.13	0.82	1.22		0.90	1	0	0
109	4630.38	76.78	114.84	54.95	291.90	0.68	2.09		0.67	0	0	1
110	19755.24	158.60	295.85	120.77	894.03	0.31	2.45		0.54	0	1	0
111	19697.50	158.37	227.62	112.06	587.60	0.72	2.03		0.70	1	0	0
112	10741.23	116.95	139.37	98.80	408.46	0.81	1.41		0.84	1	0	0
113	4352.14	74.44	76.59	74.76	257.37	0.83	1.02		0.97	1	0	0
114	14316.38	135.01	160.27	115.14	474.60	0.80	1.39		0.84	1	0	0
115	3711.66	68.74	109.31	47.51	276.81	0.61	2.30		0.63	1	0	0
116	430.49	23.41	78.40	9.18	154.23	0.23	8.54		0.30	0	0	1
117	1002.72	35.73	48.24	29.37	140.02	0.64	1.64		0.74	0	1	0
118	824.23	32.40	36.79	30.39	110.86	0.84	1.21		0.88	0	1	0
119	18416.53	153.13	169.70	139.29	528.71	0.83	1.22		0.90	1	0	0
120	12358.18	125.44	141.62	112.02	429.47	0.84	1.26		0.89	1	0	0
121	15702.35	141.40	150.36	134.47	480.76	0.85	1.12		0.94	1	0	0
122	1685.21	46.32	84.00	30.11	208.53	0.49	2.79		0.55	0	1	0
123	1963.45	50.00	156.53	23.37	332.49	0.22	6.70		0.32	0	0	1
124	12058.94	123.91	143.85	107.56	421.97	0.85	1.34		0.86	1	0	0
125	5291.86	82.08	234.73	55.79	526.91	0.24	4.21		0.35	0	1	0
126	488.24	24.93	29.79	25.39	91.19	0.74	1.17		0.84	0	1	0
127	6998.07	94.39	113.09	81.33	334.48	0.79	1.39		0.83	1	0	0
128	10657.23	116.49	139.32	98.25	401.98	0.83	1.42		0.84	1	0	0
129	11318.71	120.05	164.63	93.81	454.28	0.69	1.75		0.73	1	0	0
130	10819.97	117.37	123.79	112.09	391.47	0.89	1.10		0.95	1	0	0
131	7874.80	100.13	120.96	83.56	341.85	0.85	1.45		0.83	1	0	0
132	3879.65	70.28	139.55	60.89	408.36	0.29	2.29		0.50	0	1	0
133	173.25	14.85	25.86	9.76	56.10	0.69	2.65		0.57	0	0	1
134	15082.86	138.58	155.82	124.41	478.86	0.83	1.25		0.89	1	0	0
135	42439.91	232.46	565.48	171.15	1959.24	0.14	3.30		0.41	0	1	0
136	3800.90	69.57	173.46	42.75	485.48	0.20	4.06		0.40	0	0	1
137	15602.60	140.95	162.83	126.34	514.97	0.74	1.29		0.87	1	0	0

138	7738.30	99.26	111.16	89.28	330.23	0.89	1.25		0.89	1	0	0
139	2435.94	55.69	80.77	41.53	215.80	0.66	1.94		0.69	1	0	0
140	1370.21	41.77	85.82	26.43	202.61	0.42	3.25		0.49	0	1	0
141	9287.01	108.74	124.55	99.93	398.18	0.74	1.25		0.87	1	0	0
142	5375.86	82.73	109.11	65.62	297.59	0.76	1.66		0.76	1	0	0
143	19219.76	156.43	173.51	162.64	670.41	0.54	1.07		0.90	0	1	0
144	5790.60	85.87	95.74	78.50	292.92	0.85	1.22		0.90	1	0	0
145	661.48	29.02	38.84	22.06	95.77	0.91	1.76		0.75	0	1	0
146	31.50	6.33	7.94	5.29	13.75	2.09	1.50		0.80	1	0	0
147	10252.99	114.26	132.33	99.30	385.31	0.87	1.33		0.86	1	0	0
148	7213.32	95.83	103.46	89.89	329.67	0.83	1.15		0.93	1	0	0
149	89.25	10.66	15.71	9.10	35.87	0.87	1.73		0.68	0	0	1
150	30611.97	197.42	295.45	164.09	1045.35	0.35	1.80		0.67	0	1	0
151	1522.46	44.03	66.09	31.50	166.73	0.69	2.10		0.67	1	0	0
152	3139.42	63.22	94.32	44.69	244.41	0.66	2.11		0.67	1	0	0
153	682.48	29.48	34.17	26.04	94.99	0.95	1.31		0.86	1	0	0
154	2430.69	55.63	62.06	53.93	197.47	0.78	1.15		0.90	1	0	0
155	12195.44	124.61	147.08	108.52	444.56	0.78	1.36		0.85	1	0	0
156	21.00	5.17	10.58	2.65	13.75	1.40	4.00		0.49	0	1	0
157	561.74	26.74	57.94	15.31	123.27	0.46	3.78		0.46	0	1	0
158	11759.70	122.36	132.94	113.65	423.55	0.82	1.17		0.92	1	0	0
159	2577.68	57.29	85.51	48.01	254.68	0.50	1.78		0.67	0	1	0
160	5832.60	86.18	139.12	73.90	450.48	0.36	1.88		0.62	0	1	0
161	21104.46	163.92	236.80	117.13	626.29	0.68	2.02		0.69	1	0	0
162	1685.21	46.32	55.46	42.50	175.67	0.69	1.30		0.84	0	1	0
163	5097.62	80.56	105.71	62.69	290.88	0.76	1.69		0.76	1	0	0
164	5076.62	80.40	149.16	48.58	354.39	0.51	3.07		0.54	0	0	1
165	1448.96	42.95	53.44	34.93	143.27	0.89	1.53		0.80	0	0	1
166	8468.03	103.84	130.86	86.32	380.73	0.73	1.52		0.79	1	0	0
167	18952.02	155.34	162.32	153.23	548.58	0.79	1.06		0.96	1	0	0
168	7139.82	95.35	113.80	80.79	327.22	0.84	1.41		0.84	1	0	0
169	16610.58	145.43	190.64	116.74	554.73	0.68	1.63		0.76	1	0	0
170	1742.96	47.11	60.39	37.49	163.49	0.82	1.61		0.78	1	0	0
171	162.75	14.39	18.85	13.01	48.84	0.86	1.45		0.76	0	0	1
172	24117.88	175.24	243.87	127.37	638.88	0.74	1.91		0.72	1	0	0

173	6761.83	92.79	130.63	68.22	346.10	0.71	1.91		0.71	1	0	0
174	1065.72	36.84	53.04	32.47	151.64	0.58	1.63		0.69	0	1	0
175	2162.94	52.48	59.45	47.99	180.16	0.84	1.24		0.88	1	0	0
176	913.48	34.10	53.30	24.25	127.62	0.70	2.20		0.64	0	1	0
177	11145.47	119.13	125.00	114.91	409.80	0.83	1.09		0.95	1	0	0
178	13518.40	131.20	137.54	126.37	446.46	0.85	1.09		0.95	1	0	0
179	24060.13	175.03	203.52	153.37	627.59	0.77	1.33		0.86	1	0	0
180	755.98	31.02	37.61	26.89	104.15	0.88	1.40		0.82	0	1	0
181	5008.37	79.86	101.56	64.36	281.62	0.79	1.58		0.79	1	0	0
182	4346.89	74.40	79.90	70.30	252.79	0.85	1.14		0.93	1	0	0
183	6478.33	90.82	110.50	76.63	313.93	0.83	1.44		0.82	1	0	0
184	1338.72	41.29	105.82	23.34	220.38	0.35	4.53		0.39	0	1	0
185	3575.16	67.47	107.74	45.11	262.97	0.65	2.39		0.63	0	0	1
186	419.99	23.12	72.78	8.82	145.07	0.25	8.25		0.32	0	0	1
187	2257.44	53.61	63.65	45.93	181.59	0.86	1.39		0.84	1	0	0
188	25157.36	178.97	197.00	167.20	632.63	0.79	1.18		0.91	1	0	0
189	10557.48	115.94	135.71	103.61	429.14	0.72	1.31		0.85	1	0	0
190	5060.87	80.27	92.52	72.58	280.05	0.81	1.27		0.87	1	0	0
191	14888.62	137.68	158.30	121.37	485.57	0.79	1.30		0.87	1	0	0
192	10657.23	116.49	124.96	112.76	437.85	0.70	1.11		0.93	1	0	0
193	16489.83	144.90	159.41	134.97	514.41	0.78	1.18		0.91	1	0	0
194	2393.94	55.21	79.87	47.01	244.96	0.50	1.70		0.69	0	1	0
195	23377.65	172.53	232.40	134.64	651.75	0.69	1.73		0.74	1	0	0
196	3769.40	69.28	91.49	53.79	255.47	0.73	1.70		0.76	1	0	0
197	6919.32	93.86	163.17	73.44	518.21	0.32	2.22		0.58	0	1	0
198	31.50	6.33	7.94	5.29	13.75	2.09	1.50		0.80	0	1	0
199	8011.30	101.00	117.71	88.52	355.59	0.80	1.33		0.86	1	0	0
200	493.49	25.07	98.31	8.23	195.48	0.16	11.94		0.25	0	0	1
201	78.75	10.01	15.20	7.55	31.29	1.01	2.01		0.66	0	0	1
202	1196.97	39.04	48.46	34.22	140.02	0.77	1.42		0.81	0	1	0
203	871.48	33.31	46.30	24.87	117.34	0.80	1.86		0.72	0	1	0
204	16757.57	146.07	174.68	124.41	524.46	0.77	1.40		0.84	1	0	0
205	566.99	26.87	35.34	21.96	95.22	0.79	1.61		0.76	0	1	0
206	2892.68	60.69	72.06	53.66	216.03	0.78	1.34		0.84	1	0	0
207	2078.95	51.45	74.75	42.65	221.49	0.53	1.75		0.69	0	1	0

208	2147.20	52.29	71.95	39.30	191.54	0.74	1.83		0.73	1	0	0
209	20358.98	161.00	172.49	155.08	570.15	0.79	1.11		0.93	1	0	0
210	11182.21	119.32	146.89	100.76	434.28	0.75	1.46		0.81	1	0	0
211	6305.09	89.60	95.15	85.20	308.10	0.83	1.12		0.94	1	0	0
212	147.00	13.68	21.56	13.63	59.34	0.52	1.58		0.63	0	0	1
213	698.23	29.82	59.23	15.73	125.95	0.55	3.77		0.50	1	0	0
214	1275.72	40.30	46.76	42.57	158.91	0.63	1.10		0.86	0	1	0
215	4047.65	71.79	91.02	59.48	260.61	0.75	1.53		0.79	0	1	0
216	11192.71	119.38	134.33	110.71	434.93	0.74	1.21		0.89	1	0	0
217	1107.72	37.56	69.91	24.66	183.40	0.41	2.83		0.54	0	1	0
218	1790.20	47.74	68.13	35.81	184.28	0.66	1.90		0.70	0	1	0
219	3653.91	68.21	85.19	57.96	246.30	0.76	1.47		0.80	1	0	0
220	1585.46	44.93	91.82	23.09	206.31	0.47	3.98		0.49	0	1	0
221	4577.88	76.35	165.49	44.83	412.81	0.34	3.69		0.46	0	1	0
222	63.00	8.96	13.95	6.94	28.05	1.01	2.01		0.64	0	0	1
223	10489.23	115.57	141.12	99.85	425.21	0.73	1.41		0.82	1	0	0
224	15749.60	141.61	153.47	133.92	526.58	0.71	1.15		0.92	1	0	0
225	330.74	20.52	28.55	15.60	69.06	0.87	1.83		0.72	0	1	0
226	5501.86	83.70	111.65	66.35	306.99	0.73	1.68		0.75	1	0	0
227	10116.49	113.49	128.75	104.10	413.27	0.74	1.24		0.88	1	0	0
228	1632.71	45.59	59.80	40.04	172.10	0.69	1.49		0.76	1	0	0
229	230.99	17.15	21.08	14.53	52.08	1.07	1.45		0.81	0	1	0
230	272.99	18.64	29.69	14.64	74.99	0.61	2.03		0.63	0	0	1
231	10714.98	116.80	121.13	116.17	412.48	0.79	1.04		0.96	1	0	0
232	1317.72	40.96	43.01	42.27	144.61	0.79	1.02		0.95	0	1	0
233	708.73	30.04	37.22	25.11	102.25	0.85	1.48		0.81	0	1	0
234	19214.51	156.41	185.16	135.72	551.72	0.79	1.36		0.84	1	0	0
235	12363.43	125.47	147.83	108.23	433.82	0.83	1.37		0.85	1	0	0
236	12384.43	125.57	154.06	104.35	445.02	0.79	1.48		0.82	1	0	0
237	6394.34	90.23	109.46	81.15	342.31	0.69	1.35		0.82	0	0	1
238	8179.29	102.05	112.17	98.26	370.68	0.75	1.14		0.91	1	0	0
239	68.25	9.32	18.66	5.15	33.98	0.74	3.62		0.50	0	0	1
240	666.73	29.14	37.50	23.61	99.24	0.85	1.59		0.78	0	1	0
241	14363.63	135.23	139.72	134.48	482.43	0.78	1.04		0.97	1	0	0
242	1433.21	42.72	52.27	35.67	140.26	0.92	1.47		0.82	0	1	0

243	3155.17	63.38	88.34	48.50	240.15	0.69	1.82		0.72	0	1	0
244	13990.89	133.47	205.39	91.04	569.03	0.54	2.26		0.65	1	0	0
245	1769.20	47.46	58.96	41.17	168.54	0.78	1.43		0.81	0	1	0
246	6593.83	91.63	119.02	75.55	339.39	0.72	1.58		0.77	1	0	0
247	11292.46	119.91	220.02	80.05	610.55	0.38	2.75		0.54	0	0	1
248	9565.26	110.36	132.25	100.20	442.66	0.61	1.32		0.83	1	0	0
249	6347.09	89.90	170.54	51.60	427.67	0.44	3.30		0.53	0	1	0
250	9365.76	109.20	132.25	91.87	378.97	0.82	1.44		0.83	1	0	0
251	16279.83	143.97	150.90	140.76	511.63	0.78	1.07		0.95	1	0	0
252	12184.94	124.56	146.91	109.48	440.40	0.79	1.34		0.85	1	0	0
253	15208.86	139.16	190.29	106.02	522.23	0.70	1.79		0.73	1	0	0
254	31.50	6.33	10.34	4.62	16.99	1.37	2.24		0.61	0	0	1
255	26559.07	183.89	210.38	165.91	654.99	0.78	1.27		0.87	1	0	0
256	14652.38	136.59	144.09	130.83	484.23	0.79	1.10		0.95	1	0	0
257	15161.61	138.94	147.42	132.88	487.70	0.80	1.11		0.94	1	0	0
258	15765.35	141.68	166.05	125.04	505.80	0.77	1.33		0.85	1	0	0
259	14090.64	133.94	148.05	125.43	493.07	0.73	1.18		0.90	1	0	0
260	2299.44	54.11	87.56	38.39	220.15	0.60	2.28		0.62	0	1	0
261	2204.94	52.99	91.65	34.29	241.63	0.47	2.67		0.58	0	0	1
262	10783.22	117.17	137.89	101.99	411.04	0.80	1.35		0.85	1	0	0
263	1233.72	39.63	67.05	28.39	201.50	0.38	2.36		0.59	0	1	0
264	1653.71	45.89	80.70	27.74	191.54	0.57	2.91		0.57	0	1	0
265	908.23	34.01	52.55	23.25	128.64	0.69	2.26		0.65	0	1	0
266	6945.57	94.04	115.55	78.14	328.23	0.81	1.48		0.81	1	0	0
267	1322.97	41.04	41.77	41.39	134.56	0.92	1.01		0.98	1	0	0
268	913.48	34.10	53.46	24.96	131.09	0.67	2.14		0.64	0	1	0
269	4961.12	79.48	204.32	43.81	516.44	0.23	4.66		0.39	0	0	1
270	860.98	33.11	44.54	26.55	118.68	0.77	1.68		0.74	0	1	0
271	1858.45	48.64	89.39	35.00	238.16	0.41	2.55		0.54	1	0	0
272	346.49	21.00	32.36	17.42	83.37	0.63	1.86		0.65	0	1	0
273	713.98	30.15	50.43	26.01	154.00	0.38	1.94		0.60	0	0	1
274	1023.72	36.10	68.50	20.74	157.47	0.52	3.30		0.53	0	0	1
275	708.73	30.04	51.40	20.66	124.61	0.57	2.49		0.58	0	0	1
276	42.00	7.31	9.48	6.60	18.89	1.48	1.44		0.77	0	0	1

Código: H8-11a

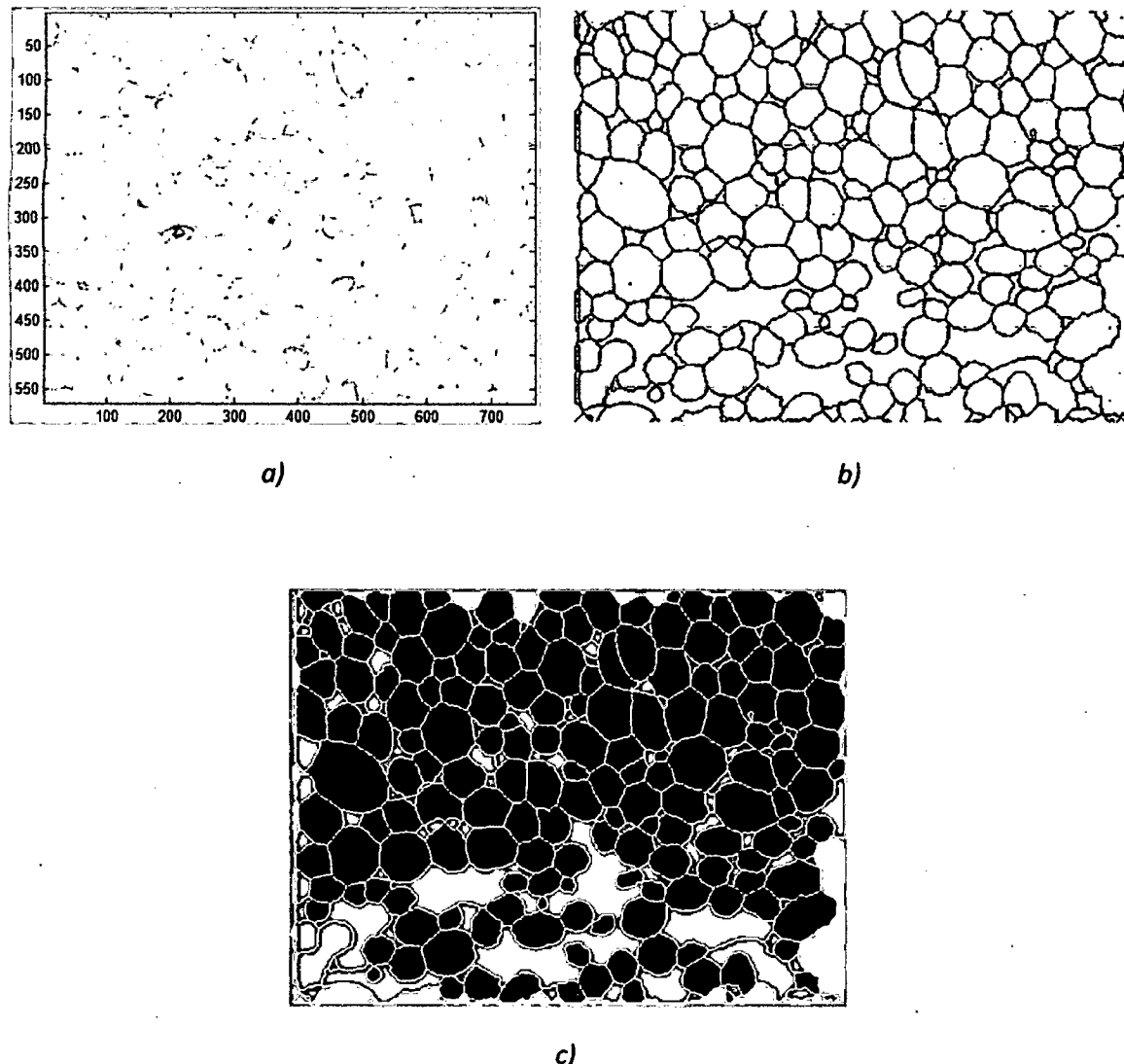


Figura A6. a) Imagen Original b) Imagen procesada c)Imagen segmentada y clasificada

Tabla A6. Parámetros de tamaño y forma y clasificación de elementos en micrografía H8-11a

N.º	Área	Deq	Ejemay	Ejemen	Per	Red	Elg	Comp	Célula	Espint	Elem No Rec
1	94.50	10.97	14.43	11.16	37.77	0.83	1.29	0.76	0	0	1
2	236.24	17.34	73.45	6.52	129.98	0.18	11.27	0.24	0	0	1
3	666.73	29.14	61.08	16.91	137.01	0.45	3.61	0.48	0	0	1
4	1685.21	46.32	104.79	22.58	238.39	0.37	4.64	0.44	0	0	1
5	5087.12	80.48	453.87	22.70	946.18	0.07	19.99	0.18	0	0	1
6	430.49	23.41	80.13	8.20	155.58	0.22	9.78	0.29	0	0	1
7	31.50	6.33	9.17	5.07	15.65	1.62	1.81	0.69	0	0	1
8	761.23	31.13	48.28	22.14	120.03	0.66	2.18	0.64	0	0	1
9	209.99	16.35	24.82	12.41	58.00	0.78	2.00	0.66	0	0	1
10	293.99	19.35	57.13	7.11	105.95	0.33	8.03	0.34	0	0	1
11	740.23	30.70	152.88	7.86	269.35	0.13	19.46	0.20	0	0	1
12	488.24	24.93	108.81	6.80	193.58	0.16	16.00	0.23	0	0	1
13	309.74	19.86	78.15	6.03	141.27	0.20	12.96	0.25	0	0	1
14	561.74	26.74	124.64	8.33	211.12	0.16	14.95	0.21	0	0	1
15	572.24	26.99	39.22	23.44	111.42	0.58	1.67	0.69	0	0	1
16	1879.45	48.92	60.74	45.83	191.54	0.64	1.33	0.81	0	1	0
17	5580.61	84.29	105.61	69.92	313.37	0.71	1.51	0.80	0	1	0
18	5344.36	82.49	100.05	72.42	297.27	0.76	1.38	0.82	1	0	0
19	1711.46	46.68	83.63	35.46	224.96	0.42	2.36	0.56	0	1	0
20	1632.71	45.59	79.58	28.36	190.43	0.57	2.81	0.57	0	1	0
21	1060.47	36.75	45.02	32.15	127.29	0.82	1.40	0.82	0	1	0
22	5412.61	83.02	104.12	72.46	315.60	0.68	1.44	0.80	0	1	0
23	3428.16	66.07	88.08	52.33	245.52	0.71	1.68	0.75	0	1	0
24	8804.02	105.88	109.79	103.89	362.54	0.84	1.06	0.96	1	0	0
25	12820.17	127.76	177.72	95.08	488.49	0.68	1.87	0.72	1	0	0
26	2714.18	58.79	94.30	40.55	242.74	0.58	2.33	0.62	0	1	0
27	18894.27	155.10	269.00	99.56	672.21	0.53	2.70	0.58	0	1	0
28	15534.35	140.64	154.54	129.47	481.64	0.84	1.19	0.91	1	0	0
29	9738.50	111.35	117.47	112.52	394.94	0.78	1.04	0.95	1	0	0
30	1627.46	45.52	60.77	42.58	189.65	0.57	1.43	0.75	0	1	0
31	5165.87	81.10	133.46	56.78	329.90	0.60	2.35	0.61	1	0	0
32	813.73	32.19	50.36	22.47	120.58	0.70	2.24	0.64	0	1	0
33	40843.96	228.04	267.94	195.24	817.47	0.77	1.37	0.85	1	0	0
34	3632.91	68.01	75.22	63.66	234.69	0.83	1.18	0.90	1	0	0
35	31.50	6.33	10.34	4.62	16.99	1.37	2.24	0.61	0	1	0
36	10462.98	115.42	155.50	87.24	426.00	0.72	1.78	0.74	1	0	0
37	7229.07	95.94	110.36	84.59	332.59	0.82	1.30	0.87	1	0	0
38	7885.30	100.20	178.97	58.67	421.78	0.56	3.05	0.56	0	0	1
39	22684.67	169.95	252.69	190.43	970.45	0.30	1.33	0.67	0	1	0
40	388.49	22.24	27.27	19.85	73.09	0.91	1.37	0.82	0	1	0
41	425.24	23.27	32.69	22.69	96.33	0.58	1.44	0.71	0	1	0
42	18306.28	152.67	385.26	96.78	1135.98	0.18	3.98	0.40	0	1	0
43	2246.94	53.49	76.97	42.80	218.02	0.59	1.80	0.69	0	1	0
44	10583.73	116.08	127.57	107.81	403.55	0.82	1.18	0.91	1	0	0
45	22280.43	168.43	179.23	159.36	563.57	0.88	1.12	0.94	1	0	0
46	488.24	24.93	34.47	21.97	100.35	0.61	1.57	0.72	0	1	0
47	1317.72	40.96	53.11	32.38	140.26	0.84	1.64	0.77	0	1	0
48	13345.16	130.35	150.44	114.81	452.94	0.82	1.31	0.87	1	0	0
49	1312.47	40.88	63.41	27.83	155.67	0.68	2.28	0.64	0	1	0
50	9665.00	110.93	153.77	81.93	418.73	0.69	1.88	0.72	1	0	0
51	2152.44	52.35	63.24	47.92	201.73	0.66	1.32	0.83	0	1	0
52	6441.59	90.56	100.35	82.81	306.43	0.86	1.21	0.90	1	0	0
53	3716.90	68.79	72.79	68.26	240.61	0.81	1.07	0.95	1	0	0
54	729.73	30.48	67.96	17.28	151.55	0.40	3.93	0.45	0	0	1
55	729.73	30.48	47.50	22.63	122.48	0.61	2.10	0.64	0	1	0
56	11980.19	123.51	146.51	106.51	434.61	0.80	1.38	0.84	1	0	0
57	5879.85	86.52	106.37	74.80	317.59	0.73	1.42	0.81	1	0	0
58	6620.08	91.81	95.69	88.82	311.90	0.86	1.08	0.96	1	0	0
59	4588.38	76.43	84.77	71.61	266.76	0.81	1.18	0.90	1	0	0
60	4656.63	77.00	98.00	64.09	271.90	0.79	1.53	0.79	1	0	0
61	1968.70	50.07	57.70	44.77	168.08	0.88	1.29	0.87	0	1	0
62	1186.47	38.87	41.40	37.12	124.94	0.96	1.12	0.94	1	0	0
63	3575.16	67.47	81.15	60.91	254.13	0.70	1.33	0.83	0	1	0
64	839.98	32.70	45.98	29.91	132.20	0.60	1.54	0.71	0	1	0
65	36.75	6.84	9.88	5.11	16.99	1.60	1.94	0.69	0	0	1
66	4619.88	76.70	86.55	70.08	271.44	0.79	1.23	0.89	1	0	0
67	5790.60	85.87	112.23	67.04	303.52	0.79	1.67	0.77	1	0	0
68	362.24	21.48	40.52	14.68	91.42	0.54	2.76	0.53	0	1	0
69	3249.67	64.32	138.43	75.87	434.05	0.22	1.82	0.46	0	1	0
70	19188.26	156.30	159.67	153.59	516.63	0.90	1.04	0.98	1	0	0
71	2183.94	52.73	107.69	54.29	301.39	0.30	1.98	0.49	0	1	0

72	9318.51	108.93	126.08	96.02	379.85	0.81	1.31	0.86	1	0	0
73	6420.59	90.42	99.69	83.02	304.63	0.87	1.20	0.91	1	0	0
74	52.50	8.18	16.67	4.84	29.39	0.76	3.45	0.49	0	0	1
75	14295.38	134.91	150.61	124.85	480.76	0.78	1.21	0.90	1	0	0
76	9407.76	109.45	122.47	98.40	376.61	0.83	1.24	0.89	1	0	0
77	944.98	34.69	50.14	32.55	146.74	0.55	1.54	0.69	0	1	0
78	13318.91	130.22	147.06	117.14	445.58	0.84	1.26	0.89	1	0	0
79	9507.51	110.02	113.21	108.18	376.84	0.84	1.05	0.97	1	0	0
80	35489.09	212.57	368.74	141.32	1258.10	0.28	2.61	0.58	0	1	0
81	14116.89	134.07	149.83	121.31	477.52	0.78	1.24	0.89	1	0	0
82	84.00	10.34	21.66	5.26	38.56	0.71	4.12	0.48	0	0	1
83	11880.45	122.99	138.12	110.10	419.52	0.85	1.25	0.89	1	0	0
84	4157.89	72.76	141.34	42.11	317.96	0.52	3.36	0.51	0	0	1
85	4472.89	75.47	78.84	73.51	258.15	0.84	1.07	0.96	1	0	0
86	440.99	23.70	31.03	23.50	93.32	0.64	1.32	0.76	0	1	0
87	5522.86	83.86	102.68	72.51	307.87	0.73	1.42	0.82	1	0	0
88	12631.18	126.82	149.79	114.32	476.96	0.70	1.31	0.85	1	0	0
89	887.23	33.61	40.24	30.12	116.33	0.82	1.34	0.84	0	1	0
90	4677.63	77.17	92.50	66.20	268.99	0.81	1.40	0.83	1	0	0
91	335.99	20.68	49.32	12.28	99.57	0.43	4.02	0.42	0	1	0
92	19650.25	158.18	173.46	145.31	543.11	0.84	1.19	0.91	1	0	0
93	10.50	3.66	5.29	2.65	4.58	6.28	2.00	0.69	0	0	1
97	1249.47	39.89	58.90	28.31	145.72	0.74	2.08	0.68	0	1	0
98	13129.91	129.30	148.52	114.12	459.19	0.78	1.30	0.87	1	0	0
99	4058.15	71.88	76.83	69.22	251.12	0.81	1.11	0.94	1	0	0
100	530.24	25.98	38.44	21.28	99.80	0.67	1.81	0.68	0	1	0
101	3758.90	69.18	81.42	59.88	234.69	0.86	1.36	0.85	1	0	0
102	3984.65	71.23	75.49	68.13	239.59	0.87	1.11	0.94	1	0	0
103	110.25	11.85	15.44	9.71	34.53	1.16	1.59	0.77	0	1	0
104	7601.81	98.38	105.54	94.10	351.24	0.77	1.12	0.93	1	0	0
105	12200.69	124.64	131.87	119.85	426.33	0.84	1.10	0.95	1	0	0
106	131.25	12.93	42.99	5.11	73.88	0.30	8.42	0.30	0	0	1
107	887.23	33.61	39.96	29.58	110.63	0.91	1.35	0.84	0	1	0
108	3827.15	69.81	98.61	53.34	268.11	0.67	1.85	0.71	0	0	1
109	8993.02	107.01	125.21	93.50	379.62	0.78	1.34	0.85	1	0	0
110	89158.47	336.93	680.98	371.57	3640.13	0.08	1.83	0.49	0	1	0
111	1265.22	40.14	49.57	35.73	148.96	0.72	1.39	0.81	0	1	0
112	3291.67	64.74	103.53	52.48	284.86	0.51	1.97	0.63	0	1	0
113	519.74	25.72	29.94	24.36	86.05	0.88	1.23	0.86	0	0	1
114	10.50	3.66	5.29	2.65	4.58	6.28	2.00	0.69	0	0	1
115	14605.13	136.37	151.97	123.54	459.98	0.87	1.23	0.90	1	0	0
116	8641.28	104.89	115.79	97.47	374.48	0.77	1.19	0.91	1	0	0
117	17046.31	147.32	163.20	133.96	496.87	0.87	1.22	0.90	1	0	0
118	813.73	32.19	63.36	19.33	140.81	0.52	3.28	0.51	0	1	0
119	3711.66	68.74	71.13	67.41	230.43	0.88	1.06	0.97	1	0	0
120	11644.20	121.76	129.12	115.72	413.27	0.86	1.12	0.94	1	0	0
121	3905.90	70.52	113.74	47.28	284.63	0.61	2.41	0.62	0	1	0
122	78.75	10.01	20.11	5.26	35.32	0.79	3.83	0.50	1	0	0
123	7964.05	100.70	113.80	90.75	353.14	0.80	1.25	0.88	1	0	0
124	913.48	34.10	52.93	31.17	153.22	0.49	1.70	0.64	0	1	0
125	10961.72	118.14	128.64	109.84	408.13	0.83	1.17	0.92	1	0	0
126	5512.36	83.78	88.19	80.98	280.05	0.88	1.09	0.95	1	0	0
127	934.48	34.49	75.72	23.90	175.34	0.38	3.17	0.46	0	1	0
128	288.74	19.17	60.81	7.90	119.47	0.25	7.69	0.32	0	0	1
129	923.98	34.30	43.24	29.98	124.05	0.75	1.44	0.79	0	1	0
130	9896.00	112.25	125.16	102.72	392.25	0.81	1.22	0.90	1	0	0
131	7643.80	98.65	110.42	91.75	350.23	0.78	1.20	0.89	1	0	0
132	4882.38	78.84	95.98	69.75	289.22	0.73	1.38	0.82	1	0	0
133	997.47	35.64	44.10	31.79	128.18	0.76	1.39	0.81	0	1	0
134	10347.49	114.78	137.22	98.50	393.83	0.84	1.39	0.84	1	0	0
135	8053.29	101.26	136.85	77.02	379.85	0.70	1.78	0.74	1	0	0
136	2304.69	54.17	64.31	47.93	190.20	0.80	1.34	0.84	1	0	0
137	7276.31	96.25	104.34	91.43	340.41	0.79	1.14	0.92	1	0	0
138	3559.41	67.32	80.13	57.36	226.86	0.87	1.40	0.84	1	0	0
139	10961.72	118.14	132.46	106.66	407.44	0.83	1.24	0.89	1	0	0
140	9854.00	112.01	126.26	100.73	386.33	0.83	1.25	0.89	1	0	0
141	2813.93	59.86	106.12	43.91	290.33	0.42	2.42	0.56	0	1	0
142	5638.36	84.73	100.94	75.61	305.32	0.76	1.33	0.84	0	0	1
143	13439.66	130.81	162.03	106.23	462.66	0.79	1.53	0.81	1	0	0
144	9024.52	107.19	131.12	89.69	386.10	0.76	1.46	0.82	1	0	0
145	3123.67	63.06	89.53	51.89	267.87	0.55	1.73	0.70	0	1	0
146	9449.76	109.69	119.75	101.41	375.27	0.84	1.18	0.92	1	0	0
147	99.75	11.27	21.47	7.27	45.04	0.62	2.95	0.52	0	0	1
148	367.49	21.63	30.79	15.88	71.75	0.90	1.94	0.70	0	1	0
149	12914.67	128.23	156.40	107.74	450.72	0.80	1.45	0.82	1	0	0
150	6478.33	90.82	111.53	74.58	310.56	0.84	1.50	0.81	1	0	0
151	1170.72	38.61	58.17	29.41	153.77	0.62	1.98	0.66	0	0	1
152	1081.47	37.11	90.16	20.44	192.66	0.37	4.41	0.41	0	1	0
153	8494.28	104.00	104.87	104.18	351.01	0.87	1.01	0.99	1	0	0
154	3659.16	68.26	135.38	65.26	394.71	0.30	2.07	0.50	0	1	0
155	6567.58	91.44	92.64	91.01	299.40	0.92	1.02	0.99	1	0	0
156	6572.83	91.48	98.55	85.83	310.79	0.86	1.15	0.93	1	0	0

157	19692.25	158.34	183.16	138.85	556.30	0.80	1.32	0.86	1	0	0
158	8977.27	106.91	117.55	100.08	380.64	0.78	1.17	0.91	1	0	0
159	698.23	29.82	37.22	24.71	100.35	0.87	1.51	0.80	1	0	0
160	6131.84	88.36	134.48	61.66	339.30	0.67	2.18	0.66	1	0	0
161	1317.72	40.96	47.05	39.98	145.16	0.79	1.18	0.87	0	1	0
162	8095.29	101.52	109.04	95.29	340.50	0.88	1.14	0.93	1	0	0
163	209.99	16.35	24.82	12.41	58.00	0.78	2.00	0.66	0	1	0
164	320.24	20.19	32.93	14.36	74.99	0.72	2.29	0.61	0	1	0
165	488.24	24.93	35.51	18.81	85.82	0.83	1.89	0.70	0	1	0
166	12389.68	125.60	144.70	111.43	442.99	0.79	1.30	0.87	1	0	0
167	4241.89	73.49	86.75	64.05	252.46	0.84	1.35	0.85	1	0	0
168	16227.34	143.74	165.37	126.62	506.68	0.79	1.31	0.87	1	0	0
169	1391.21	42.09	45.25	40.38	142.15	0.87	1.12	0.93	1	0	0
170	6887.82	93.65	99.85	88.28	314.58	0.87	1.13	0.94	1	0	0
171	8284.29	102.70	122.21	88.06	361.52	0.80	1.39	0.84	1	0	0
172	3307.42	64.89	83.35	52.07	230.10	0.78	1.60	0.78	1	0	0
173	461.99	24.25	38.85	16.83	88.18	0.75	2.31	0.62	0	1	0
174	892.48	33.71	38.73	32.34	119.24	0.79	1.20	0.87	0	1	0
175	3921.65	70.66	82.45	61.40	242.51	0.84	1.34	0.86	1	0	0
176	2840.18	60.14	73.83	50.39	211.22	0.80	1.47	0.81	1	0	0
177	341.24	20.84	26.77	19.28	74.99	0.76	1.39	0.78	0	1	0
178	8200.29	102.18	106.77	98.95	349.67	0.84	1.08	0.96	1	0	0
179	1842.70	48.44	54.58	45.72	168.63	0.81	1.19	0.89	0	1	0
180	11995.94	123.59	144.95	107.61	428.13	0.82	1.35	0.85	1	0	0
181	4562.13	76.21	89.95	66.06	262.51	0.83	1.36	0.85	1	0	0
182	419.99	23.12	61.10	9.85	118.92	0.37	6.20	0.38	0	0	1
183	734.98	30.59	46.35	22.26	116.79	0.68	2.08	0.66	0	1	0
184	19487.50	157.52	175.43	144.18	543.80	0.83	1.22	0.90	1	0	0
185	10347.49	114.78	134.52	99.27	401.74	0.81	1.36	0.85	1	0	0
186	2929.43	61.07	77.02	49.61	216.59	0.78	1.55	0.79	1	0	0
187	881.98	33.51	40.11	28.99	112.76	0.87	1.38	0.84	0	1	0
188	5669.86	84.97	95.93	77.66	302.96	0.78	1.24	0.89	1	0	0
189	509.24	25.46	49.20	16.83	111.42	0.52	2.92	0.52	0	1	0
190	11329.21	120.10	200.04	85.24	529.27	0.51	2.35	0.60	1	0	0
191	2651.18	58.10	71.64	49.72	214.46	0.72	1.44	0.81	0	1	0
192	8856.52	106.19	127.37	91.12	389.57	0.73	1.40	0.83	1	0	0
193	2924.18	61.02	69.40	54.33	205.29	0.87	1.28	0.88	1	0	0
194	7328.81	96.60	102.63	91.54	322.17	0.89	1.12	0.94	1	0	0
195	1821.70	48.16	78.93	34.14	199.60	0.57	2.31	0.61	0	0	1
196	10441.98	115.30	116.22	115.58	399.06	0.82	1.01	0.99	1	0	0
197	16363.83	144.34	183.95	115.12	516.63	0.77	1.60	0.78	1	0	0
198	2850.68	60.25	86.93	42.82	222.28	0.73	2.03	0.69	1	0	0
199	12232.19	124.80	136.13	116.80	443.54	0.78	1.17	0.92	1	0	0
200	624.73	28.20	49.22	18.57	111.42	0.63	2.65	0.57	0	1	0
201	63.00	8.96	12.15	7.24	24.81	1.29	1.68	0.74	0	0	1
202	7124.07	95.24	108.30	84.85	323.19	0.86	1.28	0.88	1	0	0
203	4294.39	73.94	92.91	60.52	265.75	0.76	1.54	0.80	1	0	0
204	13859.65	132.84	144.89	123.57	458.86	0.83	1.17	0.92	1	0	0
205	3753.65	69.13	74.16	67.11	232.79	0.87	1.11	0.93	1	0	0
206	16232.58	143.76	196.88	106.78	527.05	0.73	1.84	0.73	1	0	0
207	1469.96	43.26	57.87	37.59	174.00	0.61	1.54	0.75	0	1	0
208	12552.43	126.42	169.00	111.22	564.03	0.50	1.52	0.75	0	1	0
209	12011.69	123.67	126.01	122.11	422.76	0.84	1.03	0.98	1	0	0
210	2325.69	54.42	59.00	52.79	188.86	0.82	1.12	0.92	1	0	0
211	2467.44	56.05	113.19	35.66	280.05	0.40	3.17	0.50	0	1	0
212	2010.70	50.60	74.24	39.74	200.94	0.63	1.87	0.68	0	0	1
213	3727.40	68.89	77.88	61.81	233.02	0.86	1.26	0.88	1	0	0
214	488.24	24.93	33.58	21.23	86.61	0.82	1.58	0.74	0	1	0
215	147.00	13.68	48.38	5.10	81.70	0.28	9.48	0.28	0	0	1
216	1086.72	37.20	50.53	28.92	131.09	0.79	1.75	0.74	0	1	0
217	5879.85	86.52	88.50	85.40	291.67	0.87	1.04	0.98	1	0	0
218	14578.88	136.24	159.08	120.26	497.42	0.74	1.32	0.86	1	0	0
219	9938.00	112.49	125.92	101.24	376.38	0.88	1.24	0.89	1	0	0
220	13660.15	131.88	147.71	119.34	464.79	0.79	1.24	0.89	1	0	0
221	456.74	24.12	38.14	18.33	95.77	0.63	2.08	0.63	0	1	0
222	1013.22	35.92	43.69	29.98	117.34	0.92	1.46	0.82	1	0	0
223	356.99	21.32	25.42	19.02	67.72	0.98	1.34	0.84	0	1	0
224	7528.31	97.90	109.03	90.57	340.18	0.82	1.20	0.90	1	0	0
225	31084.46	198.94	363.64	118.14	973.37	0.41	3.08	0.55	0	1	0
226	12725.67	127.29	153.68	107.15	447.01	0.80	1.43	0.83	1	0	0
227	16390.08	144.46	165.96	127.07	505.80	0.81	1.31	0.87	1	0	0
228	12279.44	125.04	144.01	109.70	433.27	0.82	1.31	0.87	1	0	0
229	414.74	22.98	39.27	15.70	89.85	0.65	2.50	0.59	0	1	0
230	1086.72	37.20	43.54	32.39	120.58	0.94	1.34	0.85	1	0	0
231	23146.66	171.67	180.04	164.89	586.58	0.85	1.09	0.95	1	0	0
232	4693.38	77.30	100.02	62.21	275.47	0.78	1.61	0.77	1	0	0
233	7271.06	96.22	104.12	91.82	342.86	0.78	1.13	0.92	1	0	0
234	10.50	3.66	5.29	2.65	4.58	6.28	2.00	0.69	1	0	0
235	6236.84	89.11	237.29	75.93	602.45	0.22	3.13	0.38	0	1	0
236	13896.39	133.02	135.42	131.88	451.92	0.86	1.03	0.98	1	0	0
237	10063.99	113.20	119.59	108.34	390.13	0.83	1.10	0.95	1	0	0
238	755.98	31.02	56.00	28.17	155.67	0.39	1.99	0.55	0	1	0

240	692.98	29.70	46.59	21.55	114.10	0.67	2.16	0.64	0	1	0
241	6777.58	92.89	105.70	83.40	315.92	0.85	1.27	0.88	1	0	0
242	10520.73	115.74	150.04	90.06	404.89	0.81	1.67	0.77	1	0	0
243	7244.81	96.04	100.47	92.83	323.75	0.87	1.08	0.96	1	0	0
244	2246.94	53.49	79.66	43.27	229.78	0.53	1.84	0.67	0	0	1
245	17046.31	147.32	170.07	130.44	523.90	0.78	1.30	0.87	1	0	0
246	619.48	28.08	77.87	11.31	158.82	0.31	6.89	0.36	0	0	1
247	20521.73	161.64	314.67	125.99	892.46	0.32	2.50	0.51	0	1	0
248	1055.22	36.65	59.25	24.01	141.83	0.66	2.47	0.62	0	1	0
249	1774.45	47.53	96.73	29.13	225.06	0.44	3.32	0.49	0	1	0
250	7838.05	99.90	104.37	96.18	331.34	0.90	1.09	0.96	1	0	0
251	6961.32	94.15	120.80	75.31	334.58	0.78	1.60	0.78	1	0	0
252	1034.22	36.29	74.75	21.09	163.26	0.49	3.54	0.49	0	1	0
253	22616.42	169.69	201.58	144.46	602.92	0.78	1.40	0.84	1	0	0
254	7439.06	97.32	112.43	85.31	334.81	0.83	1.32	0.87	1	0	0
255	9276.51	108.68	125.35	101.09	406.00	0.71	1.24	0.87	1	0	0
256	1853.20	48.58	103.32	31.21	236.58	0.42	3.31	0.47	0	1	0
257	509.24	25.46	34.22	20.20	87.39	0.84	1.69	0.74	0	1	0
258	971.23	35.17	50.20	26.04	125.17	0.78	1.93	0.70	0	1	0
259	1816.45	48.09	103.62	33.45	255.47	0.35	3.10	0.46	0	1	0
260	7785.55	99.56	114.74	88.21	345.64	0.82	1.30	0.87	1	0	0
261	12184.94	124.56	143.62	112.81	436.97	0.80	1.27	0.87	1	0	0
262	13838.65	132.74	161.67	112.47	472.94	0.78	1.44	0.82	1	0	0
263	4399.39	74.84	121.33	54.56	323.65	0.53	2.22	0.62	0	0	1
264	5055.62	80.23	100.17	66.75	283.29	0.79	1.50	0.80	1	0	0
265	11770.20	122.42	132.91	119.50	505.57	0.58	1.11	0.92	1	0	0
266	4976.87	79.60	96.90	67.04	278.94	0.80	1.45	0.82	1	0	0
267	8016.55	101.03	115.57	90.98	349.34	0.83	1.27	0.87	1	0	0
268	1170.72	38.61	52.38	32.19	148.86	0.66	1.63	0.74	0	1	0
269	8063.79	101.33	117.35	90.24	358.05	0.79	1.30	0.86	1	0	0
270	5213.12	81.47	87.83	76.86	279.26	0.84	1.14	0.93	1	0	0
271	120.75	12.40	22.10	8.45	46.94	0.69	2.62	0.56	0	1	0
272	8573.03	104.48	117.52	93.93	363.19	0.82	1.25	0.89	1	0	0
273	393.74	22.39	31.49	19.16	84.15	0.70	1.64	0.71	0	1	0
274	4808.88	78.25	85.63	74.84	279.03	0.78	1.14	0.91	1	0	0
275	708.73	30.04	40.65	23.55	105.49	0.80	1.73	0.74	0	1	0
276	2703.68	58.67	115.14	35.23	277.37	0.44	3.27	0.51	0	1	0
277	15691.85	141.35	178.23	113.74	513.39	0.75	1.57	0.79	1	0	0
278	1401.71	42.25	64.58	32.84	173.77	0.58	1.97	0.65	0	1	0
279	1422.71	42.56	49.17	37.48	139.24	0.92	1.31	0.87	1	0	0
280	666.73	29.14	40.62	22.98	106.28	0.74	1.77	0.72	0	0	1
281	2393.94	55.21	72.78	43.71	194.78	0.79	1.67	0.76	1	0	0
282	15203.61	139.13	155.19	129.36	490.71	0.79	1.20	0.90	1	0	0
283	7475.81	97.56	115.44	85.43	341.85	0.80	1.35	0.85	1	0	0
284	4714.38	77.48	98.83	63.08	279.82	0.76	1.57	0.78	1	0	0
285	18505.78	153.50	166.23	143.43	527.47	0.84	1.16	0.92	1	0	0
286	20505.98	161.58	214.68	122.53	591.95	0.74	1.75	0.75	1	0	0
287	3926.90	70.71	78.14	65.12	237.14	0.88	1.20	0.90	1	0	0
288	10.50	3.66	5.29	2.65	4.58	6.28	2.00	0.69	0	0	1
289	10541.73	115.85	131.01	104.72	403.78	0.81	1.25	0.88	1	0	0
290	2357.19	54.78	69.13	44.23	188.86	0.83	1.56	0.79	1	0	0
291	461.99	24.25	32.36	22.66	90.08	0.72	1.43	0.75	0	1	0
292	372.74	21.79	60.35	10.24	119.47	0.33	5.89	0.36	0	0	1
293	78.75	10.01	16.00	7.27	32.63	0.93	2.20	0.63	1	0	0
294	629.98	28.32	41.81	22.20	106.84	0.69	1.88	0.68	0	1	0
295	2015.95	50.66	83.51	32.22	207.98	0.59	2.59	0.61	0	1	0
296	14442.38	135.60	144.14	129.41	476.18	0.80	1.11	0.94	1	0	0
297	9959.00	112.61	234.53	137.47	819.18	0.19	1.71	0.48	0	1	0
298	1307.22	40.80	52.68	34.68	151.87	0.71	1.52	0.77	0	1	0
299	4021.40	71.56	78.51	65.75	240.15	0.88	1.19	0.91	1	0	0
300	15119.61	138.75	146.91	132.14	473.72	0.85	1.11	0.94	1	0	0
301	3359.91	65.41	87.49	54.00	253.80	0.66	1.62	0.75	1	0	0
302	38959.25	222.72	595.98	130.45	1319.55	0.28	4.57	0.37	0	0	1
303	855.73	33.01	69.63	20.64	169.09	0.38	3.37	0.47	0	0	1
304	1249.47	39.89	74.67	27.44	177.57	0.50	2.72	0.53	0	1	0
305	15445.11	140.23	168.76	118.36	493.63	0.80	1.43	0.83	1	0	0
306	456.74	24.12	32.57	20.38	87.95	0.74	1.60	0.74	0	1	0
307	5134.37	80.85	83.17	79.23	271.12	0.88	1.05	0.97	1	0	0
308	9880.25	112.16	119.11	109.44	416.74	0.71	1.09	0.94	1	0	0
309	15.75	4.48	7.94	2.65	9.17	2.36	3.00	0.56	0	0	1
310	671.98	29.25	34.26	26.47	101.70	0.82	1.29	0.85	0	1	0
311	5895.60	86.64	94.95	81.38	303.19	0.81	1.17	0.91	1	0	0
312	5123.87	80.77	88.46	77.83	295.04	0.74	1.14	0.91	0	0	1
313	467.24	24.39	42.85	17.85	106.84	0.51	2.40	0.57	0	1	0
314	2299.44	54.11	64.87	45.86	180.48	0.89	1.41	0.83	1	0	0
315	26.25	5.78	7.58	4.88	12.41	2.14	1.55	0.76	0	0	1
316	131.25	12.93	18.52	11.01	44.25	0.84	1.68	0.70	0	0	1
317	939.73	34.59	114.41	14.27	209.78	0.27	8.02	0.30	0	0	1
318	419.99	23.12	52.38	13.46	128.64	0.32	3.89	0.44	0	0	1
319	168.00	14.63	19.35	12.54	46.94	0.96	1.54	0.76	0	0	1
320	10.50	3.66	5.29	2.65	4.58	6.28	2.00	0.69	0	0	1
321	10.50	3.66	5.29	2.65	4.58	6.28	2.00	0.69	0	0	1

Anexo B. Consolidado del análisis de características de tamaño y forma de micrografías de Entrenamiento

Las características de tamaño y forma extraídos de cada una de las micrografías se graficaron a como distribuciones acumuladas fin de determinar la existencia de alguna tendencia. A continuación se muestran las graficas realizadas con los datos extraídos de los elementos clasificados como células.

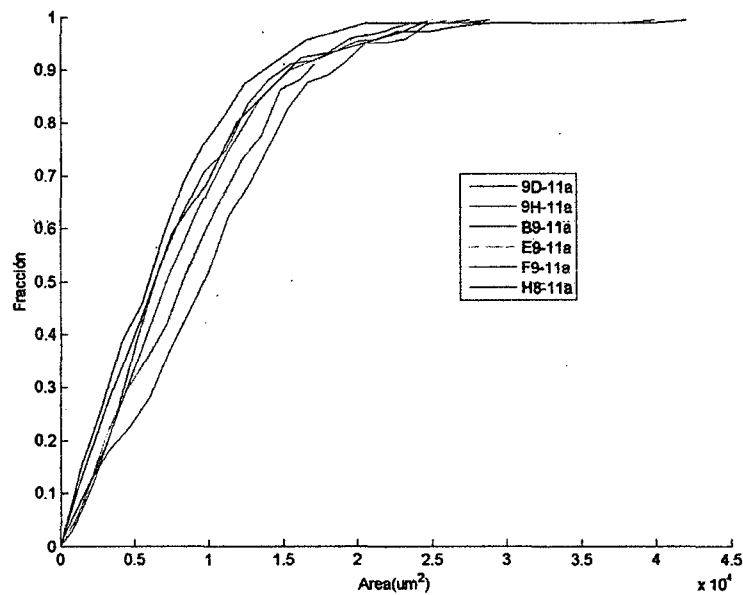


Figura A7. Distribución acumulada de área celular

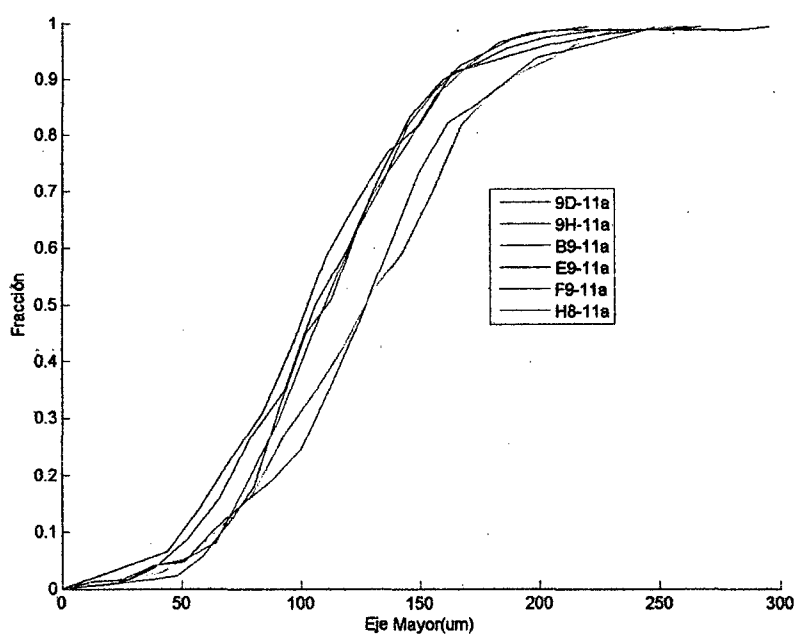


Figura A8. Distribución acumulada de eje mayor

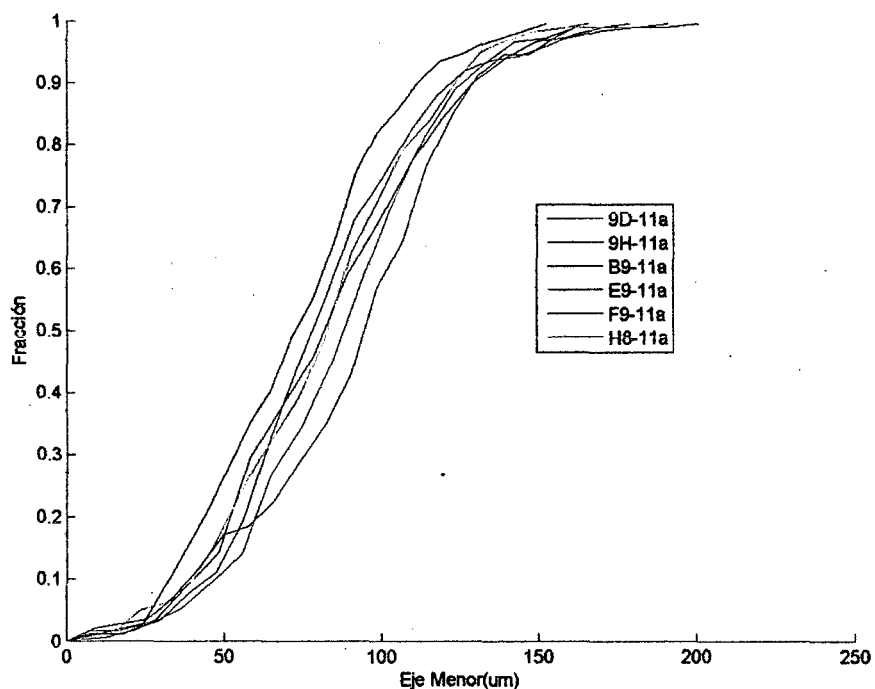


Figura A9. Distribución acumulada de eje menor

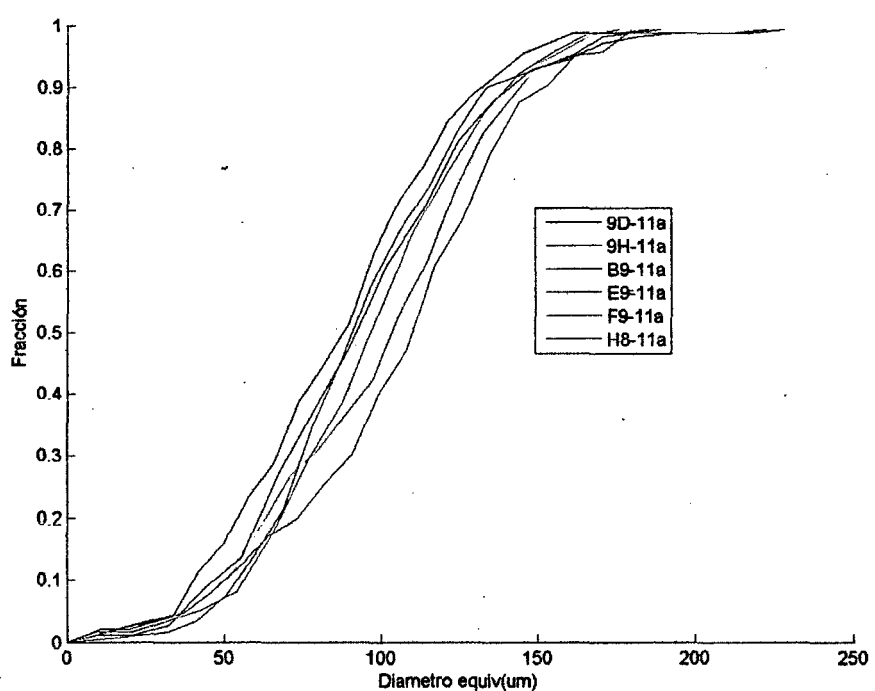


Figura A10. Distribución acumulada de diámetro equivalente

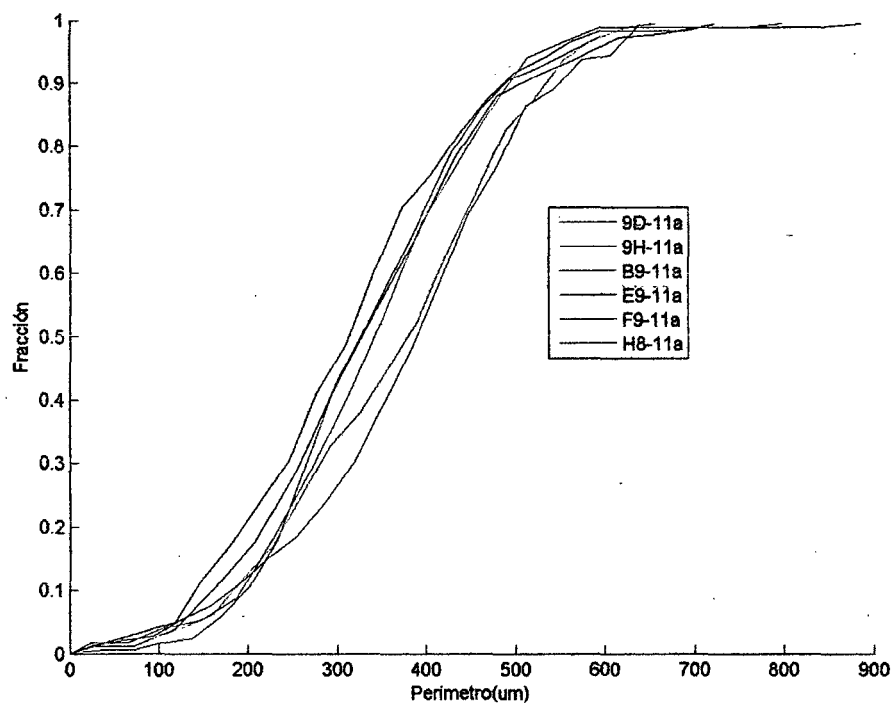


Figura A11. Distribución acumulada de perímetro

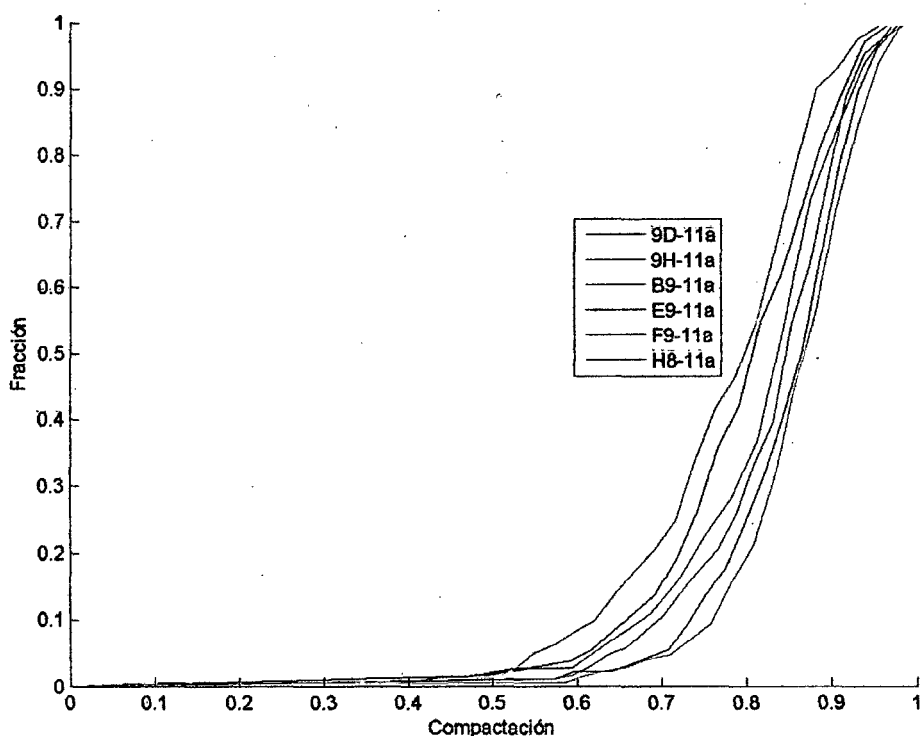


Figura A12. Distribución acumulada de compactación

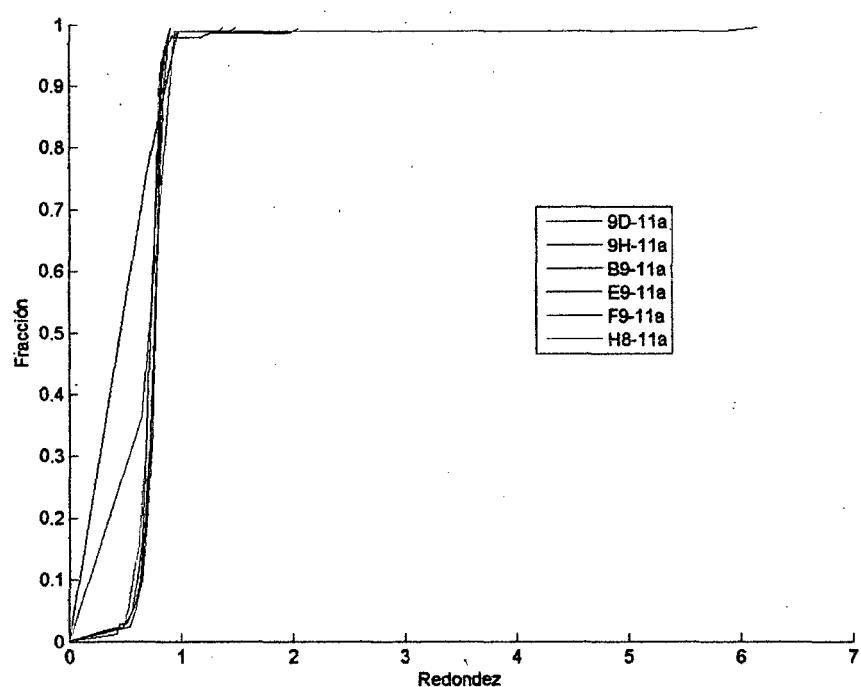


Figura A13. Distribución acumulada de redondez

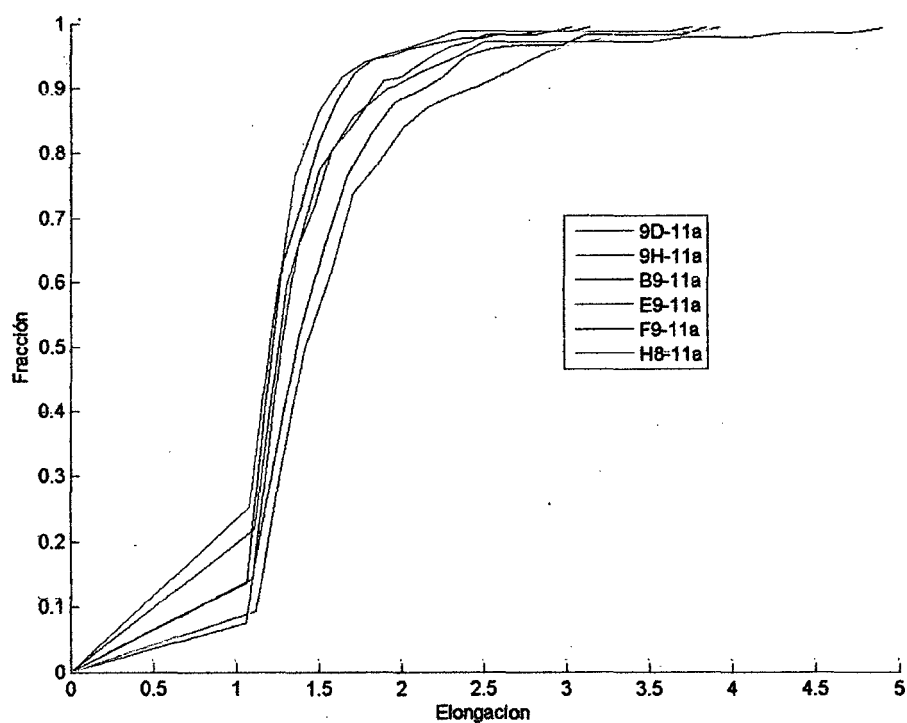


Figura A14. Distribución acumulada de elongación

A continuación se muestran las graficas realizadas con los datos extraídos de los elementos clasificados como células.

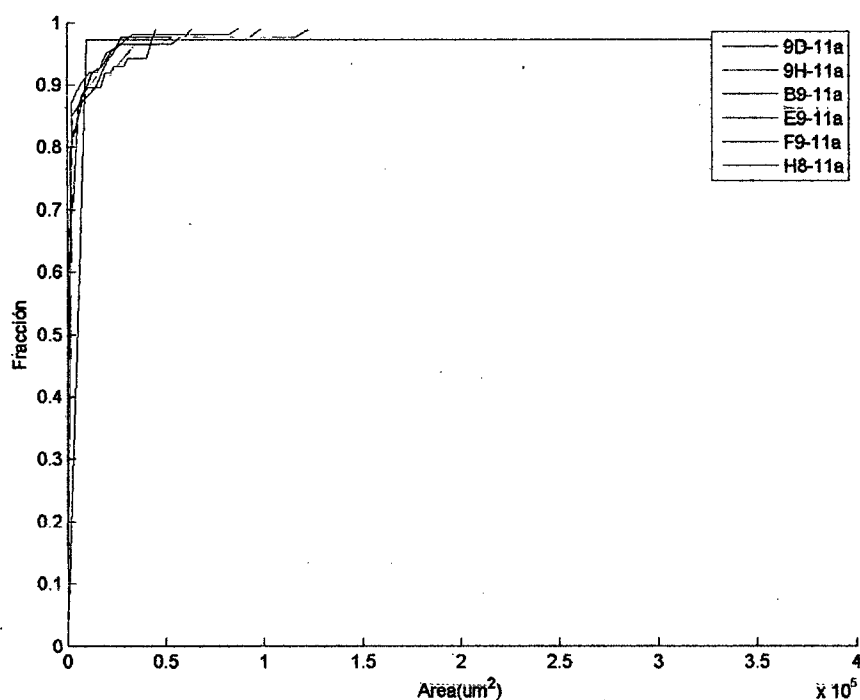


Figura A15. Distribución acumulada de área celular

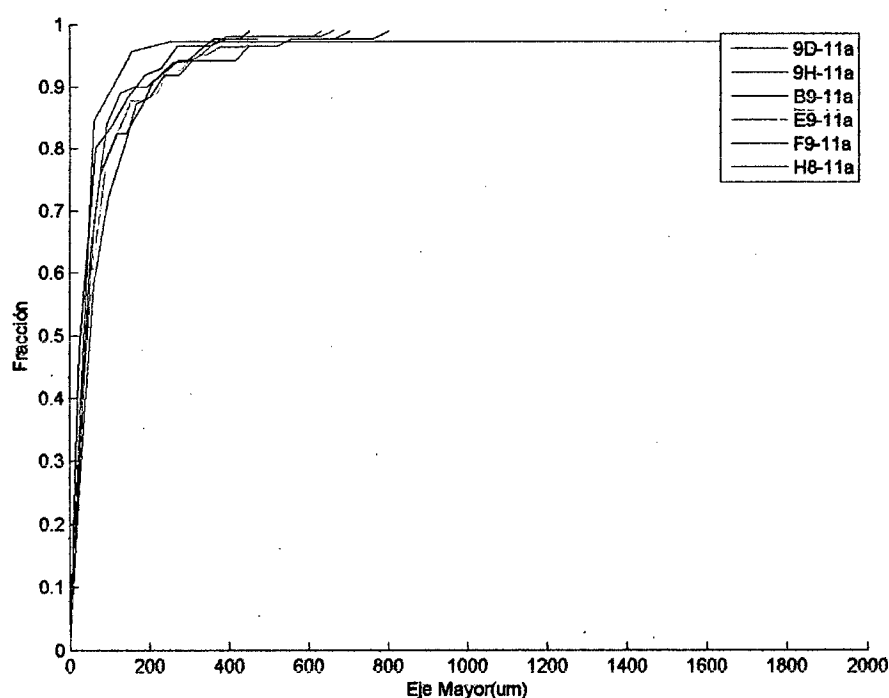


Figura A16. Distribución acumulada de eje mayor

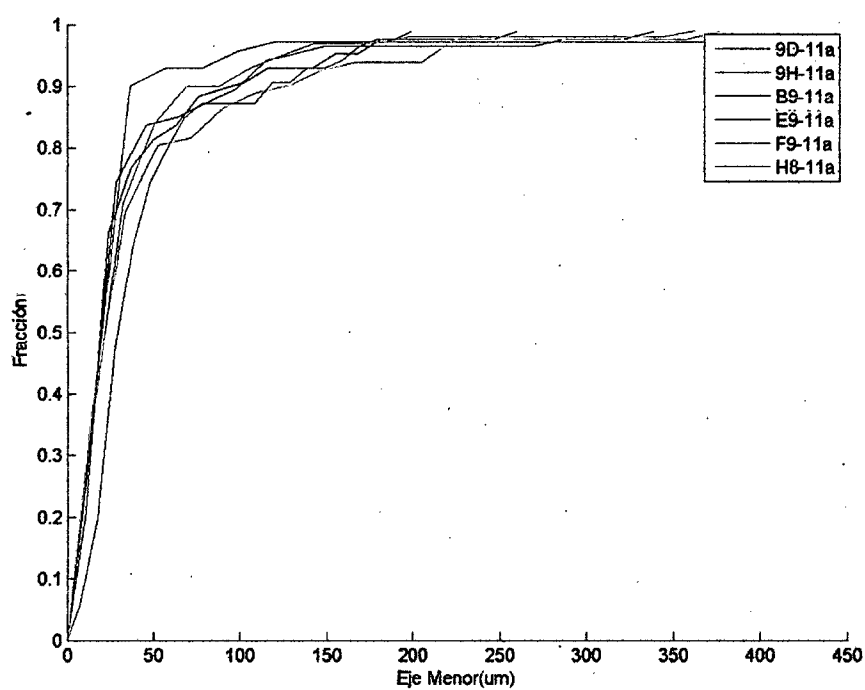


Figura A17. Distribución acumulada de eje menor

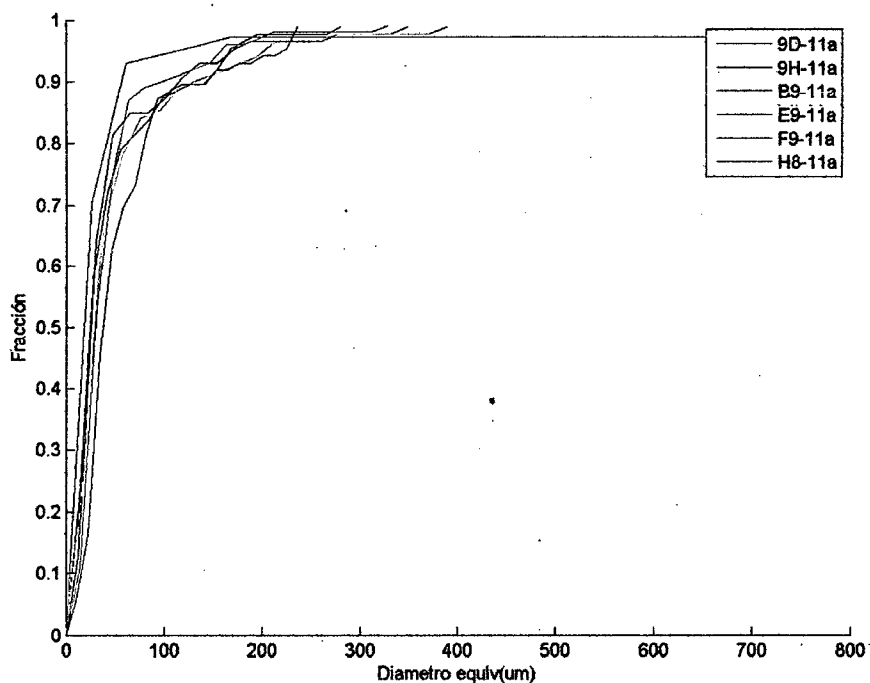


Figura A18. Distribución acumulada de diámetro equivalente

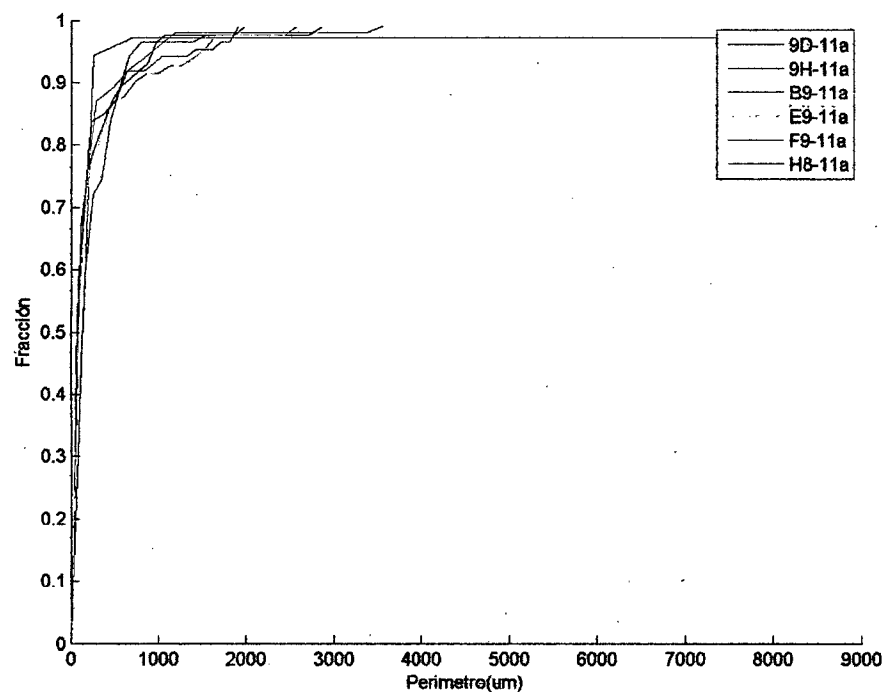


Figura A19. Distribución acumulada de perímetro

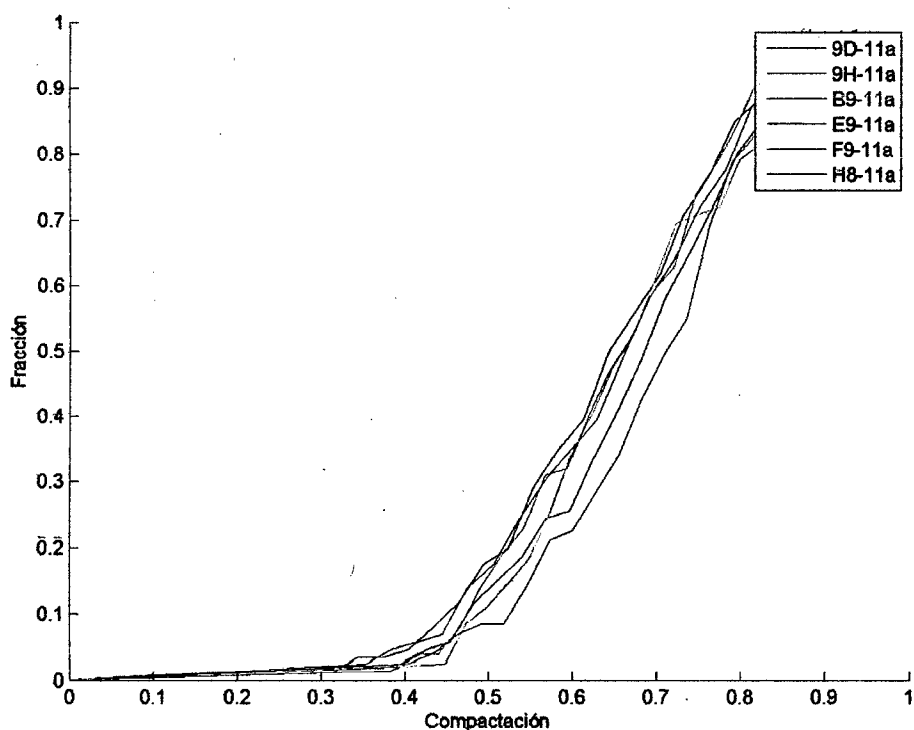


Figura A20. Distribución acumulada de compactación

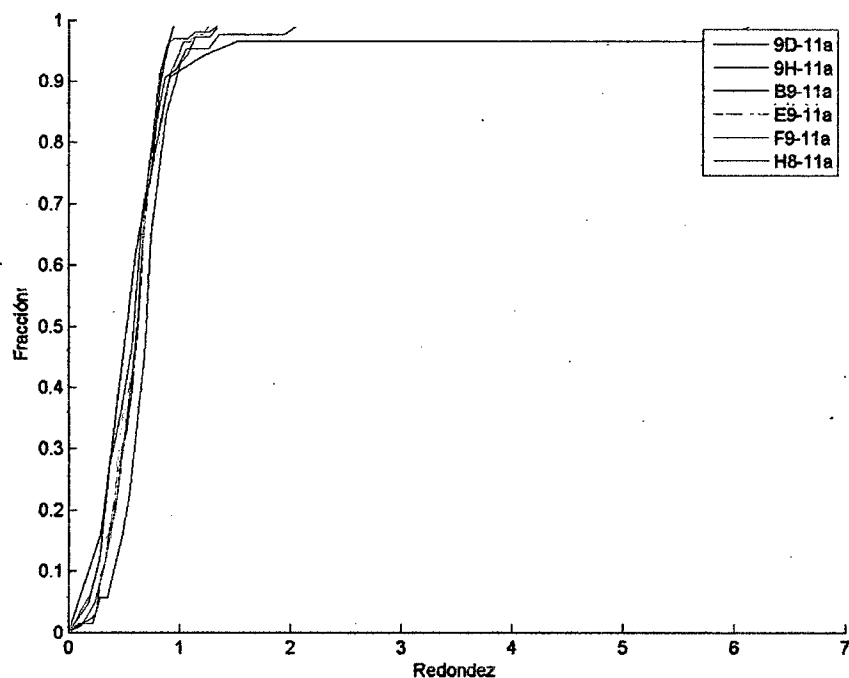


Figura A21. Distribución acumulada de redondez

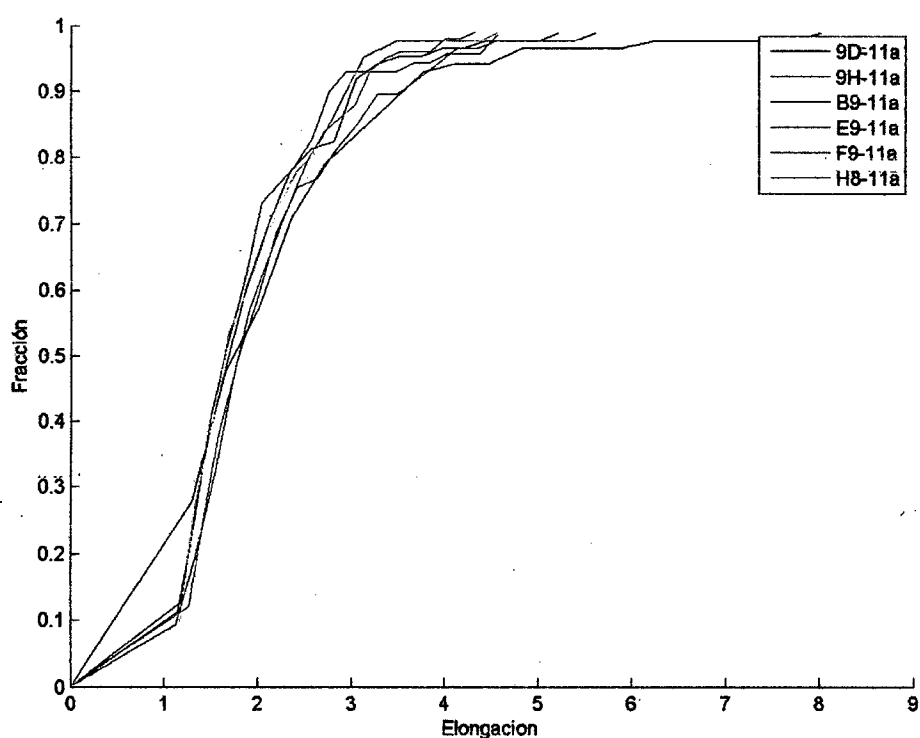


Figura A21. Distribución acumulada de elongación

Anexo C. Determinación de constantes de normalización

Las constantes de normalización se calculan como aquellos valores que hacen alcanzar la distribución acumulada al 95%. Estos datos se muestran en las siguientes tablas.

Tabla A7. Constantes de normalización para elementos clasificados como células

Código de Micrografía	Área	Diámetro		Eje		Perímetro	Redondez	Elongación	Compactación
		equivalente		Mayor	Menor				
9D-11	17823.3	153.3	216.3	138.8		594.8	0.9	2.5	0.96
9H-11	21369.8	170.6	198.6	161.0		622.8	0.9	2.3	0.96
B9-11	22580.9	182.2	199.9	159.7		659.4	1.3	2.0	0.98
E9-11	21178.6	167.6	230.3	140.4		620.1	0.9	3.0	0.95
F9-11	21916.7	170.6	223.0	163.1		1.0	1.0	2.7	0.99
H8-11	21448.1	166.3	195.7	151.9		593.9	1.2	2.1	0.99
Promedio	21052.9	168.4	210.6	152.5		515.3	1.0	2.5	0.97

Tabla A8. Constantes de normalización para elementos clasificados como espacios intercelulares

Código de Micrografía	Área	Diámetro		Eje		Perímetro	Redondez	Elongación	Compactación
		equivalente		Mayor	Menor				
9D-11	27628.5	182.5	341.1	168.1		1077.7	0.9	5.2	0.53
9H-11	30507.9	168.1	255.1	119.7		1162.8	1.2	4.2	0.66
B9-11	27699.5	189.7	311.6	149.0		956.5	1.8	3.7	0.61
E9-11	40882.0	233.5	346.5	243.1		1654.3	1.1	3.3	0.67
F9-11	45223.5	237.1	488.8	179.0		1521.5	1.2	4.4	0.48
H8-11	24541.4	179.9	362.4	160.6		1194.5	1.0	3.5	0.50
Promedio	32747.13	198.46	350.93	169.92		1261.20	1.20	4.06	0.58

Tabla A9. Constantes de normalización para elementos clasificados como elementos no reconocibles

Código de Micrografía	Área	Diámetro		Eje		Perímetro	Redondez	Elongación	Compactación
		equivalente		Mayor	Menor				
9D-11	15541.2	142.7	294.5	132.7	706.4	1.0	17.4	0.48	
9H-11	11142.7	115.8	438.6	79.1	890.7	1.7	1.0	0.26	
B9-11	8320.4	104.0	658.4	70.4	1321.8	1.0	27.1	0.16	
E9-11	9255.9	109.6	198.3	88.5	571.0	1.0	15.7	0.55	
F9-11	8752.8	105.2	253.5	75.0	654.7	1.0	16.4	0.42	
H8-11	10721.4	107.7	492.6	82.5	1023.7	1.0	1.0	0.22	
Promedio	10622.40	114.19	389.31	88.03	861.37	1.11	13.10	0.35	

Tabla A10. Consolidado de constantes de normalización para elementos clasificados

Elementos	Área	Diámetro		Eje		Perímetro	Redondez	Elongación	Compactación
		equivalente		Mayor	Menor				
Células	21052.90	168.43	210.63	152.48	515.34	1.04	2.45	0.97	
Espacios intercelulares	32747.13	198.46	350.93	169.92	1261.20	1.20	4.06	0.58	
Elementos no reconocibles	10622.40	114.19	389.31	88.03	861.37	1.11	13.10	0.35	
Máximo	32747.13	198.46	389.31	169.92	1261.20	1.20	13.10	0.97	

Anexo D. Combinaciones de los parámetros de tamaño y forma

Tabla A11. Detalle de las combinaciones de los parámetros de tamaño y forma

Combinación	Parámetros	Combinación	Parámetros	Combinación	Parámetros
C1	1,2	C83	5,7,8	C165	1,2,4,5,6
C2	1,3	C84	6,7,8	C166	1,2,4,5,7
C3	1,4	C85	1,2,3,4	C167	1,2,4,5,8
C4	1,5	C86	1,2,3,5	C168	1,2,4,6,7
C5	1,6	C87	1,2,3,6	C169	1,2,4,6,8
C6	1,7	C88	1,2,3,7	C170	1,2,4,7,8
C7	1,8	C89	1,2,3,8	C171	1,2,5,6,7
C8	2,3	C90	1,2,4,5	C172	1,2,5,6,8
C9	2,4	C91	1,2,4,6	C173	1,2,5,7,8
C10	2,5	C92	1,2,4,7	C174	1,2,6,7,8
C11	2,6	C93	1,2,4,8	C175	1,3,4,5,6
C12	2,7	C94	1,2,5,6	C176	1,3,4,5,7
C13	2,8	C95	1,2,5,7	C177	1,3,4,5,8
C14	3,4	C96	1,2,5,8	C178	1,3,4,6,7
C15	3,5	C97	1,2,6,7	C179	1,3,4,6,8
C16	3,6	C98	1,2,6,8	C180	1,3,4,7,8
C17	3,7	C99	1,2,7,8	C181	1,3,5,6,7
C18	3,8	C100	1,3,4,5	C182	1,3,5,6,8
C19	4,5	C101	1,3,4,6	C183	1,3,5,7,8
C20	4,6	C102	1,3,4,7	C184	1,3,6,7,8
C21	4,7	C103	1,3,4,8	C185	1,4,5,6,7
C22	4,8	C104	1,3,5,6	C186	1,4,5,6,8
C23	5,6	C105	1,3,5,7	C187	1,4,5,7,8
C24	5,7	C106	1,3,5,8	C188	1,4,6,7,8
C25	5,8	C107	1,3,6,7	C189	1,5,6,7,8
C26	6,7	C108	1,3,6,8	C190	2,3,4,5,6
C27	6,8	C109	1,3,7,8	C191	2,3,4,5,7
C28	7,8	C110	1,4,5,6	C192	2,3,4,5,8
C29	1,2,3	C111	1,4,5,7	C193	2,3,4,6,7
C30	1,2,4	C112	1,4,5,8	C194	2,3,4,6,8
C31	1,2,5	C113	1,4,6,7	C195	2,3,4,7,8
C32	1,2,6	C114	1,4,6,8	C196	2,3,5,6,7
C33	1,2,7	C115	1,4,7,8	C197	2,3,5,6,8
C34	1,2,8	C116	1,5,6,7	C198	2,3,5,7,8
C35	1,3,4	C117	1,5,6,8	C199	2,3,6,7,8
C36	1,3,5	C118	1,5,7,8	C200	2,4,5,6,7
C37	1,3,6	C119	1,6,7,8	C201	2,4,5,6,8
C38	1,3,7	C120	2,3,4,5	C202	2,4,5,7,8
C39	1,3,8	C121	2,3,4,6	C203	2,4,6,7,8
C40	1,4,5	C122	2,3,4,7	C204	2,5,6,7,8

Tabla A11. Detalle de las combinaciones de los parámetros de tamaño y forma...continuación

Combinación	Parámetros	Combinación	Parámetros	Combinación	Parámetros
C41	1,4,6	C123	2,3,4,8	C205	3,4,5,6,7
C42	1,4,7	C124	2,3,5,6	C206	3,4,5,6,8
C43	1,4,8	C125	2,3,5,7	C207	3,4,5,7,8
C44	1,5,6	C126	2,3,5,8	C208	3,4,6,7,8
C45	1,5,7	C127	2,3,6,7	C209	3,5,6,7,8
C46	1,5,8	C128	2,3,6,8	C210	4,5,6,7,8
C47	1,6,7	C129	2,3,7,8	C211	1,2,3,4,5,6
C48	1,6,8	C130	2,4,5,6	C212	1,2,3,4,5,7
C49	1,7,8	C131	2,4,5,7	C213	1,2,3,4,5,8
C50	2,3,4	C132	2,4,5,8	C214	1,2,3,4,6,7
C51	2,3,5	C133	2,4,6,7	C215	1,2,3,4,6,8
C52	2,3,6	C134	2,4,6,8	C216	1,2,3,4,7,8
C53	2,3,7	C135	2,4,7,8	C217	1,2,3,5,6,7
C54	2,3,8	C136	2,5,6,7	C218	1,2,3,5,6,8
C55	2,4,5	C137	2,5,6,8	C219	1,2,3,5,7,8
C56	2,4,6	C138	2,5,7,8	C220	1,2,3,6,7,8
C57	2,4,7	C139	2,6,7,8	C221	1,2,4,5,6,7
C58	2,4,8	C140	3,4,5,6	C222	1,2,4,5,6,8
C59	2,5,6	C141	3,4,5,7	C223	1,2,4,5,7,8
C60	2,5,7	C142	3,4,5,8	C224	1,2,4,6,7,8
C61	2,5,8	C143	3,4,6,7	C225	1,2,5,6,7,8
C62	2,6,7	C144	3,4,6,8	C226	1,3,4,5,6,7
C63	2,6,8	C145	3,4,7,8	C227	1,3,4,5,6,8
C64	2,7,8	C146	3,5,6,7	C228	1,3,4,5,7,8
C65	3,4,5	C147	3,5,6,8	C229	1,3,4,6,7,8
C66	3,4,6	C148	3,5,7,8	C230	1,3,5,6,7,8
C67	3,4,7	C149	3,6,7,8	C231	1,4,5,6,7,8
C68	3,4,8	C150	4,5,6,7	C232	2,3,4,5,6,7
C69	3,5,6	C151	4,5,6,8	C233	2,3,4,5,6,8
C70	3,5,7	C152	4,5,7,8	C234	2,3,4,5,7,8
C71	3,5,8	C153	4,6,7,8	C235	2,3,4,6,7,8
C72	3,6,7	C154	5,6,7,8	C236	2,3,5,6,7,8
C73	3,6,8	C155	1,2,3,4,5	C237	2,4,5,6,7,8
C74	3,7,8	C156	1,2,3,4,6	C238	3,4,5,6,7,8
C75	4,5,6	C157	1,2,3,4,7	C239	1,2,3,4,5,6,7
C76	4,5,7	C158	1,2,3,4,8	C240	1,2,3,4,5,6,8
C77	4,5,8	C159	1,2,3,5,6	C241	1,2,3,4,5,7,8
C78	4,6,7	C160	1,2,3,5,7	C242	1,2,3,4,6,7,8
C79	4,6,8	C161	1,2,3,5,8	C243	1,2,3,5,6,7,8
C80	4,7,8	C162	1,2,3,6,7	C244	1,2,4,5,6,7,8
C81	5,6,7	C163	1,2,3,6,8	C245	1,3,4,5,6,7,8
C82	5,6,8	C164	1,2,3,7,8	C246	2,3,4,5,6,7,8

Anexo E. Determinación del porcentaje de error

Combinación	P1	P2	Error (%)	Combinación	P1	P2	P3	Error (%)
C1	1	2	22.67	C29	1	2	3	18.9
C2	1	3	24.53	C30	1	2	4	18.9
C3	1	4	22.05	C31	1	2	5	19.6
C4	1	5	23.29	C32	1	2	6	15.5
C5	1	6	18.94	C33	1	2	7	18.3
C6	1	7	22.98	C34	1	2	8	82.6
C7	1	8	82.61	C35	1	3	4	14.9
C8	2	3	19.88	C36	1	3	5	21.7
C9	2	4	18.63	C37	1	3	6	16.1
C10	2	5	19.57	C38	1	3	7	21.1
C11	2	6	15.84	C39	1	3	8	81.7
C12	2	7	18.32	C40	1	4	5	16.8
C13	2	8	82.61	C41	1	4	6	14.6
C14	3	4	15.84	C42	1	4	7	18.0
C15	3	5	26.09	C43	1	4	8	82.3
C16	3	6	16.46	C44	1	5	6	17.1
C17	3	7	22.36	C45	1	5	7	19.6
C18	3	8	83.23	C46	1	5	8	82.6
C19	4	5	17.08	C47	1	6	7	16.1
C20	4	6	14.60	C48	1	6	8	77.0
C21	4	7	18.32	C49	1	7	8	82.3
C22	4	8	81.99	C50	2	3	4	15.5
C23	5	6	16.46	C51	2	3	5	19.3
C24	5	7	20.81	C52	2	3	6	15.5
C25	5	8	82.92	C53	2	3	7	17.7
C26	6	7	27.02	C54	2	3	8	82.6
C27	6	8	83.23	C55	2	4	5	16.8
C28	7	8	83.23	C56	2	4	6	14.6

C57	2	4	7	18.3
C58	2	4	8	82.3
C59	2	5	6	15.8
C60	2	5	7	16.8
C61	2	5	8	83.2
C62	2	6	7	14.0
C63	2	6	8	76.4
C64	2	7	8	82.6
C65	3	4	5	16.5
C66	3	4	6	13.4
C67	3	4	7	17.4
C68	3	4	8	81.7
C69	3	5	6	15.5
C70	3	5	7	19.6
C71	3	5	8	82.9
C72	3	6	7	14.0
C73	3	6	8	83.2
C74	3	7	8	74.2
C75	4	5	6	14.0
C76	4	5	7	17.4
C77	4	5	8	82.3
C78	4	6	7	14.0
C79	4	6	8	74.8
C80	4	7	8	82.3
C81	5	6	7	14.9
C82	5	6	8	82.9
C83	5	7	8	74.5
C84	6	7	8	73.3

Combinación	P1	P2	P3	P4	Error (%)
C85	1	2	3	4	15.2
C86	1	2	3	5	19.3
C87	1	2	3	6	15.2
C88	1	2	3	7	17.1
C89	1	2	3	8	81.1
C90	1	2	4	5	16.8
C91	1	2	4	6	14.3
C92	1	2	4	7	18.3
C93	1	2	4	8	82.3
C94	1	2	5	6	15.2
C95	1	2	5	7	16.8
C96	1	2	5	8	82.0
C97	1	2	6	7	14.0
C98	1	2	6	8	70.2
C99	1	2	7	8	79.8
C100	1	3	4	5	16.1
C101	1	3	4	6	13.4
C102	1	3	4	7	16.5
C103	1	3	4	8	80.7
C104	1	3	5	6	16.1
C105	1	3	5	7	19.3
C106	1	3	5	8	81.7
C107	1	3	6	7	14.6
C108	1	3	6	8	78.0
C109	1	3	7	8	73.3
C110	1	4	5	6	13.4
C111	1	4	5	7	16.5
C112	1	4	5	8	81.7
C113	1	4	6	7	14.0
C114	1	4	6	8	73.9
C115	1	4	7	8	79.8
C116	1	5	6	7	14.0

Combinación	P1	P2	P3	P4	P5	Error (%)
C155	1	2	3	4	5	15.8
C156	1	2	3	4	6	13.4
C157	1	2	3	4	7	15.8
C158	1	2	3	4	8	80.7
C159	1	2	3	5	6	14.6
C160	1	2	3	5	7	17.4
C161	1	2	3	5	8	79.5
C162	1	2	3	6	7	13.7
C163	1	2	3	6	8	73.3
C164	1	2	3	7	8	73.3
C165	1	2	4	5	6	13.7
C166	1	2	4	5	7	15.8
C167	1	2	4	5	8	81.4
C168	1	2	4	6	7	14.0
C169	1	2	4	6	8	70.5
C170	1	2	4	7	8	77.6
C171	1	2	5	6	7	13.7
C172	1	2	5	6	8	70.2
C173	1	2	5	7	8	74.2
C174	1	2	6	7	8	48.8
C175	1	3	4	5	6	13.0
C176	1	3	4	5	7	17.1
C177	1	3	4	5	8	80.7
C178	1	3	4	6	7	13.7
C179	1	3	4	6	8	59.6
C180	1	3	4	7	8	71.7
C181	1	3	5	6	7	13.4
C182	1	3	5	6	8	77.6
C183	1	3	5	7	8	72.7
C184	1	3	6	7	8	54.7
C185	1	4	5	6	7	13.7
C186	1	4	5	6	8	62.4

C117	1	5	6	8	76.1	C187	1	4	5	7	8	73.9
C118	1	5	7	8	73.6	C188	1	4	6	7	8	45.3
C119	1	6	7	8	57.5	C189	1	5	6	7	8	53.7
C120	2	3	4	5	15.8	C190	2	3	4	5	6	13.4
C121	2	3	4	6	13.4	C191	2	3	4	5	7	16.1
C122	2	3	4	7	16.5	C192	2	3	4	5	8	80.7
C123	2	3	4	8	80.7	C193	2	3	4	6	7	14.0
C124	2	3	5	6	15.2	C194	2	3	4	6	8	58.1
C125	2	3	5	7	18.0	C195	2	3	4	7	8	72.0
C126	2	3	5	8	82.0	C196	2	3	5	6	7	13.7
C127	2	3	6	7	14.0	C197	2	3	5	6	8	78.3
C128	2	3	6	8	78.9	C198	2	3	5	7	8	72.4
C129	2	3	7	8	73.9	C199	2	3	6	7	8	52.5
C130	2	4	5	6	14.0	C200	2	4	5	6	7	14.3
C131	2	4	5	7	15.8	C201	2	4	5	6	8	62.4
C132	2	4	5	8	81.7	C202	2	4	5	7	8	73.6
C133	2	4	6	7	14.6	C203	2	4	6	7	8	44.4
C134	2	4	6	8	71.1	C204	2	5	6	7	8	51.6
C135	2	4	7	8	79.2	C205	3	4	5	6	7	13.4
C136	2	5	6	7	14.0	C206	3	4	5	6	8	65.5
C137	2	5	6	8	77.6	C207	3	4	5	7	8	70.8
C138	2	5	7	8	74.5	C208	3	4	6	7	8	51.6
C139	2	6	7	8	52.8	C209	3	5	6	7	8	68.3
C140	3	4	5	6	12.7	C210	4	5	6	7	8	40.4
C141	3	4	5	7	17.4							
C142	3	4	5	8	80.7							
C143	3	4	6	7	13.7							
C144	3	4	6	8	64.9							
C145	3	4	7	8	72.0							
C146	3	5	6	7	13.4							
C147	3	5	6	8	82.9							
C148	3	5	7	8	73.0							
C149	3	6	7	8	70.8							

C150	4	5	6	7	14.0
C151	4	5	6	8	73.0
C152	4	5	7	8	74.2
C153	4	6	7	8	47.2
C154	5	6	7	8	70.2

Combinación	P1	P2	P3	P4	P5	P6	Error (%)
C211	1	2	3	4	5	6	13.4
C212	1	2	3	4	5	7	15.8
C213	1	2	3	4	5	8	80.7
C214	1	2	3	4	6	7	14.0
C215	1	2	3	4	6	8	55.3
C216	1	2	3	4	7	8	72.7
C217	1	2	3	5	6	7	13.4
C218	1	2	3	5	6	8	73.0
C219	1	2	3	5	7	8	72.0
C220	1	2	3	6	7	8	47.8
C221	1	2	4	5	6	7	14.0
C222	1	2	4	5	6	8	59.9
C223	1	2	4	5	7	8	73.3
C224	1	2	4	6	7	8	43.2
C225	1	2	5	6	7	8	48.4
C226	1	3	4	5	6	7	14.0
C227	1	3	4	5	6	8	58.7
C228	1	3	4	5	7	8	71.4
C229	1	3	4	6	7	8	45.7
C230	1	3	5	6	7	8	53.4
C231	1	4	5	6	7	8	40.1
C232	2	3	4	5	6	7	14.0
C233	2	3	4	5	6	8	56.8
C234	2	3	4	5	7	8	72.4
C235	2	3	4	6	7	8	42.9
C236	2	3	5	6	7	8	50.3
C237	2	4	5	6	7	8	38.5
C238	3	4	5	6	7	8	50.6

Combinación	P1	P2	P3	P4	P5	P6	P7	Error (%)
C239	1	2	3	4	5	6	7	14.0
C240	1	2	3	4	5	6	8	55.3
C241	1	2	3	4	5	7	8	72.0
C242	1	2	3	4	6	7	8	41.0
C243	1	2	3	5	6	7	8	47.5
C244	1	2	4	5	6	7	8	37.3
C245	1	3	4	5	6	7	8	45.7
C246	2	3	4	5	6	7	8	42.5

Anexo F. Código fuente del guide desarrollado para esta investigación

```
%#####
%#####
% Cálculos para aplicación de combinaciones en el guide restauración
% Desarrollado por:
%
% Bach Marcelo Vásquez Rubio
%
% Ing. Wilson Manuel Castro Silupu
%
% Fecha: Enero - 2012
%
% Universidad Nacional Toribio Rodríguez de Mendoza de Amazonas
%#####
%#####

Function usarra_Callback(hObject, eventdata, handles)

%=====
%Declaración de variables globales
global datprocstats ix ixl datainpuTelembase
global data_celdata_espdata_nr
%=====

%Crea data para su uso en la red neuronal
psim=zeros (datproc.Ne,8);

%Cargando la escala y cargando normalizador
load defEscala; %La escala es definida en el guide dimensionar
load normalizador; %El normalizador se define en el guide entrenamiento

for i=1:datproc.Ne
    psim(i,1)=stats(i).Area*(Escala^2)/normalizador(1);
    psim(i,2)=stats(i).EquivDiameter*Escala/normalizador (2);
    psim(i,3)=stats(i).MajorAxisLength*Escala/normalizador(3);
    psim (i,4)=stats(i).MinorAxisLength*Escala/normalizador (4);
    psim(i,5)=stats(i).Perimeter*Escala/normalizador(5);
    psim(i,6)=(4*3.1416*stats(i).Area*(Escala^2))/((stats(i).Perimeter*Escala)^2)...

```

```

/normalizador(6);

psim(i,7)=(stats(i).MajorAxisLength*Escala/(stats(i).MinorAxisLength*Escala))...

/normalizador(7);

psim(i,8)=(psim(i,2)/psim(i,3))/normalizador(8);

end

%Graba psim

savepsim

%Crea variable imgsetiq y aplica red neuronal

datproc.imgsetiq=zeros(datproc.Ne,3);

imgsegm =datproc.L; %La imgsegm es obtenida a partir de L

% Lectura de la matriz de combinación de parámetros, a partir del libro de cálculo
% Datos.xlsx; el Rango corresponde a las celdas que contienen las combinaciones, en
% la hoja Resultados. Las combinaciones se almacenan en la matriz pa

pa = xlsread ('F:\ Datos.xlsx', 'Resultados', Rango);

% Determinación de dimensiones de la matriz de combinaciones y asignando el numero
% de columnas a ma

[nfilncol]=size(pa); ma=ncol;

% Creación de la matriz de errores, Error

Error=zeros(nfil,10);

% Aplicación de bucle ForNext para aplicación de combinaciones; el bucle se ejecuta
% en todas las filas

for n=1:nfil

% Dimensionado de matriz de elementos para simulación en la RNA

d=size(psim);

```

```
% Creación de nueva matriz de datos para simulación
psim1=zeros(d(1),ma);

% Extracción de elementos de psim a psim1, de acuerdo a la combinación de parámetros
for r=1:ma
    psim1(:,r)=psim(:,pa(n,r));
end

% Aplicación de la red neuronal, mediante la función redestad1; esta función se
% basa en la función newppn, cuyos detalles se muestran en los anexos, misma que
% fue proporcionada por Castro et. Al (2011)
[imgetiq, ix, elembase]=redestad1 (psim1,imgsegm, ma,pa(n,:));
d=size(ix); % Dimensionado de la matriz ix; indica la clase asignada

% Creación de la codificación de las clases asignadas a cada elemento analizado
fila=zeros(d(1),3);

for i=1:d(1)
    if ix(i)==1
        fila(i,1)=1;fila(i,2)=0;fila(i,3)=0;
    elseif ix(i)==2
        fila(i,1)=0;fila(i,2)=1;fila(i,3)=0;
    elseif ix(i)==3
        fila(i,1)=0;fila(i,2)=0;fila(i,3)=1;
    end
end

% Crea matriz de resultados (numero de filas = nfil; numero de columnas =9)
Result = zeros(nfil,9);

% Cargado de resultados de clasificación en la matriz resultados

for i=1:d(1)
    fila1(1,1)=fila(i,1);

```

```

fila1(1,2)=fila(i,2);

fila1(1,3)=fila(i,3);

% Creando posicionador y vaciando datos según posición

if Real(i,1)==1

punto=strcat(num2str(i),1);

Result(i,1:3)=fila1;

elseif Real(i,2)==1

punto=strcat(num2str(i),4);

Result(i,4:6)=fila1;

elseif Real(i,3)==1

punto=strcat(num2str(i),7);

Result(i,7:9)=fila1;

End

% Pasando resultados al libro con la clasificación previamente realizada de los

% elementos en análisis

xlswrite('F:\imagenesycodificacion\H8-11a.xlsx', Result, 'Data', 'M2');

% Leyendo datos de errores a partir del libro de preclasificaciones y guardándolos

% en la matriz Error

Error(n,1:10)=xlsread('F:\imagenesycodificacion\H8-11a.xlsx','Data', 'M324:V324');

end

% Determinando el error en valor porcentual

Error=Error*100;

% Pasando los resultados en el libro Datos

xlswrite('F:\Datos.xlsx', Error(:,10), 'Resultados', -1);

xlswrite('F:\ Dátos.xlsx', Error(:,1:9), 'Completo', -1);

% Indicador de fin de proceso

disp ('Listo')

```

End

```
%Clasificacion de elementos estructurales, con RNA
function [imgetiq, ix, elembase]=redestad1(psim,imgsegm,m,p)
```

```
%Obtencion de Vector Input y Vector Target mediante la funcion vector Total
```

```
[vector_I, vector_T, elembase]= vector_Total(m,p);
```

```
%Prepara P y Tc para creacion y aplicacion de net
```

```
P=vector_I;
```

```
P=P'; %invirtiendo
```

```
Tc=vector_T;
```

```
Tc=Tc';%invirtiendo
```

```
%creacion y entrenamiento de la red newppn
```

```
net = newpnn(P,Tc);
```

```
%aplicacion de la red con los datos psim(invirtiendo psim)
```

```
Y=sim(net,psim');
```

```
%Determina el tipo de elemento segun el numero en la respuesta
```

```
[ix,j,val]=find(Y); %(1=cel,2=esp y 3=no rec)
```

```
%Cambiando la imagensegmentada a imgetiquetada
```

```
[nfilncol]=size(imgsegm);
```

```
for k=1:nfil
```

```
for j=1:ncol
```

```
if imgsegm(k,j) ~= 0:
```

```
imgsegm(k,j) =ix(imgsegm(k,j));
```

```
end
```

```
end
```

```
end
```

```
imgetiq = imgsegm
```

```
end
```

```
%#####
#####
```

```
%#####
#####
```

